

لِلّٰهِ الْحُكْمُ وَالنِّعْمَةُ



دانشکده : شیمی

گروه : شیمی تجزیه

پایان نامه کارشناسی ارشد

## کاربرد روش‌های مختلف کمومتریکس جهت پیش‌بینی فعالیت برخی ترکیبات دارویی

سعید نکوئی

استاد راهنما :

دکتر ناصر گودرزی

استاد مشاور:

دکتر مهدی نکوئی

شهریور ماه ۱۳۹۴

**تقدیم به:**

**خانواده عزیزم که در کمال**

**شکریابی همواره پشتیبان**

**من بودند.**

سپاس خدای را که هر چه دارم از اوست

به امید آنکه توفیق یابم جز خدمت به خلق

## خدا نکوشم

از استاد گرامیم آقای دکتر ناصر گودرزی و استاد مشاورم

دکتر مهدی نکوئی سپاسگزارم که زحمت راهنمایی این رساله

را برعهده گرفتند.

# تعهد نامه

اینجانب سعید نکوئی دانشجوی دوره کارشناسی ارشد رشته شیمی تجزیه دانشکده شیمی دانشگاه صنعتی شاهروド نویسنده پایان نامه کاربرد روشهای مختلف کمومتریکس جهت پیش بینی فعالیت برخی ترکیبات دارویی تحت راهنمائی آقای دکتر ناصر گودرزی متعهد می شوم .

- تحقیقات در این پایان نامه توسط اینجانب انجام شده است و از صحت و اصالت برخوردار است .
- در استفاده از نتایج پژوهش‌های محققان دیگر به مرجع مورد استفاده استناد شده است .
- مطلوب مندرج در پایان نامه تاکنون توسط خود یا فرد دیگری برای دریافت هیچ نوع مدرک یا امتیازی در هیچ جا ارائه نشده است .
- کلیه حقوق معنوی این اثر متعلق به دانشگاه صنعتی شاهروド می باشد و مقالات مستخرج با نام « دانشگاه صنعتی شاهرود » و یا « Shahrood University of Technology » به چاپ خواهد رسید .
- حقوق معنوی تمام افرادی که در به دست آمدن نتایج اصلی پایان نامه تأثیرگذار بوده اند در مقالات مستخرج از پایان نامه رعایت می گردد .
- در کلیه مراحل انجام این پایان نامه ، در مواردی که از موجود زنده ( یا بافت‌های آنها ) استفاده شده است ضوابط و اصول اخلاقی رعایت شده است .
- در کلیه مراحل انجام این پایان نامه ، در مواردی که به حوزه اطلاعات شخصی افراد دسترسی یافته یا استفاده شده است اصل رازداری ، ضوابط و اصول اخلاق انسانی رعایت شده است .

## تاریخ

### امضای دانشجو

## مالکیت نتایج و حق نشر

- کلیه حقوق معنوی این اثر و محصولات آن (مقالات مستخرج ، کتاب ، برنامه های رایانه ای ، نرم افزار ها و تجهیزات ساخته شده است ) متعلق به دانشگاه صنعتی شاهروド می باشد . این مطلب باید به نحو مقتضی در تولیدات علمی مربوطه ذکر شود .
- استفاده از اطلاعات و نتایج موجود در پایان نامه بدون ذکر مرجع مجاز نمی باشد .

## چکیده

در بخش اول، مطالعه‌ی کمی ساختار-فعالیت (QASR) بر روی اثر بازداری ( $\text{pIC}_{50}$ ) ۱۰۳ ترکیب دارویی از مشتقات هموپیپرازین، دی‌آمین و ۳-آمینو پیرولیدین انجام شد. برای انتخاب مهمترین توصیفگرها از دو روش رگرسیون خطی چندگانه (MLR)، شبکه عصبی مصنوعی (ANN) و ماشین بردار پشتیبان (SVM) جهت مدل سازی استفاده شد. پس از انتخاب توصیفگرها توسط این دو روش از سه روش رگرسیون خطی چندگانه (MLR)، شبکه عصبی مصنوعی (ANN) و ماشین بردار پشتیبان (SVM) مورد بررسی قرار گرفت. میانگین مربعات خطأ (MSE) و خطای استاندارد پیش‌بینی (SEP) سری تست برای روش‌های  $\text{GA-ANN}$ ،  $\text{GA-MLR}$ ،  $\text{SR-SVM}$ ،  $\text{SR-ANN}$ ،  $\text{SR-MLR}$ ،  $\text{GA-SVM}$  به ترتیب برابر  $0/283$ ،  $0/532$ ،  $0/225$ ،  $0/475$ ،  $0/228$ ،  $0/477$ ،  $0/263$ ،  $0/513$ ،  $0/346$  و  $0/328$  بودند. میانگین مربعات خطأ (MSE) و خطای استاندارد پیش‌بینی (SEP) سری تست برای روش‌های  $\text{GA-ANN}$ ،  $\text{GA-MLR}$ ،  $\text{SR-SVM}$ ،  $\text{SR-ANN}$ ،  $\text{SR-MLR}$ ،  $\text{GA-SVM}$  به ترتیب برابر  $0/573$  بود.

در بخش دوم، مطالعه‌ی کمی ساختار-فعالیت (QASR) بر روی اثر بازداری ( $\text{pIC}_{50}$ ) ۴۲ ترکیب دارویی از مشتقات آریل سولفونیل پیپرازین انجام شد. و برای انتخاب مهمترین توصیفگرها از الگوریتم ژنتیک استفاده شد. برای برای مدل سازی و پیش‌بینی اثر بازداری ( $\text{pIC}_{50}$ ) از روش‌های رگرسیون خطی چندگانه (MLR)، شبکه عصبی مصنوعی (ANN) و ماشین بردار پشتیبان (SVM) استفاده شد. عملکرد هر مدل توسط سری تست مورد بررسی قرار گرفت. که میانگین مربعات خطأ (MSE) و خطای استاندارد پیش‌بینی (SEP) و ضریب تعیین ( $R^2$ ) بسیار به یکدیگر نزدیک بوده و این بیانگر این مطلب است که هر سه مدل به کار برده شده توانایی خوبی در پیش‌بینی  $\text{pIC}_{50}$  ترکیبات مورد مطالعه دارند.

**کلمات کلیدی:** اثر بازداری، رگرسیون مرحله‌ای، الگوریتم ژنتیک، رگرسیون خطی چندگانه، شبکه عصبی مصنوعی، ماشین بردار پشتیبان

## فهرست مطالب

### فصل اول: مقدمه

|   |   |
|---|---|
| ۱ | ..... ۱-۱- مقدمه  |
| ۲ | ..... ۱-۲- کموکین ها                                      |
| ۳ | ..... ۱-۳- پارامترهای معرفی خواص دارویی ترکیبات           |
| ۴ | ..... ۱-۴- توان دارویی                                    |
| ۵ | ..... ۱-۵- بازدارندگی                                     |
| ۶ | ..... ۱-۶- تعیین مقدار $IC_{50}$ برای یک دارو             |
| ۷ | ..... ۱-۷- پیشینه کارهای انجام شده در QSAR ترکیبات دارویی |

### فصل دوم: کمومتریکس

|    |  |
|----|--|
| ۱۲ | ..... ۲-۱- کمومتریکس   |
| ۱۴ | ..... ۲-۲- ارتباط کمی ساختار- فعالیت (QSAR)                            |
| ۱۵ | ..... ۲-۲-۱- جمع آوری و انتخاب سری داده ها                             |
| ۱۵ | ..... ۲-۲-۲- رسم و بهینه سازی ساختار ترکیبات                           |
| ۱۶ | ..... ۲-۲-۳- محاسبه توصیف کننده ها                                     |
| ۱۸ | ..... ۲-۲-۴- حذف توصیف کننده های نامناسب                               |
| ۱۹ | ..... ۲-۲-۵- انتخاب بهترین توصیف کننده ها                              |
| ۱۹ | ..... ۲-۲-۵-۱- انتخاب بهترین توصیف کننده ها توسط رگرسیون مرحله ای (SR) |
| ۲۰ | ..... ۲-۲-۵-۲- انتخاب بهترین توصیف کننده ها توسط الگوریتم ژنتیک (GA)   |
| ۲۱ | ..... ۲-۲-۶- ساختن مدل   |

|    |   |           |
|----|---|-----------|
| ۲۲ | - رگرسیون خطی چندگانه (MLR)                         | ۶-۲-۱     |
| ۲۲ | - شبکه های عصبی مصنوعی                              | ۲-۶-۲     |
| ۲۳ | - توابع انتقال -الف-                                | ۲-۶-۲-۶-۲ |
| ۲۴ | - ماشین بردار پشتیبان (SVM)                         | ۲-۶-۳-۶-۲ |
| ۲۵ | -الف- مبانی ماشین بردار رگرسیون                     | ۲-۶-۳-۶-۲ |
| ۲۹ | - ب- انواع توابع کرnel                              | ۲-۶-۳-۶-۳ |
| ۳۱ | - ج- آموزش ماشین بردار رگرسیون                      | ۲-۶-۳-۶-۲ |
| ۳۲ | - ارزیابی قدرت پیش بینی مدل                         | ۲-۲-۷-۷   |
| ۳۲ | - با استفاده از پارامترهای آماری                    | ۲-۲-۷-۷   |
| ۳۴ | - با استفاده از نمودار برگشتی                       | ۲-۲-۷-۷   |
| ۳۴ | - با استفاده از نمودار خطای باقیمانده               | ۲-۲-۷-۷-۳ |
| ۳۴ | - با استفاده از آزمون ۷-تصادفی                      | ۲-۲-۷-۷-۴ |
| ۳۵ | - با استفاده از ارزیابی متقطع یا اعتبار سنجی تقاطعی | ۲-۲-۷-۷-۵ |
| ۳۵ | - نرم افزارهای مورد استفاده در این پژوهش            | ۲-۲-۸-۸   |
| ۳۵ | - بسته نرم افزار HyperChem                          | ۲-۲-۸-۸-۱ |
| ۳۶ | - بسته نرم افزاری Dragon                            | ۲-۲-۸-۸-۲ |
| ۳۶ | - بسته نرم افزاری آماری SPSS                        | ۲-۲-۸-۸-۳ |
| ۳۷ | - بسته نرم افزاری MATLAB                            | ۲-۲-۷-۷-۴ |

### فصل سوم: مطالعه ارتباط کمی ساختار - فعالیت مشتقات هموپیرازین، دی آمین، ۳-آمینوپیرولیدین با استفاده روش های خطی و غیر خطی

۱-۳- مدل سازی فعالیت دارویی مشتقات هموپیرازین، دی آمین و ۳-آمینو پیرولیدین به عنوان باز دارنده های CCR2

|    |   |
|----|---|
| ۴۰ | ۱-۱-۳- انتخاب سری داده‌ها   |
| ۴۰ | ۲-۱-۳- رسم و بهینه سازی ساختار مولکول ها  |
| ۴۶ | ۳-۱-۳- محاسبه توصیفگر ها  |
| ۴۸ | ۳-۱-۴- انتخاب توصیفگرهای مناسب  |
| ۵۰ | ۳-۱-۵- ارزیابی مستقل بودن توصیفگرهای انتخاب شده   |
| ۵۰ | ۳-۱-۶- مدل سازی توسعه رگرسیون خطی چندگانه (MLR)   |
| ۵۱ | ۳-۱-۷- مدل سازی به روش شبکه عصبی مصنوعی   |
| ۵۱ | ۱-۷-۱-۳- انتخاب تعداد لایه های پنهان  |
| ۵۲ | ۲-۷-۱-۳- انتخاب تعداد ورودی های شبکه، نوع تابع آموزش، نوع تابع انتقال و تعداد نرون های لایه پنهان |
| ۵۵ | ۳-۷-۱-۳- انتخاب تعداد دورهای آموزش  |
| ۵۶ | ۴-۷-۱-۳- بهینه کردن مقدار (mu)  |
| ۵۸ | ۸-۱-۳- مدل سازی به روش ماشین بردار پشتیبان (SVM)  |
| ۵۹ | ۹-۱-۳- انتخاب متغیر به روش الگوریتم ژنتیک   |
| ۶۲ | ۱۰-۱-۳- مدل رگرسیون خطی چندگانه با استفاده از توصیفگرهای انتخاب شده توسعه الگوریتم ژنتیک          |
| ۶۲ | ۱۱-۱-۳- مدل شبکه عصبی مصنوعی با استفاده از توصیفگرهای انتخاب شده توسعه الگوریتم ژنتیک             |
| ۶۲ | ۱-۱۱-۱-۳- انتخاب تعداد گره های لایه پنهان، تعداد متغیر ورودی، نوع تابع آموزش و نوع تابع انتقال    |
| ۶۵ | ۲-۱۱-۱-۳- انتخاب تعداد دورهای آموزش   |
| ۶۶ | ۳-۱۱-۱-۳- بهینه کردن مقدار mu   |
| ۶۷ | ۱۲-۱-۳- مدل ماشین بردار پشتیبان با استفاده از توصیفگرهای انتخاب شده توسعه الگوریتم ژنتیک          |
| ۶۹ | ۲-۳- بررسی نتایج  |
| ۶۹ | ۱-۲-۳- ارزیابی مدل های با استفاده از نمودار برگشتی  |

|    |  |
|----|--|
| ۷۱ | ۲-۲-۳- ارزیابی مدل‌ها با استفاده از نمودار خطای باقیمانده                |
| ۷۴ | ۳-۲-۳- ارزیابی مدل‌های برتر خطی و غیر خطی با استفاده از پارامترهای آماری |
| ۷۵ | ۴-۲-۳- ارزیابی مدل‌ها توسط روش رد مرحله‌ای تک تک و گروهی                 |
| ۷۵ | ۵-۲-۳- ارزیابی مدل‌های ارائه شده با استفاده از آزمون ۷-تصادفی            |
| ۷۶ | ۶-۲-۳- بررسی ارتباط توصیفگرهای وارد شده در مدل با اثر بازدارنده‌گی       |
| ۷۶ | ۳-۶-۲-۳- توصیف کننده‌های RDF   |
| ۷۷ | ۲-۶-۲-۳- توصیف کننده‌های ACFC  |
| ۷۹ | ۳-۶-۲-۳- توصیف کننده‌های گروه Topological                                |
| ۷۹ | ۴-۶-۲-۳- توصیف کننده‌های Connectivity Indices                            |
| ۸۰ | ۵-۶-۲-۳- توصیف کننده‌های Charge  |
| ۸۰ | ۷-۲-۳- بررسی میزان مشارکت توصیف کننده‌های منتخب شبکه عصبی                |
| ۸۲ | ۳-۳- نتیجه گیری  |
| ۸۳ | ۴-۳- آینده نگری  |

## فصل چهارم: مطالعه ارتباط کمی ساختار - فعالیت مشتقات آریل سولفونیل پیپرازین با استفاده روش‌های خطی و غیر خطی

|    |   |
|----|---|
| ۸۶ | ۱-۴- مقدمه                                      |
| ۸۷ | ۲-۴- انتخاب سری داده‌ها                         |
| ۸۹ | ۴-۲-۴- رسم و بهینه سازی ساختار مولکول‌ها        |
| ۸۹ | ۴-۲-۴- محاسبه توصیفگرها                         |
| ۹۰ | ۴-۲-۴- انتخاب توصیفگرها به روش الگوریتم ژنتیک   |
| ۹۱ | ۴-۲-۴- ارزیابی مستقل بودن توصیفگرهای انتخاب شده |

|     |   |
|-----|---|
| ۹۱  | ۴-۲-۵- مدل رگرسیون خطی چندگانه با استفاده از توصیفگرهای انتخاب شده توسط الگوریتم ژنتیک .      |
| ۹۲  | ۴-۲-۶- مدل شبکه عصبی مصنوعی با استفاده از توصیفگرهای انتخاب شده توسط الگوریتم ژنتیک .         |
| ۹۲  | ۴-۲-۶-۱- انتخاب تعداد گره های لایه پنهان، تعداد متغیر ورودی، نوع تابع آموزش و نوع تابع انتقال |
| ۹۵  | ۴-۲-۶-۲-۲- انتخاب تعداد دورهای آموزش  |
| ۹۶  | ۴-۲-۶-۳- بهینه کردن مقدار mu  |
| ۹۷  | ۴-۲-۷- مدل سازی به روش ماشین بردار پشتیبان (SVM) .  |
| ۹۹  | ۴-۲-۸- بررسی نتایج  |
| ۹۹  | ۴-۲-۸-۱- ارزیابی مدل های با استفاده از نمودار برگشتی  |
| ۱۰۱ | ۴-۲-۸-۲- ارزیابی مدل ها با استفاده از نمودار خطای باقیمانده.                                  |
| ۱۰۲ | ۴-۲-۸-۳- ارزیابی مدل های برتر خطی و غیر خطی با استفاده از پارامترهای آماری                    |
| ۱۰۳ | ۴-۲-۸-۴- ارزیابی مدل ها توسط روش رد مرحله ای تک تک و گروهی                                    |
| ۱۰۴ | ۴-۲-۸-۵- ارزیابی مدل های ارائه شده با استفاده از آزمون ۷-تصادفی                               |
| ۱۰۵ | ۴-۲-۹- بررسی ارتباط توصیفگرهای وارد شده در مدل با اثر بازدارندگی                              |
| ۱۰۵ | ۴-۲-۹-۱- توصیف کننده های RDF  |
| ۱۰۶ | ۴-۲-۹-۲- توصیف کننده های گروه Topological   |
| ۱۰۷ | ۴-۲-۹-۳- توصیف کننده های WHIM   |
| ۱۰۸ | ۴-۹-۴- توصیف کننده های 2D autocorrelation   |
| ۱۰۸ | ۴-۹-۱۰- بررسی میزان مشارکت توصیف کننده های منتخب شبکه عصبی                                    |
| ۱۰۹ | ۴-۳- نتیجه گیری   |
| ۱۱۰ | ۴-۴- آینده نگری   |
| ۱۱۱ | پیوست   |



## فهرست اشکال

|    |  |
|----|--|
| ۲۳ | ..... شکل (۱-۲)- نمای ساده‌ای از یک شبکه عصبی مصنوعی   |
| ۲۴ | ..... شکل (۲-۲)- چند مورد از توابع انتقال موجود در ANN   |
| ۲۵ | ..... شکل (۳-۲)- نمایش ماشین بردار پشتیبان در مسائل رگرسیون                                      |
| ۲۸ | ..... شکل (۴-۲) انتقال داده‌ها به فضایی با ابعاد بالاتر توسط تابع کرنل                           |
| ۴۹ | ..... شکل (۱-۳) نمودار پارامتر آماری ( $RMSE_{train}$ ) برحسب تعداد توصیه‌گرها                   |
| ۵۶ | ..... شکل (۲-۳)- منحنی تعداد دور‌های آموزش بر حسب میانگین مریع خطاهای                            |
| ۵۷ | ..... شکل (۳-۳)- نمودار میانگین مریع خطای بر حسب مقادیر مختلف $mu$                               |
| ۶۶ | ..... شکل (۴-۳)- منحنی تعداد چرخه‌های آموزش بر حسب میانگین مریع خطاهای                           |
| ۶۷ | ..... شکل (۵-۳)- نمودار میانگین مریع خطای بر حسب مقادیر مختلف $mu$                               |
| ۶۹ | ..... شکل (۶-۳)- نمودار مقادیر پیش‌بینی شده $pIC_{50}$ بر حسب مقادیر تجربی برای سری تست          |
| ۷۰ | ..... شکل (۷-۳)- نمودار مقادیر پیش‌بینی شده $pIC_{50}$ بر حسب مقادیر تجربی برای سری تست          |
| ۷۱ | ..... شکل (۸-۳)- نمودار مقادیر پیش‌بینی شده $pIC_{50}$ بر حسب مقادیر تجربی برای سری ارزیابی      |
| ۷۲ | ..... شکل (۹-۳)- نمودار مقادیر باقیمانده $pIC_{50}$ بر حسب مقادیر تجربی برای سری تست             |
| ۷۳ | ..... شکل (۱۰-۳)- نمودار مقادیر باقیمانده $pIC_{50}$ بر حسب مقادیر تجربی برای سری تست            |
| ۷۳ | ..... شکل (۱۱-۳)- نمودار مقادیر باقیمانده $pIC_{50}$ بر حسب مقادیر تجربی برای سری ارزیابی        |
| ۸۱ | ..... شکل (۱۲-۳)- درصد مشارکت توصیه‌گرها در مدل بهینه  |
| ۸۲ | ..... شکل (۱۳-۳)- درصد مشارکت توصیه‌گرها در مدل بهینه  |
| ۸۶ | ..... شکل (۱-۴)- برهمکنش میان کورتیزون و کورتیزول توسط $\beta\text{-HSD}1$ و $\beta\text{-HSD}2$ |
| ۹۵ | ..... شکل (۲-۴)- منحنی تعداد چرخه‌های آموزش بر حسب میانگین مریع خطاهای                           |
| ۹۷ | ..... شکل (۳-۴)- نمودار میانگین مریع خطای بر حسب مقادیر مختلف $mu$                               |

- شکل (۴-۴)- نمودار مقادیر پیش بینی شده  $\mu\text{IC}_{50}$  بر حسب مقادیر تجربی برای سری ارزیابی ۹۹
- شکل (۴-۵)- نمودار مقادیر پیش بینی شده  $\mu\text{IC}_{50}$  بر حسب مقادیر تجربی برای سری تست ۱۰۰
- شکل (۴-۶)- نمودار مقادیر باقیمانده  $\mu\text{IC}_{50}$  بر حسب مقادیر تجربی برای سری تست ۱۰۱
- شکل (۴-۷)- نمودار مقادیر باقیمانده  $\mu\text{IC}_{50}$  بر حسب مقادیر تجربی برای سری ارزیابی ۱۰۲
- شکل (۴-۸)- درصد مشارکت توصیفگرها در مدل بهینه ۱۰۹

## فهرست جداول

|    |  |
|----|--|
| ۴۱ | جدول (۳-۱)- ساختار ترکیبات مورد استفاده و مقدار $pIC_{50}$ آنها  |
| ۴۷ | جدول (۳-۲)- فهرست توصیفگرهای محاسبه شده توسط نرم افزار Dragon  |
| ۴۹ | جدول (۳-۳)- توصیفگرهای انتخاب شده توسط رگرسیون خطی چندگانه مرحله به مرحله  |
| ۵۰ | جدول (۳-۴)- ماتریس ضرایب همیستگی توصیفگرهای انتخاب شده   |
| 52 | جدول (۳-۵)- مقادیر میانگین مربعات خطای سری ارزیابی برای شبکه با الگوریتم آموزشی لونبرگ-مارکوات وتابع انتقال لگاریتم سیگموئیدی با تعداد ورودی های مختلف و تعداد گره های متفاوت در لایه پنهان  |
| 53 | جدول (۳-۶)- مقادیر میانگین مربعات خطای سری ارزیابی برای شبکه با الگوریتم آموزشی لونبرگ-مارکوات وتابع انتقال تائزانت سیگموئیدی با تعداد ورودی های مختلف و تعداد گره های متفاوت در لایه پنهان  |
| 53 | جدول (۳-۷)- مقادیر میانگین مربعات خطای سری ارزیابی برای شبکه با الگوریتم آموزشی تنظیم بازیزن وتابع انتقال لگاریتم سیگموئیدی با تعداد ورودی های مختلف و تعداد گره های متفاوت در لایه پنهان    |
| 54 | جدول (۳-۸)- مقادیر میانگین مربعات خطای سری ارزیابی برای شبکه با الگوریتم آموزشی تنظیم بازیزن وتابع انتقال تائزانت سیگموئیدی با تعداد ورودی های مختلف و تعداد گره های متفاوت در لایه پنهان    |
| 54 | جدول (۳-۹)- توابع و پارامترهای بهینه شده شبکه های بهینه (SR-ANN) بدست آمده   |
| 55 | جدول (۳-۱۰)- مقادیر میانگین مربعات خطای سری ارزیابی در تعداد دورهای آموزش مختلف  |
| 56 | جدول (۳-۱۱)- مقادیر میانگین مربع خطاهای سری ارزیابی در مقادیر مختلف mu   |
| 57 | جدول (۳-۱۲)- توابع و پارامترهای بهینه شده شبکه عصبی  |
| 59 | جدول (۳-۱۳)- مقادیر مختلف پارامترهای ماشین بردار پشتیبان با استفاده توصیگرهای منتخب SR و MSE آنها  |
| 61 | جدول (۳-۱۴)- توصیفگرهای انتخاب شده توسط الگوریتم ژنتیک   |
| 63 | جدول (۳-۱۵)- مقادیر میانگین مربعات خطای سری ارزیابی برای شبکه با الگوریتم آموزشی لونبرگ-مارکوات وتابع انتقال لگاریتم سیگموئیدی با تعداد ورودی های مختلف و تعداد گره های متفاوت در لایه پنهان |

|   |    |
|---|----|
| جدول (۱۶-۳)- مقادیر میانگین مربعات خطای سری ارزیابی برای شبکه با الگوریتم آموزشی لونبرگ-مارکوات و تابع انتقال تائزانت سیگموئیدی با تعداد ورودی های مختلف و تعداد گره های متفاوت در لایه پنهان ..... | ۶۳ |
| جدول (۱۷-۳)- مقادیر میانگین مربعات خطای سری ارزیابی برای شبکه با الگوریتم آموزشی تنظیم بازیزن و تابع انتقال لگاریتم سیگموئیدی با تعداد ورودی های مختلف و تعداد گره های متفاوت در لایه پنهان .....   | ۶۴ |
| جدول (۱۸-۳)- مقادیر میانگین مربعات خطای سری ارزیابی برای شبکه با الگوریتم آموزشی تنظیم بازیزن و تابع انتقال تائزانت سیگموئیدی با تعداد ورودی های مختلف و تعداد گره های متفاوت در لایه پنهان .....   | ۶۴ |
| جدول (۱۹-۳)- توابع و پارامترهای بهینه شده شبکه های متفاوت در لایه پنهان (SR-ANN) بدست آمده .....  | ۶۵ |
| جدول (۲۰-۳)- مقادیر میانگین مربع خطاهای برای سری ارزیابی در تعداد دورهای آموزش مختلف .....  | ۶۵ |
| جدول (۲۱-۳)- مقادیر میانگین مربع خطاهای برای سری ارزیابی در مقادیر مختلف $m_u$ .....  | ۶۶ |
| جدول (۲۲-۳)- توابع و پارامترهای بهینه شده شبکه عصی .....  | ۶۷ |
| جدول (۲۳-۳)- مقادیر مختلف پارامترهای ماشین بردار پشتیبان با استفاده توصیگرهای منتخب SR و MSE آنها .....   | ۶۸ |
| جدول (۲۴-۳)- پارامترهای آماری برای مدل های انتخاب شده .....   | ۷۴ |
| جدول (۲۵-۳)- پارامترهای آماری برای مدل های انتخاب شده .....   | ۷۵ |
| جدول (۲۶-۳)- نتایج حاصل از ۱۰ بار آزمون ۷-تصادفی .....  | ۷۶ |
| جدول (۲۷-۳)- مثال هایی از مقدار توصیفگر H-052 بر $pIC_{50}$ آنها .....  | ۷۸ |
| جدول (۱-۴) ساختار ترکیبات مورد استفاده و مقدار $pIC_{50}$ آنها .....  | ۸۷ |
| جدول (۲-۴) توصیفگرهای انتخاب شده توسط الگوریتم زنتیک .....  | ۹۰ |
| جدول (۳-۴) ماتریس ضرایب همبستگی توصیفگرهای انتخاب شده .....   | ۹۱ |
| جدول (۴-۴) مقادیر میانگین مربعات خطای سری ارزیابی برای شبکه با الگوریتم آموزشی تنظم بازیزن و تابع انتقال تائزانت سیگموئیدی با تعداد ورودی های مختلف و تعداد گره های متفاوت در لایه پنهان .....      | ۹۲ |
| جدول (۵-۴) مقادیر میانگین مربعات خطای سری ارزیابی برای شبکه با الگوریتم آموزشی لونبرگ-مارکوات و تابع انتقال تائزانت سیگموئیدی با تعداد ورودی های مختلف و تعداد گره های متفاوت در لایه پنهان .....   | ۹۳ |

|  |     |
|--|-----|
| جدول (۶-۴) مقادیر میانگین مربعات خطای سری ارزیابی برای شبکه با الگوریتم آموزشی لونبرگ-مارکوات وتابع انتقال لگاریتم | ۹۳  |
| سیگموئیدی با تعداد ورودی های مختلف و تعداد گره های متفاوت در لایه پنهان .....                                      |     |
| جدول (۷-۴) مقادیر میانگین مربعات خطای سری ارزیابی برای شبکه با الگوریتم آموزشی تنظیم بازیزن وتابع انتقال لگاریتم   | ۹۴  |
| سیگموئیدی با تعداد ورودی های مختلف و تعداد گره های متفاوت در لایه پنهان .....                                      |     |
| جدول (۸-۴) توابع و پارامترهای بهینه شده شبکه های بهینه (SR-ANN) بدست آمده  | ۹۴  |
| جدول(۹-۴) مقادیر میانگین مربع خطاهای برای سری ارزیابی در تعداد دورهای آموزش مختلف                                  | ۹۵  |
| جدول(۱۰-۴) مقادیر میانگین مربع خطاهای برای سری ارزیابی در مقادیر مختلف mu  | ۹۶  |
| جدول (۱۱-۴) توابع و پارامترهای بهینه شده شبکه عصبی .....   | ۹۷  |
| جدول (۱۲-۴)- مقادیر مختلف پارامترهای ماشین بردار پشتیبان با استفاده توصیگرهای منتخب SR و MSE آنها                  | ۹۸  |
| جدول (۱۳-۴)- پارامترهای آماری برای مدل های انتخاب شده  | ۱۰۳ |
| جدول (۱۴-۴)- پارامترهای آماری برای مدل های انتخاب شده  | ۱۰۴ |
| جدول (۱۵-۴)- نتایج حاصل از ۱۰ بار آزمون ۷-تصادفی .....   | ۱۰۵ |

# فصل اول

## مقدمه

## ۱-۱- مقدمه

یکی از مشکلاتی که جامعه بشری همیشه با آن روبرو بوده، مقابله با انواع بیماری هایی است که سلامت انسان ها را به مخاطره انداخته و همواره یکی از مهمترین دغدغه های محققان یافتن داروهای موثر، برای رفع این معضل و یا کاهش عوارض این بیماری ها بوده است. بروز انواع بیماری ها از قبیل سرطان، ایدز، بیماری های مشترک انسان و دام و مقاوم شدن ویروسها در برابر آنتی بیوتیک ها همه از جمله مواردی هستند که ذهن دانشمندان را در جهت یافتن داروهای موثر و کارآمدتر برای مقابله با این بیماری ها معطوف خود نموده اند<sup>[۱]</sup>. روندی که در گذشته منجر به کشف و توسعه داروهای جدید می شد به روش آزمون و خطا صورت می گرفت که روشی وقت گیر و هزینه بر است. مشکل دیگری که در این راه دانشمندان را آزار می دهد، عدم اطلاع آنها از فعالیت داروئی ترکیبات، قبل از انجام سنتز و بررسی تجربی آنها بوده و به همین دلیل یکی از مهم ترین اهداف شیمیدان ها و محققان دارویی پیش بینی فعالیت ترکیبات دارویی، قبل از سنتز آن ها می باشد. چرا که انجام بسیاری از آزمایش ها مستلزم صرف زمان و هزینه های زیادی است. از این رو نیاز به استفاده از روش های تئوری و محاسباتی که بدون انجام آزمایش بتوانند فعالیت ترکیبات دارویی را پیش بینی کنند، ضروری به نظر می رسد. ظهور علم کمومتریکس<sup>۱</sup> توانسته راه حلی برای رفع این مشکلات باشد<sup>[۲]</sup>.

## ۱-۲- کموکین ها

کموکین ها<sup>۲</sup> خانواده ای از سیتوکین های<sup>۳</sup> با اندازه کوچک یا پروتئین های تولید شده توسط سلولها هستند. نام این خانواده از خاصیت آن ها برای جذب سلول های پاسخ دهنده الهام گرفته شده است. پروتئین هایی که به عنوان کموکین طبقه بندی می شوند دارای ویژگی های ساختاری مشابهی همچون اندازه کوچک و حضور چهار عدد مولکول سیستئین در جایگاه های کلیدی ساختاری هستند.

۱- Chemometrics

۲- Chemokines

۳-Cytokines

برخی از کموکین‌ها دارای نقش پیش-التهاب هستند و در هنگام التهاب، سلول‌های ایمنی را به مکان عفونت فرا می‌خوانند<sup>[۴]</sup>.

کموکین‌ها از طریق یک پروتئین غشایی بنام جی پروتئین اثر می‌کنند. جی پروتئین‌ها گیرنده‌هایی پروتئینی هستند که یک سمت آنها خارج از سلول و سمت دیگر شان داخل سلول قرار دارد (عبور کننده از عرض غشا). این سیستم نوعی پیامرسان برای مواد شیمیایی خاصی مثل هورمون‌ها و پیامرسان عصبیدر سطح غشای سلول است<sup>[۵]</sup>.

CCR<sub>2b</sub><sup>۱</sup> عضوی از خانواده گیرنده‌های بتا کموکین یا گروه CC است که عضو ثابت غشای سلول‌ها هستند. عوامل التهاب زا یا بیماری‌های التهابی مانند ورم مفاصل، التهاب گلومرول، رسوب کلسترول در جدار عروق و بیماری MS اغلب با استفاده از CCR<sub>2b</sub> وارد سلول هدف می‌شود. بازدارنده‌های<sup>۲</sup> مورد مطالعه در این تحقیق، برای دخالت در برهمکنش میان CCR<sub>2b</sub> و ویروس‌های التهاب زا طراحی شده‌اند. از جمله این دسته از داروها مشتقات هم‌پیپرازین، دی‌آمین و ۳-آمینو پیرولیدین هستند که به عنوان آنتاگونیست CCR<sub>2b</sub> عمل می‌نمایند و از تحریک این گیرنده‌ها توسط ویروس ممانعت به عمل می‌آورند<sup>[۶-۷]</sup>.

در این تحقیق اثر بازدارندگی این مشتقات مورد بررسی قرار گرفته و سعی شده است تا به کمک مطالعات QSAR مدلی با توانایی پیش‌بینی توان بازدارندگی ترکیبات یاد شده ارائه گردد تا بتوان از این مدل در طراحی و ساخت ترکیبات دارویی جدید از این دسته استفاده نمود.

### ۱-۳-پارامترهای معرفی خواص دارویی ترکیبات

جهت بیان هر خواص دارویی ترکیبات نیاز به استانداردهایی است که دارای تعریف کاملاً مشخص و شناخته شده باشند تا به وسیله آن استانداردها بتوان پارامترهای مورد نظر را مورد مقایسه

۱-Chemotactic cytokinereceptor 2b

۲- Inhibitors

قرار داد. داروها نیز از این قاعده مستثنی نیستند و جهت مقایسه خواص دارویی آنها در برابر بیماری‌های مختلف از پارامترهای ویژه‌ای استفاده می‌گردد. عمل داروها در بدن انسان را فارماکودینامیک<sup>۱</sup> و آنچه را که بدن با دارو انجام می‌دهد، فارماکوکینتیک<sup>۲</sup> می‌گویند. داروهایی که وارد بدن انسان می‌شوند تمایل دارند تا یک گیرنده خاص یا عمل روی یک آنزیم یا پروتئین واسطه را تحت تاثیر قرار دهند. در نتیجه آنها موجب می‌شوند که بدن انسان به طریق خاصی واکنش نشان دهد که این واکنش را پاسخ می‌نامند.

داروها به طور کلی به دو دسته تقسیم می‌شوند:

۱- آگونیست‌ها<sup>۳</sup>: مواد شیمیایی که به گیرنده یک سلول متصل شده و آن را تحریک و فعال می‌کنند.

۲- آنتاگونیست‌ها<sup>۴</sup>: که از تحریک گیرنده‌ها بوسیله آگونیست‌ها جلوگیری می‌کنند.

ابتدا گیرنده‌ها فعال می‌شوند و سپس گیرنده‌ها یا به وسیله یک پاسخ ویژه مستقیماً بر روی بدن اثر می‌گذارند یا موجب آزادسازی هورمون‌ها یا داروهای درونی بدن شده و از این طریق پاسخ ویژه را ایجاد می‌نمایند [۸].

#### ۱-۴- توان دارویی<sup>۵</sup>

در مقوله داروشناسی توان (قدرت یا دوز) دارویی میزان اثربخشی دارو بوده و مقدار دارویی است که در یک زمان مشخص استفاده می‌شود. دوز مناسب یک دارو، مقدار دارویی است که می‌تواند بهترین اثر را بدون کمترین عوارض جانبی در یک مدت زمان مشخص ایجاد کند. یک داروی بسیار قوی (مانند: مورفین، آلپرازولام و کلروپرومایزین) در غلظت‌های خیلی کم پاسخ بزرگتری ایجاد نموده

۱- Pharmacodynamics

۲- Pharmacokinetics

۳- Agonist

۴- Antagonist

۵- Drug dose

در حالیکه داروهای با توان کمتر(مانند: ایبوپروفن و استیل سالیسیلیک اسید) در غلظت های پایین پاسخ کوچکتری تولید می کنند. پاسخ تولید شده متناسب با میل ترکیبی و درجه تاثیر دارو است. میل ترکیبی، توانایی دارو در اتصال به گیرنده است و درجه تاثیر، ارتباط بین اشغال کننده‌ی گیرنده و توانایی آن در شروع پاسخ در سطح مولکولی، سلولی، بافت یا دستگاه می باشد. پاسخ، همان اثر یا (E) است و به میزان اتصال دارو و گیرنده ای که دارو به آن متصل شده وابسته است. با این توضیحات، قدرت دارو به میل ترکیبی و درجه تاثیر دارو وابسته می باشد. یک آگونیست، لیگاند، دارو یا هورمونی که به گیرنده متصل می شود و ایجاد پاسخ می کند را ععمولاً بطور مختصر با A یا D نشان می دهند.

پایین تر از یک غلظت معین از آگونیست([A]), پاسخ یا اثر (E) برای اندازگیری خیلی کوچکتر است اما در غلظت های بالاتر قابل ارزیابی می شود و با افزایش غلظت آگونیست([A]), زیاد شده تا به غلظتی برسیم که دیگر با افزایش [A]، E نتواند افزایش یابد و آن را با  $E_{max}$  نشان می دهند. حداکثر اثر احتمالی آگونیست است. غلظتی از A که در آن E برابر  $50\%$  است را "نصف حداکثر غلظت موثر" گویند و به صورت  $EC_{50}$  [A] یا بطور رایج با <sup>۱</sup>  $IC_{50}$  نشان می دهند.<sup>[۸]</sup>

## ۱-۵- بازدارندگی

غلظت بازدارندگی  $50\%$  ( $IC_{50}$ ) نماینده غلظتی از دارو است که دارای  $50\%$  اثر بازدارندگی می باشد. به عبارت دیگر  $IC_{50}$  کمیتی است که نشان می دهد چه مقدار از یک داروی خاص یا یک ماده دیگر (بازدارنده) نیاز است تا یک فرایند ویژه بیولوژیکی را به نصف کاهش دهد. به عبارت دیگر نصف حداکثر( $50\%$ ) غلظت بازدارندگی ( $IC$ ) یک ماده،  $IC_{50}$  یا  $50\%$   $IC$  نامیده می شود. از این کمیت عموما به عنوان معیاری از توان داروهای آنتاگونیست در تحقیقات دارو شناسی استفاده می شود. بعضی

<sup>۱</sup>-Half maximal effective concentration

<sup>۲</sup>-Half maximal inhibitory concentration

موقع نیز آن را به عنوانتابع لگاریتمی و به صورت تابع  $pIC_{50}$  (که برابر با  $\log IC_{50}$ -است) تبدیل می نمایند، که مقادیر بزرگتر آن به صورت نمایی بیانگر فعالیت بیشتر دارو می باشند[۸].

## ۶- تعیین مقدار $IC_{50}$ برای یک دارو

$IC_{50}$  یک دارو را می توان بوسیله رسم منحنی دوز بر حسب پاسخ و آزمایش اثر غلظت های مختلف از آنتاگونیست روی فعالیت آگونیست بدست آورد. مقادیر  $IC_{50}$  را می توان با تعیین غلظت مورد نیاز آنتاگونیست مورد نظر جهت بازدارندگی نیمی از پاسخ بیولوژیکی آگونیست محاسبه نمود. مقادیر  $IC_{50}$  به شدت به شرایط اندازه گیری وابسته هستند. بطور کلی، در غلظت بالای بازدارنده، فعالیت آگونیست کاهش بیشتری می یابد. مقدار  $IC_{50}$  با افزایش غلظت آنزیم افزایش می یابد. همچنین با توجه به نوع بازدارنده سایر عوامل نیز ممکن است روی مقدار  $IC_{50}$  اثر گذار باشند که به عنوان مثال در مورد آنزیم های وابسته به ATP، مقدار  $IC_{50}$  نیز به غلظت ATP وابسته خواهد بود به ویژه هنگامی که بازدارندگی کاملا رقابتی باشد. مقادیر  $IC_{50}$  را می توان برای مقایسه توان دو آنتاگونیست بکار برد[۸].

اندازه گیری مقدار  $IC_{50}$  معمولا به طریق آزمایشگاهی انجام می گیرد کهاین کار مستلزم صرف زمان و هزینه های زیاد می باشد. از این رو استفاده از روش های آسان، قدرتمند و کم هزینه برای تخمین و پیش بینی فعالیت ترکیبات دارویی از اهمیت بالایی برخوردار است. یکی از روش هایی که بدین منظور استفاده می شود مطالعه ارتباط کمی ساختار-فعالیت<sup>۱</sup> (QSAR) می باشد که فعالیت ترکیبات شیمیایی را به ویژگیهای ساختاری آنها ارتباط می دهد. فرض اساسی در مطالعات QSAR این است که ساختار یک مولکول (یعنی خواص هندسی، الکترونی و چیدمان فضایی اتم ها) حاوی ویژگیهایی است که مسئول خواص فیزیکی، شیمیایی و زیستی ترکیبات شیمیایی می باشند. مدل سازی QSAR در حوزه سم شناسی متولد شد. در واقع تلاش ها برای کمی کردن روابط بین ساختار شیمیایی و پتانسیل سمیت بحرانی، فرمولی از دستاوردهای منتشر شده سم شناسی برای بیش از

۱- Quantitative structure activity relationship

۱۰۰ سال بود. در سال ۱۸۶۳ کراس<sup>۱</sup> در دفاع از رساله خود در دانشکده پزشکی دانشگاه استراسبورگ<sup>۲</sup> عنوان کرد که سمیت الكل در پستانداران با کاهش حلالیت آنها در آب افزایش پیدا می‌کند. بعد از آن در سال ۱۸۶۸ کرومبرون<sup>۳</sup> و فریزر<sup>۴</sup> این ایده را بیان کردند که فعالیت فیزیولوژیکی یک ماده در یک سیستم زیستی معین تابعی از ساختمان شیمیایی آن است. بنابراین یک تغییر در ساختمان شیمیایی بصورت یک تغییر در فعالیت زیستی انعکاس می‌یابد. در حال حاضر علم QSAR به شاخه‌های مختلف شیمی، بیوشیمی، شیمی پزشکی، داروسازی و شیمی زراعی راه یافته است و همچنین به ابزاری اساسی در طراحی دارو و آفت کش تبدیل شده و نقش رو به رشدی در علوم زیست محیطی اشاره دارد. روند رو به رشد QSAR در طی این سال‌ها تا حدی به توسعه گسترده و سریع روش‌ها و تکنیک‌های محاسباتی نسبت داده می‌شود که با تعیین و پالایش توصیفگرها و روش‌های متنوع مدل سازی به موفقیت بیشتر مدل‌های QSAR منجر شده است. بدیهی است نتایج این مطالعات به شفاف سازی نحوه ارتباط بین خواص مولکول و ویژگی‌های ساختمانی آنها و درک بهتر مکانیسم عمل در یک سری از ترکیبات شیمیایی کمک می‌کند. علاوه بر آن توسط مدل‌های QSAR، تخمین فعالیت زیستی (یا خاصیت، واکنش پذیری و...) یک ماده شیمیایی جدید یا تست نشده با شباهت ساختاری به ترکیباتی که فعالیت مذکور برای آنها قبلاً ارزیابی شده است، امکان می‌یابد. این روش می‌تواند منجر به صرفه جویی قابل توجه‌ای در هزینه‌های تولید شده و نیاز به آزمایشات طولانی مدت را کاهش دهد.[۹]

## ۷-۱- پیشینه کارهای انجام شده در QSAR ترکیبات دارویی

در سال ۲۰۰۹ انترس و همکارانش یک مدل ساده ارتباط کمی ساختار- فعالیت خطی را جهت مدل سازی و پیش‌بینی بازدارندگی گیرنده‌های CXCR3 به وسیله N-آریل-[۱۴] دیازپان ارائه

<sup>۱</sup>-Cros

<sup>۲</sup>- Strasbourg

<sup>۳</sup>- Crum-Brown

<sup>۴</sup>- Fraser

نمودند. جهت مدل سازی از روش MLR استفاده کردند و تعداد ترکیبات مورد مطالعه شامل ۳۲ ترکیب بودند. در اینجا آنها صرفا از توصیفگرهای فیزیک و شیمیابی استفاده نمودند و مدل نهایی بدست آمده شامل ۵ توصیفگر بود. و پارامترآماری،  $R^2$  برای سری آموزش و تست به ترتیب برابر ۰/۷۵ و ۰/۸۲ میباشد.[۱۰].

در سال ۲۰۱۱ شهلاei و همکارانش به مطالعه ارتباط کمی ساختار-فعالیت ۲۹ ترکیب از مشتقات سیکلوبوتن دی ان جهت بازدارندگی آنتاگونیست های CCR1 با استفاده از یک شبکه عصبی مصنوعی با الگوریتم آموزشی پس انتشار پرداختند. RMSE و  $R^2$  برای سری آموزش به ترتیب ۰/۱۸۹ و ۰/۹۰۶ و برای سری تست مقادیر ۰/۱۰۳ و ۰/۹۳۲ بدست آمد[۱۱].

در سال ۲۰۱۱ اسدالهی و همکارانش به مطالعه QSAR بر روی گیرندهای CXCR2 پرداختند. در این مطالعه ارتباط کمی بین ساختارهای آنتاگونیست CXCR2 و فعالیتشان به وسیله روش حداقل مربعات جزئی (PLS) مورد مطالعه قرار گرفت و از روش های رگرسیون مرحله‌ای و الگوریتم ژنتیک جهت انتخاب مناسب ترین توصیفگرها استفاده کردند که ۵ توصیفگر انتخاب شد. جهت مدل سازی از روش های MLR و PLS استفاده کردند که نتایج، برتری روش GA-PLS را نشان داد. در این روش  $R^2_{\text{training}}$  و RMSEP برای بهترین مدل (GA-PLS) به ترتیب برابر ۰/۸۸ و ۰/۵۱ میباشد[۱۲].

در سال ۲۰۱۰ عرب جم جنگلی و همکارانش به مطالعه ساختار-فعالیت مشتقات ۵-اکسپیرولیدن-۳-کربوکسامید پرداختند. این ترکیبات از طریق دخالت در برهمکنش میان CCR5 و HIV مانع از گسترش بیماری می‌شوند. مجموعه داده‌های مورد بررسی شامل ۱۰۴ ترکیب میباشد که این سری داده‌ها به طور تصادفی به سه سری آموزش، ارزیابی و تست تقسیم کردند که با استفاده از شبکه عصبی مقادیر  $pIC_{50}$  مربوط به هر یک از ترکیبات را پیش بینی کردند و مقادیر MSE برای سری تست و رد مرحله‌ای تک تک به ترتیب برابر ۰/۱۴۰۵ و ۰/۱۲۱۰ میباشد[۱۳].

در این پایان نامه هدف، ارتباط کمی ساختار فعالیت برای پیش بینی فعالیت دارویی یکسری از ترکیبات به کار گرفته شد. بر اساس تحقیقات صورت گرفته، برای ترکیبات بررسی شده در این پایان نامه قبل مدل سازی صورت نگرفته است و این کار به عنوان تحقیقی نوین در ارتباط با این ترکیبات است. در این پایان نامه از روش های رگرسیون خطی چندگانه (MLR)، شبکه عصبی مصنوعی (ANN) و ماشین بردار پشتیبان (SVM) جهت مدل سازی استفاده گردید.



فصل دوم

كمومتر يكس

## ۱-۲- کمومتریکس<sup>۱</sup>

برای درک مکانیسم فرآیندهای مختلف شیمیایی، کشف و توسعه مواد جدید، حفظ محیط زیست و زمینه های دیگر شیمی هنوز توانایی حل مسائل به طور کامل وجود ندارد و برای عملی کردن بعضی از مسائل نیاز به سیستم های بسیار پیچیده ای می باشد که انجام آنها در گرو صرف هزینه های بسیار و مطالعات گسترده است. در جهت حل این مشکل، روش های محاسباتی کمومتریکس می توانند مفید باشند. تجزیه و تحلیل آماری و ریاضی داده های شیمیایی، تحت عنوان کمومتریکس یاد می شود [۱۴]. به عبارتی کمومتریکس یک روش کارآمد برای خلاصه کردن اطلاعات مفید از یک سری داده مشخص و پیش بینی سری دیگر داده هاست. هدف کمومتریکس، بهبود بخشنیدن فرآیندهای اندازه گیری و استخراج اطلاعات شیمیایی مفیدتر از داده های اندازه گیری شده فیزیکی و شیمیایی می باشد [۱۵]. کمومتریکس اولین بار توسط دانشمند سوئدی به نام ولد<sup>۲</sup> [۱۶] در سال ۱۹۷۲ به کار گرفته شد و توسط کوالسکی توسعه داده شد [۱۷]. اولین مقاله با عنوان کمومتریکس در سال ۱۹۷۵ توسط کوالسکی<sup>۳</sup> و اولین کتاب در زمینه کمومتریکس در سال ۱۹۷۷ توسط انجمن شیمی آمریکا منتشر شد. انتشار این مقالات روش جدیدی را در زمینه تبدیل حجم وسیع داده های شیمیایی به اطلاعات شیمیایی معنی دار گشود. رشد و توسعه روز افزون کمومتریکس مرهون استفاده از رایانه در آزمایشگاه ها، کامپیوتر های پیشرفته و نرم افزار های مناسب است. اما با این وجود نمی توان از این داده ها اطلاعات مفیدی به دست آورد. مگر این که ابتدا با استفاده از کمومتریکس، تجزیه و تحلیل داده ها صورت گرفته و سپس اطلاعات از آنها استخراج شود.

کاربردهای کمومتریکس در زمینه های مختلف شامل: داده پردازی، بهینه سازی، بهبود سیگنال به نویز، کالیبراسیون چند متغیره، الگو شناسی، دسته بندی و آنالیز فاکتور هاست. چندین تعریف برای

۱- Chemometrics

۲- Wold

۳- Kowalski

کمومتریکس بیان شده است که غالبا در متن های تجزیه ای به کار می روند. یکی از جامع ترین تعاریف به صورت زیر است:

کمومتریکس شاخه ای از شیمی است که از ریاضی و آمار و منطق استفاده می کند برای اینکه: الف) فرآیندهای تجربی بهینه را طراحی و انتخاب کند، ب) حداکثر اطلاعات شیمیایی قابل حصول را از تحلیل اطلاعات شیمیایی فراهم کند و پ) بتوان اطلاعات بیشتری در مورد سیستم‌های شیمیایی بدست آورد [۱۸]. کمومتریکس مجموعه ای از یک سری قواعد شیمیایی است که با استفاده از ریاضی، آمار و کامپیوتر در عرصه های ارزیابی و تفسیر اطلاعات، بهینه کردن و مدلسازی فرآیندها و آزمایشات و استخراج حداکثر اطلاعات شیمیایی از داده های تجربی به ما کمک می کند. به طور کلی می توان گفت کمومتریکس، علم استفاده از کامپیوتر، ریاضی و آمار در شیمی می باشد. کمومتریکس به عنوان یک شاخه علمی جوان در دو دهه اخیر به سرعت توسعه پیدا کرده است. این رشد سریع مدیون پیشرفت دستگاه های هوشمند و خودکار آزمایشگاهی و همچنین امکان استفاده از کامپیوترهای قدرتمند و نرم افزارهای ساده است. بنابراین کمومتریکس به عنوان یک وسیله در همه قسمت های شیمی و به طور زیادی در زمینه شیمی تجزیه مورد استفاده قرار گرفته است. امروزه یک شیمیدان تجزیه به صورت فزاینده ای به استفاده از روشهای آماری و ریاضی در کارهای روزمره اش به کمومتریکس نیاز پیدا می کند [۱۹].

امروزه کمومتریکس در شاخه های مختلف شیمی مورد استفاده قرار گرفته است که برخی از آنها عبارتند از: کنترل فرآیندها، تجزیه و تحلیل و شناخت الگوها، پردازش علائم، بهینه کردن شرایط [۲۰]. یکی از زمینه های مهم کاربرد کمومتریکس در مطالعاتی است که خواص مولکول ها را به ویژگی های ساختاری آنها نسبت می دهد. از نظر شیمیدانان فعالیت ها و خواص یک ترکیب ناشی از ویژگی های ساختاری آن است. این نوع از مطالعات به بررسی کمی ارتباط ساختمان با فعالیت، QSAR معروف می باشد.

## ۲-۲- ارتباط کمی ساختار- فعالیت(QSAR)

یکی از کاربردهای روش‌های کمومتریکس، یافتن ارتباط کمی ساختار- فعالیت (QSAR) و ارزیابی داده‌های تجزیه‌ای از طریق آن است. مولکول‌های مشابه با تغییر کوچکی در ساختارشان می‌توانند فعالیت‌های شیمیایی کاملاً متفاوتی داشته باشند. این نوع ارتباط بین ساختار مولکولی و رفتار شیمیایی در مطالعات QSAR مورد توجه می‌باشد. در واقع، QSAR سعی در پیدا کردن رابطه‌ی هماهنگ میان فعالیت شیمیایی و ویژگی‌های مولکولی، به منظور کاربرد این روابط برای ارزیابی فعالیت ترکیبات جدید دارد. برای انجام یک مطالعه QSAR، ابتدا باید مقادیر فعالیت شیمیایی محاسبه و تعیین شده و توصیف‌کننده‌های مناسب از طریق تجربی یا محاسبه توسط کامپیوتر تولید شوند. مرحله‌ی بعد، دست‌یابی به ارتباط ریاضی بین ساختار و فعالیت است. این ارتباط عموماً توسط روش‌های خطی از جمله رگرسیون خطی چندگانه<sup>۱</sup>(MLR)، آنالیز اجزای اصلی<sup>۲</sup>(PCA) و حداقل مربعات جزیی<sup>۳</sup>(PLS) و روش‌های غیرخطی مانند شبکه عصبی مصنوعی<sup>۴</sup>(ANN) و ماشین بردار پشتیبان<sup>۵</sup>(SVM) ارتباط میان ساختار و فعالیت ترکیبات را مورد مطالعه قرار می‌دهند [۳۰-۲۱].

هر مطالعه QSAR شامل مراحل زیر می‌باشد:

- ۱) جمع آوری و انتخاب سری داده‌ها
- ۲) رسم و بهینه سازی ساختار ترکیبات
- ۳) محاسبه توصیف کننده‌ها
- ۴) تجزیه و تحلیل و ارزیابی آماری توصیف کننده‌ها و انتخاب موثرترین آنها
- ۵) ایجاد مدل‌های آماری
- ۶) تجزیه و تحلیل و ارزیابی آماری مدل‌ها و انتخاب مناسب ترین مدل

---

۱- Multiple Linear Regression  
۲- Principle Component Analysis  
۳- Partial Least Squares  
۴- Artificial Neural Networks  
۵- Support Vector Machines

۷) ارزیابی قدرت پیش بینی و اعتبار مدل بدست آمده [۳۱].

## ۱-۲-۲- جمع آوری و انتخاب سری داده ها

مرحله نخست مدل سازی جمع آوری و انتخاب یک سری ترکیباتی است که مقادیر تجربی خاصیت یا فعالیت مورد نظر آن ها از منابع قابل اعتماد در دسترس باشد. بهتر است ترکیباتی عنوان سری داده ها انتخاب شوند که ساختارشان مشابه بوده و آن کمیتی که هدف مدلسازی است در شرایط عملی یکسان بدست آمده باشد تا نتیجه های قابل اعتماد و مناسب تری بدست آید.

در قدم بعدی سری داده ها به طور تصادفی به دو قسمت سری آموزشی<sup>۱</sup> و سری پیش بینی<sup>۲</sup> تقسیم می شوند. سری آموزشی که حاوی بیشترین تعداد مولکول ها است باید نماینده ای مناسبی از کل مولکول ها باشد چون این دسته از مولکول ها برای مدل سازی استفاده می شوند. مولکول های سری پیش بینی طوری انتخاب می شوند که نماینده مولکول های موجود در سری آموزشی باشند و معمولاً ۲۰٪ از کل داده ها را به عنوان سری پیش بینی انتخاب می کنند. سری پیش بینی در هیچ یک از مراحل مدلسازی شرکت نمی کند و در واقع همان طور که از نامش پیداست به منظور ارزیابی قدرت پیش بینی و اعتبار مدل های بدست آمده مورد استفاده قرار می گیرد. شایان ذکر است که هر قدر مجموعه داده ها بزرگتر و متنوع تر باشد مدل حاصل از آن معتبرتر و قدرت پیش بینی آن نیز بالاتر خواهد بود.

## ۱-۲-۲-۲- رسم و بهینه سازی ساختار ترکیبات

برای محاسبه برخی از توصیف کننده ها به اطلاعاتی از قبیل مختصات سه بعدی و حالت پایدار مولکول نیاز می باشد. روشی که در این تحقیق بکار گرفته شده، AM1 است که جزء روش های نیمه

۱- Training set

۲- Prediction set

تجربی بوده و در روش‌های نیمه تجربی که در برنامه‌هایی نظیر HyperChem وارد شده‌اند، قبل از محاسبه توصیف کننده‌ها باید ساختمان تمام مولکول‌های موجود در سری داده‌ها با روش‌های مکانیک کوانتومی و با استفاده از رایانه بهینه شوند و پایدارترین حالت آن‌ها با حداقل انرژی مشخص شود.<sup>[۳۲]</sup>

### ۲-۳-۲- محاسبه توصیفگر‌ها

توصیفگر‌ها مقادیر عددی هستند که ویژگی‌های ساختاری و الکترونی مولکول‌ها را بصورت کمی بیان می‌کنند و به پیش‌بینی فعالیت و خصوصیات مولکول‌ها در آزمایش‌های پیچیده کمک می‌کنند. به عبارت دیگر می‌توان گفت که هر توصیفگر اطلاعات خاصی از مولکول را که بر کمیت مورد مدلسازی اثر می‌گذارد، در اختیار قرار می‌دهد. در صورتی که توصیفگرهای مناسبی انتخاب شوند می‌توان مکانیسم اثر کمیت مورد سازی را به طور منطقی توجیه کرد. در صورتی که توصیف‌کننده‌های انتخاب شده مناسب نباشند، عمل مدل‌سازی با مشکل مواجه شده و مدل مناسب به‌دست نخواهد آمد. بنابراین در انتخاب توصیفگرها باید دقیق و توصیفگرهایی می‌باشد که در ارتباط با ویژگی خاص یا فعالیت مولکول باشند.

توصیفگرهای مولکولی، به دو دسته‌ی اصلی تقسیم می‌شوند:

- ۱- توصیفگرهای حاصل از اندازه‌گیری‌های تجربی مانند قطبش‌پذیری، انکسار مولاری، ممان دوقطبی.
- ۲- توصیفگرهای مولکولی نظری که از ساختار نمادین مولکول مشتق شده و می‌توانند به دسته‌های بیشتری مطابق با انواع مختلفی از نمایش مولکولی یا براساس ابعاد توصیف مولکول تقسیم شوند.  
نمایش مولکولی، روشهایی است که با آن یک مولکول از طریق فرآیند قراردادی و قواعد اختصار به صورت نمادین ارائه می‌شود. بر این اساس می‌توان توصیفگرها را به طور کلی به صورت زیر دسته بندی کرد:

### الف) توصیفگرهای صفر بعدی

ساده‌ترین روش نمایش مولکولی، فرمول شیمیایی مربوطه است. این نمایش هیچ‌گونه اطلاعاتی از ساختار مولکول ارائه نداده و از این رو توصیفگرهای مولکولی به دست آمده از فرمول‌های شیمیایی، توصیفگرهای صفر بعدی نامیده می‌شوند. این دسته از توصیفگرها تعداد و نوع اتم‌ها، جرم مولکولی و هر عاملی از خصوصیات اتمی را تعیین می‌کنند. (مثلاً مجموع حجم‌های اتمی واندروالس). این نوع توصیفگرها به توصیفگرهای ساختاری نیز معروفند که علاوه بر موارد فوق شامل توصیفگرهای مربوط به نوع پیوندها و حضور حلقه‌ها در مولکول نیز می‌شوند. تعداد کل اتم‌ها یا تعداد یک عنصر شیمیایی خاص (کربن، نیتروژن، اکسیژن، هیدروژن، فلوئور و...)، تعداد گروه‌های عاملی خاص، تعداد پیوندهای ساده، دوگانه، سه‌گانه، آروماتیک و... در مولکول، تعداد کل حلقه‌ها بر اساس تعداد اتم‌ها (حلقه‌های شش‌تایی، پنج‌تایی و...) در مولکول، وزن مولکولی و متوسط وزن اتمی، مثال‌هایی از توصیفگرهای صفر بعدی می‌باشند.

### ب) توصیفگرهای یک بعدی

ارائه‌ی نمایش ساده ساختاری، می‌تواند به عنوان نمایشی یک بعدی از مولکول در نظر گرفته شود- که شامل لیستی از اجزای ساختاری از مولکول (گروه‌های عاملی یا استخلافات مورد نظر در یک مولکول) است. این دسته از توصیفگرها، یک بعدی نامیده می‌شوند. توصیفگرهای گروه‌های عاملی، قطعات اتم مرکزی، توصیفگرهای تجربی و خصوصیات مولکولی زیر گروه‌های این دسته می‌باشند.

### ج) توصیفگرهای دو بعدی

نمایش دو بعدی از مولکول، مبین چگونگی اتصال اتم‌ها و ماهیت باندهای شیمیایی می‌باشد. مانند دیدگاه بر پایه‌ی گراف مولکولی، که یک نمایش دو بعدی را ارائه می‌کنند و معمولاً به عنوان نمایش توپولوژیکی شناخته می‌شود. توصیفگرهای مولکولی به دست آمده از الگوریتم‌های به کار رفته برای یک نمایش توپولوژیکی، توصیفگرهای دو بعدی نامیده می‌شوند. این دسته از توصیفگرها شامل زیرگروه-

های توپولوژیکی، شمارش‌های مسیرهای مولکولی، توصیفگرهای BCUT، ضرایب بار و توصیفگرهای خود ارتباطی دو بعدی می‌شود.

#### د) توصیفگرهای سه بعدی

نمایش سه بعدی یک مولکول را معمولاً به عنوان یک شیء هندسی انعطاف‌پذیر تجسم نموده و نه تنها یک نمایش از ماهیت و اتصال اتم‌ها بلکه معیاری از صورت بندی فضایی مولکول نیز در اختیار قرار می‌دهد. این نمایش‌ها، هم نمایش‌های هندسی و توصیفگرهای مولکولی مشتق شده از این نمایش، توصیفگرهای سه بعدی نامیده می‌شوند. زیر گروه‌های این دسته عبارتند از: اندیس‌های آروماتیکی، خصوصیات مولکولی راندیک، توصیفگرهای هندسی که شامل مساحت سایه‌ی مولکول، اندیس کاپا، فاکتور شکل (نسبت طول به عرض مولکول)، مساحت و حجم واندروالس، محورهای اصلی چرخش و ممان اینرسی‌های اصلی مولکول می‌باشد.

### ۴-۲-۲- حذف توصیفگرهای نامناسب

در مراحل قبل توصیفگرها براساس تئوری و تشخیص نظری انتخاب شده و سپس محاسبه شدند. لذا این احتمال وجود دارد که این توصیف کننده‌ها با هم همپوشانی داشته باشند و یا ممکن است برخی از آن‌ها از لحاظ توجیه کمیت مورد مدلسازی مناسب نباشند. بنابراین باید به نحوی آنها را حذف کرد و تعداد توصیفگرها را قبل از شروع مدلسازی کاهش داد. بنابراین برای عملی کردن چنین اهدافی یعنی نخست برای حذف همپوشانی، ماتریس ضرایب همبستگی<sup>۱</sup> تشکیل داده می‌شود و از هر زوج توصیف کننده‌ای که دارای ضریب همبستگی بالای ۰/۹ هستند، توصیفگری که دارای همبستگی کمتری با کمیت مورد بررسی دارد حذف می‌گردد. لازم به ذکر است که توصیفگر هایی که بیش از ۹۰٪ مقادیر یکسان یا صفر دارند نیز حذف می‌گردند. بدیهی است که هر چه تعداد متغیرهای مستقل کمتر باشد دسترسی به یک مدل مطلوب آسانتر است و از پیچیدگی محاسبات

<sup>۱</sup>- Correlation matrix

جلوگیری به عمل می آید. که اخیرا با استفاده از برنامه‌ی نوشته شده در محیط نرم افزار MATLAB همبستگی توصیفگرها بررسی و توصیفگرهای حذفی مشخص می گردند.

## ۲-۵-۱-انتخاب بهترین توصیفگرها

با وجودی که با به کار بردن روش‌های کاهش متغیر، تعداد توصیفگرها به میزان زیادی کاهش می‌یابد. اما هنوز تعداد آنها برای ساخت یک مدل مناسب زیاد است. بنابراین باید به ترتیبی، بهترین توصیفگرها را از میان توصیفگرهای باقیمانده، انتخاب نمود. از جمله این روش‌ها می‌توان به روش رگرسیون مرحله‌ای و الگوریتم ژنتیک اشاره کرد. در ادامه به اختصار در مورد هر کدام از این روش‌ها توضیحاتی ارائه می‌گردد.

## ۲-۵-۱-۱-انتخاب بهترین توصیفگرها توسط رگرسیون مرحله‌ای (SR)

در این روش خصوصیت شیمیایی و بیولوژیکی مورد نظر به عنوان متغیر وابسته و توصیفگرها به عنوان متغیرهای مستقل در نظر گرفته می‌شوند. در روش مرحله‌ای، ابتدا با توجه به ضریب تعیین، متغیر اولیه انتخاب می‌شود. سپس مدل دو متغیری ایجاد شده و پارامترهای آماری مدل حاصل برای سری ارزیابی مورد بررسی قرار می‌گیرند. در صورتی که مدل از نظر آماری بی معنا باشد، متغیر بکار گرفته شده در آن مدل حذف می‌گردد. سپس مدل سه متغیری ساخته می‌شود و دوباره پارامترهای آماری آن شامل ضریب تعیین، مقدار میانگین مربعات خطای آماره F برای سری ارزیابی مورد بررسی قرار می‌گیرد. مدلی که ضریب تعیین و آماره F آن بیشتر و مقدار میانگین مربعات خطای آن کمتر باشد به عنوان بهترین مدل انتخاب شده و توصیفگرهای موجود در مدل به عنوان توصیفگرهای بهینه به روش رگرسیون مرحله‌ای در نظر گرفته می‌شود [۳۳].

## ۲-۵-۲-۲-انتخاب بهترین توصیفگر ها توسط الگوریتم ژنتیک<sup>۱</sup> (GA)

الگوریتم ژنتیک زیر مجموعه‌ای از الگوریتم‌های تکاملی<sup>۲</sup> است که از اصول انتخاب طبیعی داروین برای جستجو و بهینه سازی استفاده می‌کند و برترین روش انتخاب متغیر در مطالعات QSAR به شمار می‌رود. طبق اصول داروین گونه‌هایی از یک جمعیت قادر به بقا هستند که خصوصیات برتری داشته باشند و این گونه‌ها می‌توانند ویژگی‌های خود را به نسل‌های بعدی منتقل کنند (حفظ و بقای اصلاح). با وجود اینکه فرآیند جستجو در الگوریتم ژنتیک تصادفی می‌باشد ولی این الگوریتم در زمرة الگوریتم‌های تصادفی ساده قرار نمی‌گیرد، بلکه بطور کارآمدی به اکتشاف در فضای جستجو (یعنی همه راه حل‌های ممکن برای مسئله) می‌پردازد تا از یک نقطه جستجوی جدید به سمت بهترین جواب پیش رود. الگوریتم‌های ژنتیک در هر تکرار چند نقطه از فضای جستجو را بررسی می‌کنند بنابراین احتمال اینکه به یک نقطه بهینه محلی<sup>۳</sup> همگرا شوند، کم است. موتور آغازگر الگوریتم ژنتیک با در نظر گرفتن یک جمعیت اولیه شروع می‌شود که مجموعه‌ای است از راه حل‌های تصادفی. هر راه حل بر طبق یک الگو کد گذاری می‌شود و کروموزوم‌ها با هدف پیدا کردن بهترین راه حل، بعد طی مراحلی در چرخه، اصلاح می‌شوند که بعد از  $n$  چرخه، نسل<sup>۴</sup> نام می‌گیرند. تابع برازش<sup>۵</sup> برای ارزیابی کیفیت راه حل‌های ارائه شده بکار می‌رود. جمعیت اولیه کروموزوم‌ها با استفاده از تابع برازش ارزیابی می‌شود و بر اساس آن کروموزوم‌های برتر در فرآیندی نیمه تصادفی به عنوان والد انتخاب می‌شوند (رعايت اصل بقای اصلاح). سپس از عملگرهای ژنتیکی (دورگه‌سازی، باز تولید و جهش) برای ایجاد کروموزوم‌های جدید در هر نسل استفاده می‌شود. دورگه‌سازی و جهش تنوع ژنتیکی را باعث می‌شوند که برای فرآیند تکامل، حیاتی است. دورگه‌سازی، دو کروموزم والد را برای ایجاد کروموزوم جدید که ممکن است بهتر از والدین باشد ترکیب می‌کند. جهش، یک موقعیت

---

۱- Genetic Algorithm

۲- Evolutionary Algorithms

۳- Local optima

۴- Generation

۵- Fitness Function

در این کروموزوم‌ها را بطور تصادفی تغییر می‌دهد و باز تولید یعنی رونوشت از بهترین کروموزوم‌ها تا در طی فرآیند دورگه‌سازی و جهش از دست نرونده. این کروکوزوم‌های جدید (فرزندان<sup>۱</sup>) هم در جمعیت قرار می‌گیرند و نسل اول را تشکیل می‌دهند. این فرآیند تا رسیدن به شرایط خاتمه الگوریتم بارها تکرار می‌شود. شرایط خاتمه الگوریتم ژنتیک عبارتند از:

۱- رسیدن به تعداد ثابتی از نسل‌ها

۲- به پایان رساندن زمان محاسباتی اختصاص داده شده

۳- پیدا کردن نسلی با کمترین خطأ

۴- عدم دستیابی به نتایج بهتر.

رونده کار الگوریتم ژنتیک در مراحل زیر خلاصه می‌شود [۹ و ۳۴]:

۱- ایجاد یک جمعیت اولیه از توصیفگرها بصورت تصادفی

۲- ارزیابی برازش هر کروموزوم در جمعیت

۳- دسته بندی کروموزوم‌ها براساس برازش آنها

۴- تولید مثل بین کروموزوم‌های مناسب، جهش و ایجاد یک جمعیت جدید

۵- بررسی شرایط خاتمه برنامه

۶- اگر جمعیت جدید شرایط خاتمه را مهیا نکند مراحل ۲ تا ۵ دوباره تکرار می‌شود.

## ۲-۶- ساختن مدل

پس از انتخاب مناسب ترین توصیگرهای آماری مختلف به جستجوی مدل مناسبی پرداخته می‌شود که بتواند ارتباط بین توصیفگرهای انتخابی و پارامترهای مورد مدل‌سازی را به درستی بیان کند. برای مدل‌سازی از روش‌های گوناگون خطی و غیرخطی می‌توان استفاده کرد. در

۱- Offspring

این پایان نامه رگرسیون خطی چندگانه به عنوان یک روش خطی و از میان روش‌های غیرخطی، شبکه‌های عصبی مصنوعی و ماشین بردار پشتیبان مختصرًا شرح داده می‌شوند.

### ۶-۲-۱- رگرسیون خطی چندگانه (MLR)

رگرسیون خطی چندگانه روشی است که برای مدلسازی رابطه خطی بین یک متغیر وابسته با یک یا چند متغیر مستقل به کار برده می‌شود. متغیر وابسته گاهی مورد پیش بینی<sup>۱</sup> و متغیر مستقل پیش بینی کننده نامیده می‌شوند. در QASR توصیفگرها به عنوان متغیرهای مستقل در نظر گرفته شده و کمیت مورد مدلسازی در نقش متغیر وابسته ظاهر می‌شوند. رابطه کلی MLR به صورت زیر است:

$$Y = \beta_0 + \beta_1 X_1 + \beta_2 X_2 + \dots + \beta_i X_i \quad (1-2)$$

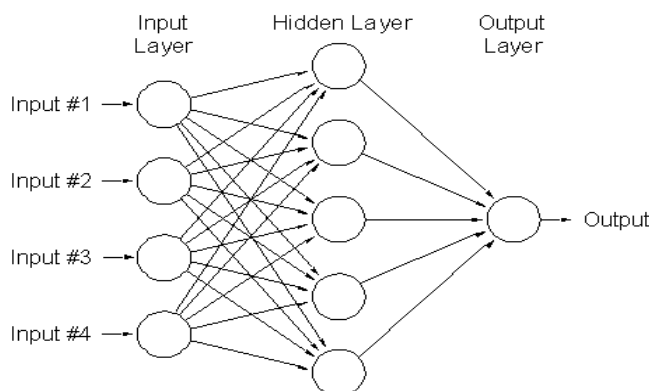
که در آن  $Y$  متغیر وابسته (فعالیت دارویی)،  $X_i$  متغیر مستقل (توصیفگر) و  $\beta$  ضرائب رگرسیون نامیده می‌شوند. ضرایب مدل فوق به روش حداقل مربعات تخمین زده می‌شود. در این روش هر چه رابطه خطی بین متغیرهای مستقل و وابسته بیشتر باشد و برهمکنش متغیرهای مستقل با یکدیگر کمتر باشد، مدل بهتری بدست خواهد آمد.

### ۶-۲-۲- شبکه‌های عصبی مصنوعی

شبکه عصبی مصنوعی یک سیستم محاسباتی است که با الهام گرفتن از ساختار و نحوه اتصال سلول‌های عصبی به حل مسائل می‌پردازد. شبکه عصبی مصنوعی از تعداد زیادی نورون (عنصر پردازش) تشکیل شده است که در سه لایه سازماندهی می‌شوند: الف) لایه ورودی که از طریق آن متغیرهای ورودی یا مستقل به شبکه داده می‌شود، ب) لایه مخفی که بین لایه ورودی و خروجی قرار دارد و ج) لایه خروجی که متغیرهای خروجی یا وابسته را ایجاد می‌کند. شکل (۲-۲) نمای ساده‌ای از

۱- Predictand  
۲- Predictors

یک شبکه عصبی مصنوعی را نشان می‌دهد. در این شبکه ورودی‌ها قبل از وارد شدن به هر عنصر پردازش وزن دار شده و پس از جمع شدن با ترم بایاس<sup>۱</sup> در صورتی که جمع سیگنال‌های درونی عنصر پردازش از یک حد معین به نام حد آستانه بیشتر شد سیگنال خروجی ایجاد می‌گردد. بایاس و وزن، دو پارامتر قابل تنظیم در نورون‌ها می‌باشند. سیگنال خروجی ایجاد شده از یک تابع انتقال<sup>۲</sup> (تابع فعالیت)<sup>۳</sup> عبور کرده و به عنوان ورودی برای سایر عناصر پردازش مورد استفاده قرار می‌گیرد [۳۵] و [۹].



شکل (۱-۲)- نمای ساده‌ای از یک شبکه عصبی مصنوعی [۳۵]

## ۲-۶-۲-الف- توابع انتقال

تابع انتقال  $f$  می‌تواند خطی یا غیرخطی باشد. یک تابع انتقال براساس نیاز خاص حل یک مساله، مساله‌ای که قرار است به وسیله شبکه عصبی حل شود، انتخاب می‌شود. در عمل تعداد محدودی از توابع انتقال مورد استفاده قرار می‌گیرند.

تابع انتقال باید دو شرط اصلی داشته باشند:

۱- مقدار تابع باید در محدوده مشخصی تعریف شده باشد.

۲- مقدار تابع باید به صورت یکنواختی افزایش یابد [۳۶ و ۳۷].

سه تابع انتقال رایج در فرآیند بهینه سازی شبکه‌های عصبی، تابع انتقال خطی<sup>۴</sup>، تابع انتقال لگاریتم

۱- Bias

۲- Transfer Function

۳- Activation Function

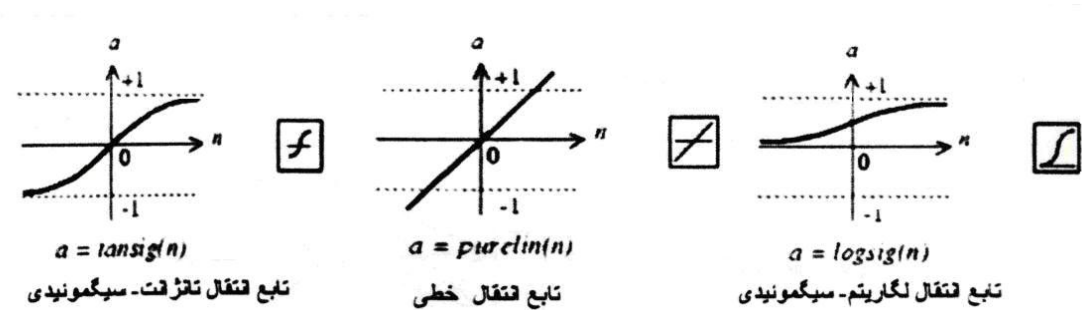
۴- Linear Transfer Function

سیگموید و تابع انتقال تانژانت هایپربولیک سیگموید نام دارند.

۱-تابع انتقال خطی: تابعی که به اختصار به صورت purline نمایش داده می شود یک تابع پیوسته است که معمولا برای تقریب خطی در فیلتر های خطی به کار می روند. این تابع همان مقدار ورودی را به عنوان خروجی بر می گرداند.

۲-تابع انتقال لگاریتم سیگموید: این تابع که در برنامه نرم افزاری با LOGSIG نمایش داده می شود بیشتر در شبکه های پس انتشار استفاده می شود. این تابع انتقال مقادیر ورودی را در محدوده  $-\infty$  تا  $+\infty$  در یافت کرده و خروجی بین صفر و یک تولید می نماید.

۳-تابع انتقال تانژانت سیگموید: که با TANSIG نمایش داده می شود ورودی را در محدوده  $-\infty$  تا  $+\infty$  دریافت کرده و خروجی بین ۱ و -۱ تولید می نماید.



شکل(۲-۲)- چند مورد از توابع انتقال موجود در ANN [۳۶]

### ۲-۲-۶-۳- ماشین بردار پشتیبان<sup>۱</sup> (SVM)

ماشین های بردار پشتیبان یکی از روش های یادگیری با ناظر هستند. این روش از جمله روش های نسبتاً جدیدی است که در سال های اخیر کارایی خوبی نسبت به روش های قدیمی تر مثل شبکه های عصبی نشان داده است. از الگوریتم آموزش دیده توسط ماشین های بردار پشتیبان می توان برای موارد زیر استفاده نمود:

۱- Support Vector Machine

۱- طبقه بندی برای سیستم های خطی و غیرخطی

۲- آنالیز رگرسیون برای سیستم های خطی و غیرخطی

ماشین های بردار پشتیبان در مقایسه با شبکه های عصبی مصنوعی دارای دو مزیت عمدی هستند که

همین امر موجب توجه خاص محققین به این ماشین های فرآگیر شده است:

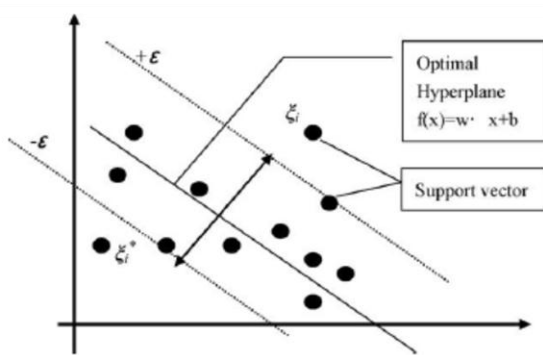
۱- قابلیت مدل سازی توسط SVM با تعداد داده های کمتر نسبت به شبکه های عصبی

۲- تئوری قوی ماشین بردار پشتیبان قابلیت تعمیم بالایی به آن داده و از قرار گرفتن آن در بهینه

محلی جلوگیری می کند [۴۰-۳۸].

### ۳-۶-۲-۲-الف- مبانی ماشین بردار رگرسیون

در ماشین بردار رگرسیون ایده اصلی بر مبنای نگاشت داده ها به فضایی با ابعاد بالاتر است و از طریق یک انتقال غیرخطی صورت می گیرد که در این فضای جدید رابطه خطی بین داده ها برقرار شده و می توان تابع رگرسیون خطی را بر روی داده ها اعمال کرد. در مسائل رگرسیون توسط SVM هدف پیدا کردن صفحه ای است که فاصله اش از تمامی نقاط داده ها، مینیمم باشد [۴۰].



نمایش ماشین بردار پشتیبان در مسائل رگرسیون

شکل (۳-۲)-نمایش ماشین بردار پشتیبان در مسائل رگرسیون [۴۰]

فرض کنیم یک مجموعه داده بصورت زیر داشته باشیم

$$G = \{(x_i, d_i)^n\} \quad (2-2)$$

که در آن  $x_i$  مقادیر ورودی ها،  $w_i$  مقادیر خروجی و  $n$  تعداد داده ها می باشد.

ماشین بردار پشتیبان تابعی به شکل زیر بر روی داده ها در نظر می گیرد.

$$y = f(x) = \sum_{i=1}^n w_i \Phi(x_i) + b \quad (3-2)$$

که در این تابع  $\{\Phi(x_i) + b\}$  مشخص کننده ورودی هاست و  $\{w_i\}'$  و  $b$  مقادیر ثابت می باشند.

ثابت های  $w$  و  $b$  با حداقل کردن تابع زیر بدست می آیند.

$$R_{SVM}(C) = C \frac{1}{n} \sum_{i=1}^n L_\varepsilon(d_i, y_i) + \frac{1}{2} \|w\|^2 \quad (4-2)$$

$$L_\varepsilon(d, y) = \begin{cases} |d - y| - \varepsilon & |d - y| \geq \varepsilon \\ \text{بقيه موارد} & \end{cases} \quad (5-2)$$

در معادله ۴-۲  $R_{SVM}$  تابع خطای منظم شده و عبارت  $C \frac{1}{n} \sum_{i=1}^n L_\varepsilon(d_i, y_i)$  خطای تجربی است که

توسط تابع اتلاف  $(L_\varepsilon(d_i, y_i))$  اندازه گیری شده و نشان می دهد که در مقادیر کمتر از  $\varepsilon$  هیچ

خطایی وجود نخواهد داشت.  $\frac{1}{2} \|w\|^2$  مشخص کننده پیچیدگی مدل می باشد.  $C$  ثابت تنظیم است و

مصالحه بین خطای تجربی و پیچیدگی مدل را برقرار می کند. افزایش مقدار  $C$  در نتیجه اهمیت

نسبی خطای تجربی است که مرتبط با افزایش عبارت تنظیم کننده است.  $\varepsilon$  اندازه لوله نامیده می

شود و بیانگر فاصله به اندازه  $\varepsilon^-$  و  $\varepsilon^+$  حول خط رگرسیون می باشد که مشخص کننده میزان

صحت داده های سری آموزشی است به طوری که داده هایی که داخل این لوله فرضی قرار بگیرند

خطا محسوب نشده و داده های خارج از این محدوده به عنوان مقادیر خطای محسوب می شوند. در

حقیقت اگر داده ای داخل این لوله قرار بگیرد تابع اتلاف معادل صفر و اگر خارج از محدوده لوله (به

شعاع  $\varepsilon$  اطراف تابع رگرسیون) قرار بگیرد تابع اتلاف متناسب با اختلاف بین موقعیت داده و شعاع  $\varepsilon$

خواهد بود.

با معرفی متغیرهای سست<sup>۱</sup> معادله ۶-۲ بصورت زیر تبدیل می شود.

$$\begin{aligned}
 MinR(w, \xi_i, \xi_i^*) &= \frac{1}{2} \|w\|^2 + C \sum_{i=1}^n (\xi_i + \xi_i^*) \\
 w\phi(x_i) + b - d_i &\leq \varepsilon + \xi_i^* \\
 d_i - w\phi(x_i) - b &\leq \varepsilon + \xi_i \\
 \xi_i, \xi_i^* &\geq 0, \\
 i &= 1, \dots, n
 \end{aligned} \tag{6-۲}$$

متغیرهای  $\xi_i, \xi_i^*$  جهت نشان دادن داده هایی است که خارج از محدوده مجاز در نظر گرفته شده در لوله فرضی حول خط تابع قرار گرفته اند. داده های بالاتر از مقادیر  $\varepsilon + \xi_i$  و داده های کمتر از  $\varepsilon - \xi_i^*$  نشان می دهد. داده های خارج از لوله  $\varepsilon$  بردار پشتیبان<sup>۲</sup> نامیده می شوند، به خاطر این که این نقاط اساس تابع رگرسیون محاسبه شده را تشکیل می دهند [۴۱].

در نهایت با معرفی دو جمله ای های لاغرانژ  $(a_i, a_i^*)$  معادله ۶-۳ بصورت زیر تبدیل می شود.

$$\begin{aligned}
 f(x, a_i, a_i^*) &= \sum (a_i - a_i^*) K(x, x_i) + b \\
 a_i a_i^* &= 0 \\
 a_i &\geq 0 \\
 a_i^* &\geq 0 \\
 i &= 1, \dots, n
 \end{aligned} \tag{7-۲}$$

و با حداقل کردن تابع ۷-۲ به فرم زیر تبدیل می شود.

---

۱- Slack

۲- Support Vectors

$$\phi(a_i, a_i^*) = \sum_{i=1}^n d_i (a_i - a_i^*) - \varepsilon \sum_{i=1}^n (a_i - a_i^*) - \frac{1}{2} \sum_{i=1}^n \sum_{j=1}^n (a_i - a_i^*)(a_j - a_j^*) K(a_i - a_i^*) \quad (8-2)$$

$$\sum_{i=1}^n (a_i - a_i^*) = 0$$

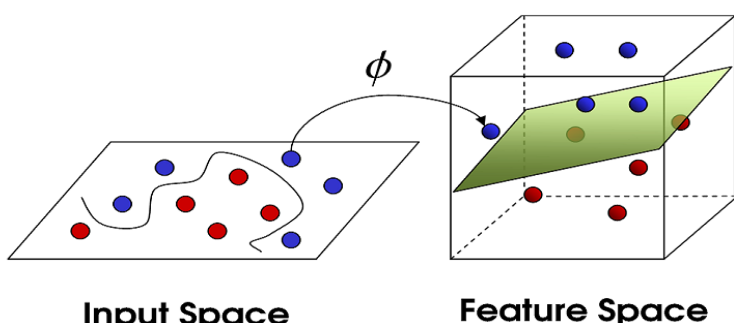
$$0 \leq a_i \leq C, i = 1, \dots, n$$

$$0 \leq a_i^* \leq C, i = 1, \dots, n$$

بر پایه شرایط کاروش - کان - تاکر<sup>۱</sup> داده هایی با مقادیر  $(a_i - a_i^*)$  غیرصفر تعداد بردارهای پشتیبان را تشکیل می دهند. در معادله ۸-۲،  $K$  تابع کرنل است که تعریف آن به این شکل است.

$$K(x, x_i) = \phi(x) \cdot \phi(x_i) \quad (9-2)$$

که  $x$  و  $x_i$  بردار مقادیر ورودی را تشکیل می دهند،  $\phi(x), \phi(x_i)$  مقادیر نگاشت شده این ورودی - ها در فضای جدید با ابعاد بالاتر است. ظرفات استفاده از تابع کرنل در این است که ما با فضای ویژگی ها در بعد دلخواه خود سروکار داریم و بدون محاسبه  $\phi(x)$  عمل رگرسیون را انجام می دهیم. در ماشین بردار پشتیبان این تابع کرنل است که با نگاشت داده ها به یک فضای ابعاد بالاتر باعث می شود تا یک رابطه خطی بین داده ها برقرار شده و سپس رگرسیون خطی بین آنها اعمال شود. پس در حقیقت ماشین بردار پشتیبان بر پایه الگوریتم خطی بنا نهاده شده که تابع کرنل نقش انتقال داده های غیرخطی به فضای خطی را در آن اعمال می کند [۴۱].



شکل (۴-۲)- انتقال داده ها به فضایی با ابعاد بالاتر توسط تابع کرنل [۴۱]

<sup>۱</sup>- Karush – Kuhn-Tucker (kkt)

### ۲-۲-۳-ب- انواع توابع کرنل [۴۱].

توابع کرنل زیادی می‌توانند مورد استفاده قرار بگیرند که استفاده از نوع تابع کرنل در هر مجموعه داده بستگی به طبیعت داده‌ها و نوع روابط حاکم بین آنها دارد. انواع توابع کرنل مورد استفاده:

- تابع چند جمله‌ای:

نگاشت چندجمله‌ای<sup>۱</sup> یک روش معروف جهت مدلسازی غیرخطی است.

$$K(x, x') = \langle x, x' \rangle^d \quad (10-2)$$

$$K(x, x') = (\langle x, x' \rangle + 1)^d \quad (11-2)$$

d درجه تابع چند جمله‌ای است و می‌تواند مقادیر بین ۱ تا ۶ را بپذیرد. البته ذکر این نکته هم ضروری است که تابع چند جمله‌ای درجه ۱ همان تابع کرنل خطی است که فقط مقدار بایاس آن متفاوت می‌باشد و هر چه درجه تابع چند جمله‌ای افزایش یابد پیچیدگی روابط بین داده‌ها بیشتر خواهد بود.

- تابع خطی:

این تابع بصورت زیر تعریف می‌شود.

$$K(x, y) = \langle x, y \rangle + \theta \quad (12-2)$$

که عبارت  $\theta$  مقداری بایاس می‌باشد. هنگامی که بین داده‌ها ارتباط خطی برقرار باشد می‌توان از این تابع استفاده کرد.

---

<sup>۱</sup>- Polynomial

- تابع پایه شعاعی گوسین<sup>۱</sup> :

$$K(x, x') = \exp\left(-\frac{\|x - x'\|^2}{2\delta^2}\right) \quad (13-2)$$

پارامتر  $\delta$  یک پارامتر قابل تنظیم است و بیانگر عرض تابع می باشد به طوری که هر چه عرض تابع بیشتر شود به سمت روابط خطی سوق پیدا می کند.

- تابع پایه شعاعی نمائی<sup>۲</sup> :

تابع تابع پایه شعاعی نمائی یک راه حل مرحله ای برای موقعی است که ناپیوستگی ها مورد قبول باشد و بصورت زیر تعریف می گردد:

$$K(x, x') = \exp\left(-\frac{\|x - x'\|}{2\delta^2}\right) \quad (14-2)$$

$\delta$  ، یک پارامتر قابل تنظیم است و بیانگر عرض تابع می باشد.

- تابع پرسپترون چند لایه ای<sup>۳</sup> :

تابع پرسپترون چند لایه ای بصورت زیر تعریف می شود:

$$K(x, x') = \tanh(\vartheta < x \cdot x' > + r) \quad (15-2)$$

که پارامترهای  $\vartheta$  و  $r$  ، قابل تنظیم می باشند.

- تابع سری فوریه<sup>۴</sup> :

این تابع در بازه  $[-\pi/2, \pi/2]$  تعریف شده است و بصورت زیر معرفی می گردد:

۱- Gaussian Radial Basis Function

۲- Exponential Radial Basis Function

۳- Multi – Layer Preceptron Function

۴- Series Series Function

$$K(x, x') = \frac{\sin(N + \frac{1}{2})(x - x')}{\sin(\frac{1}{2}(x - x'))} \quad (16-2)$$

انتخاب این تابع به عنوان تابع کرنل مورد استفاده در مدلسازی به علت ضعف آن در تنظیم پارامترهایش، رضایت بخش نمی باشد.

#### - تابع Bsplines :

Bsplines در بازه  $[1 \text{ و } -1]$  تعریف می شود که دارای فرم زیر می باشد:

$$K(x, x') = B_{2N+1}(x - x') \quad (17-2)$$

### ۲-۲-۳-۶-ج-آموزش ماشین بردار رگرسیون

نوع تابع کرنل و همچنین پارامترهای  $C$  و  $\epsilon$  که قبلاً به آنها اشاره شد باید به دقت توسط کاربر، بهینه و انتخاب شوند چون کارایی تعمیم پذیری ماشین بردار رگرسیون تا حد زیادی بستگی به انتخاب مناسب این سه پارامتر دارد [۴۸]. همان طور که قبلاً هم اشاره شد تابع اتصال، لوله ای به شعاع  $\epsilon$  اطراف تابع رگرسیون لحاظ کرده و در نهایت تعداد بردارهای پشتیبان برای ساختن تابع رگرسیون انتخاب می شود. مقدار خیلی زیاد  $\epsilon$  منجر به تعداد بردار پشتیبان کمتری می شود (تعداد داده های بیشتری در داخل لوله  $\epsilon$  قرار می گیرد) و در نتیجه منجر به تابع رگرسیونی با پیچیدگی کمتر می شود. پارامتر بعدی که باید بهینه شود  $C$  است که پارامتر ظرفیت یا تنظیم کننده نام دارد. توانمندی مدل رگرسیون به انتخاب صحیح مقدار  $C$  نیز بستگی دارد چون مقدار زیاد  $(a_i - a_i^*)$  متراff با مقدار  $C$  است. این بدان معنی است که انتخاب مقدار  $C$  متأثر از اهمیت هر یک از داده ها در سری آموزشی است. بطور مثال از یک طرف، مقدار زیاد  $C$  منجر به اختلاف زیاد بین مقدار  $(a_i - a_i^*)$  در بردارهای پشتیبان خواهد شد. در این مورد بردارهای پشتیبان با مقدار بالای  $C$  در مدل رگرسیون ایجاد شده تعیین کننده خواهند بود. از طرف دیگر، مقدار کم  $C$  می تواند منجر به

اختلاف کمی در بردارهای پشتیبان شده یا حتی مقدار  $(a_i^* - a_i)$  یکسان شود. در این مورد داده های انتخاب شده به عنوان بردارهای پشتیبان در تابع رگرسیون توزیع یکسانی خواهند داشت [۲۹]. انتخاب صحیح و مناسب پارامترهای C و  $\epsilon$  می تواند از بروز برازش بیشینه جلوگیری کند. بنابراین جهت دستیابی به یک مدل ماشین بردار پشتیبان قدرتمند با قابلیت پیش بینی خوب نیاز است که تابع کرنل مناسب به همراه پارامترهای قابل تنظیم مربوط به آن و همچنین پارامترهای C و  $\epsilon$  به درستی بهینه شوند [۴۰].

## ۲-۲-۷- ارزیابی قدرت پیش بینی مدل

## ۲-۷-۱- با استفاده از پارامترهای آماری

برای اطمینان از این که مدل بدست آمده توانایی پیش بینی نمونه های مختلفی از یک جمعیت را داراست، باید مدل را ارزیابی کرد. این ارزیابی با محاسبه پارامترهای آماری صورت می گیرد. رابطه ریاضی پارامترهای آماری استفاده شده در این پایان نامه، در ادامه توضیح خواهد داده شد.

ضریب تعیین: به عنوان یک شاخص برای بیان دقیق خود رگرسیون برآورده شده، به کار می‌رود و نشان‌دهنده‌ی نسبت تغییرات متغیر وابسته توضیح داده شده توسط متغیر مستقل است. به عنوان مثال  $R^2$  برابر با  $0.9243$  نشان می‌دهد که  $92/43$  درصد تغییرات در متغیر وابسته می‌تواند توسط متغیر مستقل توضیح داده شود. رابطه‌ی ریاضی مربوط به ضریب تعیین به صورت زیر است:

$$R^2 = \frac{SSR}{SST} = 1 - \frac{SSE}{SST} \quad (18-2)$$

که  $SSR$ <sup>۱</sup> طبق رابطه‌ی (۲-۱۹)، بیانگر مجموع مربعات انحراف مقادیر پیش‌بینی شده‌ی متغیر وابسته از میانگین مقادیر آن است:

$$SSR = \sum_{i=1}^n (\hat{y}_i - \bar{y})^2 \quad (19-2)$$

## 1 - Sum of Square Regression

طبق این رابطه<sup>۱</sup> (۲۰-۲) نشانگر مجموع مربعات انحراف مقادیر واقعی متغیر وابسته از میانگین مقادیر آن است:

$$SST = \sum_{i=1}^n (y_i - \bar{y})^2 \quad (20-2)$$

که در این روابط،  $\bar{y}$  مقدار پیش بینی شده متغیر وابسته،  $y_i$  مقدار واقعی متغیر وابسته و  $\bar{y}$  در هر رابطه، میانگین مقادیر متغیر وابسته است. همچنین  $SSE$ <sup>۲</sup> نیز مبین مجموع مربعات انحراف مقادیر واقعی متغیر وابسته از مقادیر پیش بینی شده برای آن است:

$$SSE = \sum_{i=1}^n (y_i - \hat{y}_i)^2 \quad (21-2)$$

بنابراین با توجه به روابط صفحه قبل می توان نوشت:

$$R^2 = 1 - \frac{\sum_{i=1}^n (y_i - \hat{y}_i)^2}{\sum_{i=1}^n (y_i - \bar{y})^2} \quad (22-2)$$

طبق رابطه<sup>۲</sup> (۲۲-۲)، اگر تمام مشاهدات بر روی خط برازش شده قرار گرفته باشند، یعنی به ازای تمام نقاط  $y_i = \hat{y}_i$  باشد، مقدار  $R^2$  برابر یک شده و هر گونه انحرافی از این حالت باعث می شود که مقدار  $R^2$  از یک کوچکتر شود.

میانگین مربع خطاهای<sup>۳</sup> (MSE): آماره MSE از رابطه<sup>۴</sup> (۲۳-۲) به دست می آید:

$$MSE = \frac{\sum_{i=1}^n (y_i - \hat{y}_i)^2}{n} \quad (23-2)$$

مجموع مربع باقیماندها<sup>۵</sup> (PRESS) :

$$PRESS = \sum_{i=1}^n (y_i - \hat{y}_i)^2 \quad (24-2)$$

خطای مطلق میانگین<sup>۶</sup> (MAE) :

$$MAE = \frac{\sum_{i=1}^n |y_i - \hat{y}_i|}{n} \quad (25-2)$$

متosط درصد انحراف مطلق<sup>۷</sup> (AAD) :

۱- Sum of Square Total

۲- Sum of Square Error

۳- Mean Square Error

۴- Predictive Residual Sum of Square

۵- Mean Absolute Error

$$AAD = \frac{\sum_{i=1}^n \left| \frac{y_i - \hat{y}_i}{y_i} \right|}{n} \times 100 \quad (26-2)$$

خطای استاندارد پیش بینی<sup>۲</sup> : (SEP)

$$SEP = \sqrt{\frac{\sum_{i=1}^n (y_i - \hat{y}_i)^2}{n}} \quad (27-2)$$

#### ۲-۷-۲-۲- با استفاده از نمودار برگشتی

در این نمودار مقادیر پیش بینی شده‌ی کمیت مورد نظر بر حسب مقادیر تجربی رسم می‌شود و به کمک ضریب تعیین ( $R^2$ ) به دست آمده از نمودار، پراکندگی نقاط اطراف خط برگشت تعیین می‌شود. محدوده‌ی تغییرات بین صفر و یک است. اگر  $R^2 = 1$  باشد، همبستگی کاملی بین دادها وجود دارد و نتایج پیش بینی شده به واقعیت نزدیک ترند. اما اگر  $R^2 = 0$  باشد، بین داده‌ها هیچ گونه همبستگی وجود ندارد.

#### ۲-۷-۲-۳- با استفاده از نمودار خطای باقیمانده

منظور از عبارت خطای باقیمانده، اختلاف بین مقادیر پیش بینی شده و مقادیر تجربی است. اگر پراکندگی مقادیر در دو طرف نمودار صفر باشد، این امر نشان‌دهنده‌ی تصادفی بودن خطاهاست. ولی اگر عمدۀی نقاط، در این نمودار، در یک طرف صفر باشد، این بدان معناست که خطای جهت داری رخ داده است.

#### ۲-۷-۲-۴- با استفاده از آزمون Z-تصادفی

این تکنیک برای مطالعه همبستگی‌های تصادفی مدل غیر خطی طراحی شده است. در این آزمون،

۱- Absolute Average Percent Deviation  
۲- Standard Error of Prediction

مقدادر تجربی(که در اینجا بردار  $Y$  نامیده می‌شود) به صورت تصادفی در محدوده همان مقدادر، تغییر داده شده و سپس همبستگی متغیرهای مستقل با متغیرهای وابسته با استفاده از یکی از شاخصهای آماری که معمولاً  $R^2$  است، مورد بررسی قرار می‌گیرد. اختلاف زیاد بین شاخص آماری به دست آمده از این روش با شاخص آماری به دست آمده از مدل اصلی، نشاندهندهی عدم وجود همبستگی تصادفی می‌باشد. به طور معمول این فرایند چندین بار انجام می‌شود.

#### ۲-۵-۷-۲- با استفاده از ارزیابی متقطع یا اعتبار سنجدی تقاطعی

raig ترین تکنیک اعتبار سنجدی است که در آن در هر بار یکی یا یک گروه کوچک از داده‌ها کنار گذاشته شده و سپس برای داده‌های باقیمانده، مدلی بدست می‌آید. بعد از آن پاسخ برای داده‌های کنار گذاشته شده از روی این مدل پیش‌بینی می‌شود. این روش‌ها به ترتیب به نام‌های رد تک تک داده‌ها<sup>۱</sup> و رد گروهی از داده‌ها<sup>۲</sup> نامیده می‌شوند.

#### ۲-۸-۲- نرم افزارهای مورد استفاده در این پژوهش

در این بخش بطور مختصر بسته نرم افزارهایی که در این پژوهه مورد استفاده قرار گرفته اند شرح داده می‌شود.

#### ۲-۲-۸-۱- بسته نرم افزار HyperChem

به کمک این نرم افزار ابتدا شکل سه بعدی مولکولها بطور تقریبی رسم می‌گردد سپس ساختار مولکول را می‌توان به روش‌های مختلف بهینه کرد. این نرم افزار اطلاعات فراوانی نظریز وایای پیوندی، زوایای پیچشی و ... را در اختیار می‌گذارد. سپس این اطلاعات بعنوان ورودی نرم افزار

۱- Leave one out (LOO)

۲- Leave group out (LGO)

Dragon و سایر نرم افزارها [۴۲] مورد استفاده قرار می گیرند. نسخه های جدیدتر این نرم افزار علاوه بر شبیه سازی طیف ارتعاشی و الکترونی مولکول ها قادر به انجام بسیاری از محاسبات پیچیده الکترونی مربوط به آن نیز می باشند. این محاسبات منجر به تولید اطلاعاتی راجع به ساختمان هندسی مولکول، ساختار بهینه شده مولکول، گشتاور دو قطبی، انرژی سطوح تراز انرژی مولکولی، جمعیت الکترونی اوربیتالهای اتمی، بار روی اتم ها و بسیاری از اطلاعات دیگر می شود.

## Dragon - بسته نرم افزاری ۲-۸-۲

نرم افزار Dragon توسط گروه تحقیقاتی QSAR و کمومتریکس دانشگاه میلان<sup>۱</sup> ارائه شد و محاسبه بیش از ۱۴۰۰ توصیف کننده شامل بیش از هجده دسته از توصیف کننده های مولکولی را امکان پذیر می کند [۴۳]. این نرم افزار با استفاده از یک فایل ورودی که می تواند فایل (\*.hin) باشد، یک سری از توصیف کننده های مولکولی که محاسبه آنها مربوط به نرم افزار HyperChem باشد، مشکل و وقت گیر است را محاسبه می کند. لازم به ذکر است که این نرم افزار، ساختار هندسی بهینه مولکولها را جهت محاسبه توصیف کننده ها مورد استفاده قرار می دهد.

## SPSS<sup>۲</sup> - بسته نرم افزاری آماری ۲-۸-۳

این بسته نرم افزاری [۴۴] به عنوان عمومی ترین نرم افزار آماری است که توانایی تجزیه و تحلیل کلی اطلاعات را دارا می باشد. نخستین بار در سال ۱۹۷۰ توسط جمعی از فارغ التحصیلان دانشگاه استانفورد<sup>۳</sup> امریکا ارائه شد و شامل یک برنامه اصلی و تعدادی زیر برنامه فرعی به زبان فرتون<sup>۴</sup> می باشد [۴۵]. این نرم افزار از قابلیت های فراوانی برخودار است بعنوان نمونه همان طور که در بخش های قبل ذکر شد یک دسته از توصیفگر ها که با هم همبستگی دارند باید حذف شوند برای این کار

۱- Millan

۲- Statistical Package for the Social Sciences

۳- Stanford

۴- Fortran

این نرم افزار ماتریس مربع همبستگی را که حاوی اطلاعات راجع به میزان همبستگی بین این متغیرهاست، می سازد و این هدف را عملی می سازد. مهمتر از این ویژگی، کاربرد این نرم افزار برای بدست آوردن بهترین مدل و ارزیابی مدل می باشد. لازم به ذکر است که این نرم افزار قابلیت انجام عملیات محاسباتی مختلف مثل رگرسیون چند متغیره، آنالیز تابع تشخیص، فاکتور آنالیز<sup>۱</sup> و آنالیز مولفه های اصلی را نیز دارد [۴۶].

#### ۲-۲-۴- بسته نرم افزاری MATLAB

MATLAB نرم افزاری با کاربرد فوق العاده برای عملیات محاسباتی است، که امکانات متعدد محاسباتی، نمایشی و برنامه نویسی را در محیطی که استفاده از آن برای کاربر آسان است، فراهم می کند. در این محیط برای مسائل و پاسخ ها از علائم و نمادهای آشنای ریاضی استفاده شده است. کاربردهای نوعی از این زبان عبارتند از:

(۱) ریاضیات و محاسبات

(۲) محاسبات علمی پیشرفته

(۳) داده پایی

(۴) مدلسازی، شبیه سازی، نمونه سازی اولیه

(۵) آنالیز کردن اطلاعات، شناسایی و تجسم بخشیدن

(۶) نمودارهای علمی و مهندسی

(۷) کاربردهای پیشرفته، نظری ایجاد مدل های گرافیکی به دلخواه کاربر

MATLAB یک سیستم محاوره ای است که عنصر اساسی اطلاعات در آن رشته ای است که نیاز به تعریف ابعاد ندارد. این امر به ما اجازه می دهد بسیاری از مسائل و تکنیک های محاسباتی،

---

۵- Factor analysis

بخصوص آن هایی که با فرمول های برداری و ماتریسی سر و کار دارند را بسیار سریعتر از آن چه در زبان های غیر محاوره ای نظیر C و فورترن مقدور است، در کسر کوچکی از زمان حل کند. نام MATLAB از کتابخانه عملیات ماتریسی (Matrix laboratory) گرفته شده است. در محیط های دانشگاهی، به ابزار پایه و استانداردی برای درس‌های مقدماتی و پیشرفته در زمینه های ریاضی، مهندسی و علوم تبدیل شده است و در صنعت، به عنوان ابزاری برای جستجوهای تحقیقاتی با قابلیت های بالای آنالیز و توسعه، شناخته شده است. از خصوصیات بر جسته MATLAB دارا بودن خانواده ای وسیع از پاسخ های دارای کاربری های خاص علمی است که با نام جعبه ابزار<sup>۱</sup> از آنها یاد می شود. برای بسیاری از کاربران MATLAB، جعبه ابزارها امکان یادگیری و به کاربردن تکنولوژی های خاص را فراهم کرده است. جعبه ابزارها، مجموعه ای جامع از توابع MATLAB (M فایلها) هستند که محیط MATLAB را برای کاربرد در حل کلاس‌های خاصی از مسائل توسعه می دهند [۴۷].

---

<sup>۱</sup>- Toolbox

## فصل سوم

مطالعه ارتباط کمی ساختار – فعالیت مشتقات  
هموپیرازین، دی آمین، ۳-آمینوپیروولیدین با  
استفاده روش های خطی و غیر خطی

### ۱-۳- مدل سازی فعالیت دارویی مشتقات هموپیپرازین، دی آمین و ۳-آمینو پیرولیدین به عنوان باز دارنده های CCR2

به منظور مطالعه ارتباط کمی ساختار- فعالیت از رگرسیون خطی چندگانه، شبکه عصبی مصنوعی و ماشین بردار پشیبان به عنوان روش های مدل سازی برای پیش بینی فعالیت های مشتقات هموپیپرازین، دی آمین و ۳-آمینو پیرولیدین استفاده شد. همچنین از روش رگرسیون مرحله‌ای و الگوریتم ژنتیک برای انتخاب متغیر استفاده گردید و سپس توانایی مدل های به دست آمده از هر سه روش در پیش بینی قدرت بازدارندگی این مشتقات مورد ارزیابی قرار گرفت. به طور کلی بخش تجربی این تحقیق شامل سری داده ها، رسم و بهینه سازی ساختار مولکول ها، محاسبه توصیفگرهای مولکولی مناسب، مدل سازی و ارزیابی مدل برتر است.

#### ۱-۱-۳- انتخاب سری داده ها

سری داده ها شامل فعالیت دارویی  $10^3$  ترکیب از مشتقات هموپیپرازین، دی آمین و ۳-آمینو پیرولیدین به عنوان بازدارنده برای درمان التهاب مفاصل یا همان روماتیسم توسط روش های کمومتریکس مورد بررسی قرار گرفت (جدول ۱-۳-۶). قدرت بازدارندگی این ترکیبات به صورت  $IC_{50}$  گزارش شده است.  $IC_{50}$  عبارتست از مینیمم غلظتی از ترکیب دارویی که باعث  $50\%$  اثر بازدارندگی بر روی بیماری می شود. این مقادیر به مقیاس لگاریتمی ( $pIC_{50}$ ) تبدیل و مورد استفاده قرار گرفت.

#### ۲-۱-۳- رسم و بهینه سازی ساختار مولکول ها

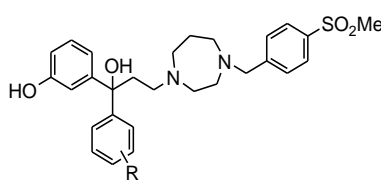
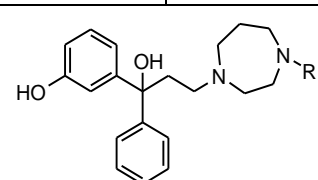
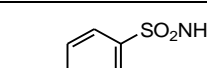
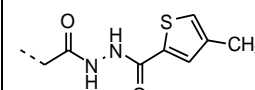
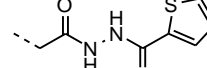
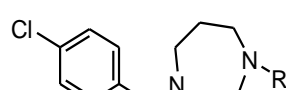
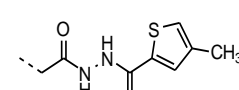
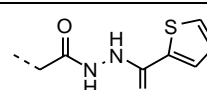
در این مرحله از مطالعه، ساختار مولکولی هر ترکیب ابتدا در نرم افزار HyperChem07 ترسیم شد. سپس با احتساب اتم های هیدروژن، ساختار سه بعدی ترکیبات با استفاده از روش های نیمه تجربی کوانتمی AM1 بهینه گردید و این بهینه سازی تا زمانی ادامه یافت که جذر میانگین مربعات گرادیان انرژی به  $1000$  کیلوکالری بر مول برسد. با استفاده از این نرم افزار می توان اطلاعات فراوانی

نظیر زوایای پیوندی، طول پیوندها، زوایای پیچش، بار اتم ها، انرژی تشکیل مولکول و... را بدست آورد.

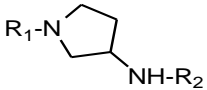
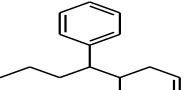
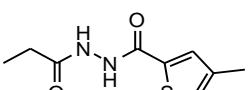
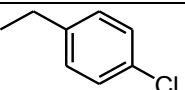
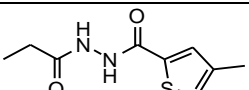
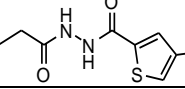
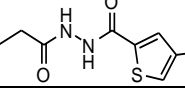
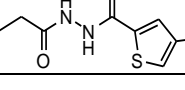
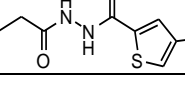
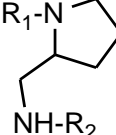
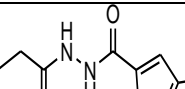
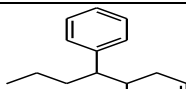
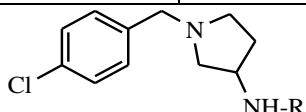
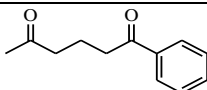
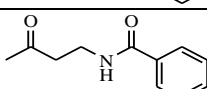
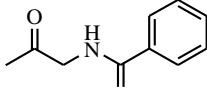
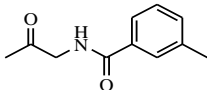
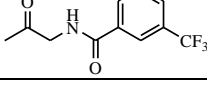
جدول (۱-۳)- ساختار ترکیبات مورد استفاده و مقدار  $pIC_{50}$  آنها

| No. | $R_1$                | $R_2$ | $pIC_{50}$ |
|-----|----------------------|-------|------------|
|     |                      |       |            |
| ۱   |                      | -     | ۴/۹۶       |
| ۲   |                      | -     | ۴/۷۲       |
| ۳   |                      | -     | ۴/۸۹       |
| ۴   |                      | -     | ۴/۳۷       |
|     |                      |       |            |
| ۵   | H                    | -     | ۵/۳۹       |
| ۶   | 4-NMe <sub>2</sub>   | -     | ۴/۳۵       |
| ۷   | 4-OH                 | -     | ۴/۶۸       |
| ۸   | 3-OH                 | -     | ۵/۸۲       |
| ۹   | 4-F                  | -     | ۵/۱۵       |
| ۱۰  | 3-F                  | -     | ۴/۴۷       |
| ۱۱  | 4-Cl                 | -     | ۴/۹۶       |
|     |                      |       |            |
| ۱۲  | 3-OH                 | -     | ۶/۱۵       |
| ۱۳  | 3-CH <sub>2</sub> OH | -     | ۵/۴۰       |
| ۱۴  | 3-NH <sub>2</sub>    | -     | ۵/۳۸       |
| ۱۵  | 3-NHMe               | -     | ۵/۳۰       |
| ۱۶  | 3-OMe                | -     | ۵/۱۰       |
| ۱۷  | 3-F                  | -     | ۵/۹۲       |
| ۱۸  | 3-Me                 | -     | ۴/۸۰       |

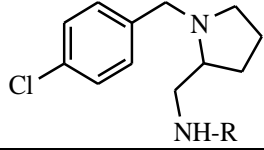
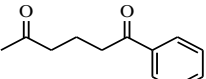
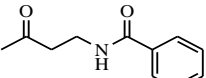
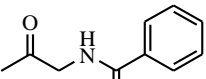
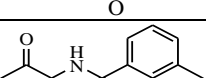
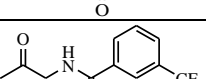
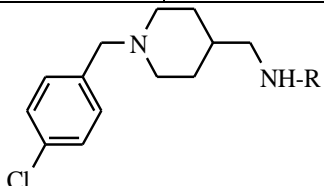
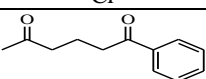
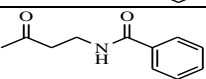
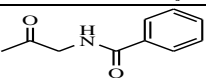
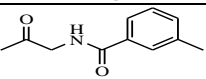
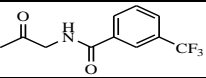
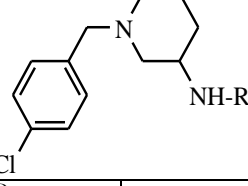
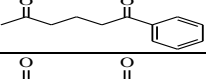
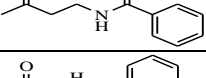
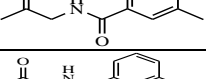
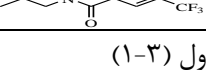
ادامه جدول (۱-۳)

| No. | R <sub>1</sub>  | R <sub>2</sub> | pIC <sub>50</sub> |
|-----|---|----------------|-------------------|
|     |   |                |                   |
| 19  | 3-F   | -              | Δ/62              |
| 20  | 3-Cl  | -              | Δ/35              |
| 21  | 4-F   | -              | Δ/82              |
| 22  | 4-Cl  | -              | Δ/82              |
| 23  | 3,5-DiF   | -              | Δ/0.3             |
|     |    |                |                   |
| 24  |    | -              | Δ/82              |
| 25  |  | -              | Δ/19              |
| 26  |  | -              | Δ/ΔΔ              |
|     |  |                |                   |
| 27  |  | -              | Δ/13              |
| 28  |  | -              | Δ/Δ2              |

ادامه جدول (۱-۳)

| No.   | R <sub>1</sub>  | R <sub>2</sub>  | pIC <sub>50</sub> |
|---|---|---|-------------------|
|    |   |   |                   |
| ۲۹  |    |   | ۴/۶۴              |
| ۳۰  |    |   | ۴/۳۹              |
| ۳۱  |    |    | ۴/۷۷              |
| ۳۲  |    |    | ۵/۱۱              |
|    |   |   |                   |
| ۳۳  |   |  | ۴/۵۹              |
|  |   |   |                   |
| ۳۴  |  | -   | ۴/۹۶              |
| ۳۵  |  | -   | ۴/۶۶              |
| ۳۶  |  | -   | ۴/۳۸              |
| ۳۷  |  | -   | ۵/۱۶              |
| ۳۸  |  | -   | ۶/۴۳              |

ادامه جدول (۱-۳)

| No. | R <sub>1</sub>  | R <sub>2</sub> | pIC <sub>50</sub> |
|-----|---|----------------|-------------------|
|     |    | NH-R           |                   |
| ٤٩  |    | -              | ٤/٧٢              |
| ٤٠  |    | -              | ٤/٤٠              |
| ٤١  |    | -              | ٤/١٨              |
| ٤٢  |    | -              | ٤/٨٤              |
| ٤٣  |    | -              | ٥/٦٤              |
|     |   | NH-R           |                   |
| ٤٤  |  | -              | ٤/٣٠              |
| ٤٥  |  | -              | ٤/١٩              |
| ٤٦  |  | -              | ٤/٩٦              |
| ٤٧  |  | -              | ٥/٢٦              |
| ٤٨  |  | -              | ٦/١٥              |
|     |  | NH-R           |                   |
| ٤٩  |  | -              | ٤/٠٦              |
| ٥٠  |  | -              | ٤/١٣              |
| ٥١  |  | -              | ٤/٧٧              |
| ٥٢  |  | -              | ٦/١٨              |

ادامه جدول (١-٣)

| No. | R <sub>1</sub>                         | R <sub>2</sub> | pIC <sub>50</sub> |
|-----|--|----------------|-------------------|
|     |  |                |                   |
| 53  | H                                      | -              | 6/16              |
| 54  | 2-Cl                                   | -              | 6/20              |
| 55  | 2-CH <sub>3</sub>                      | -              | 6/02              |
| 56  | 2-OCH <sub>3</sub>                     | -              | 5/87              |
| 57  | 3-CH <sub>3</sub>                      | -              | 5/51              |
| 58  | 3-OCH <sub>3</sub>                     | -              | 5/50              |
| 59  | 4-Cl                                   | -              | 6/74              |
| 60  | 4-CH <sub>3</sub>                      | -              | 6/94              |
| 61  | 4-OCH <sub>3</sub>                     | -              | 6/94              |
| 62  | 4-Et                                   | -              | 7/23              |
| 63  | 4-Br                                   | -              | 6/78              |
| 64  | 4-Vinyl                                | -              | 6/92              |
| 65  | 4-CH <sub>3</sub> S                    | -              | 6/69              |
| 66  | 4-OH                                   | -              | 6/65              |
| 67  | 4-NHAc                                 | -              | 6/52              |
| 68  | 4-OCF <sub>3</sub>                     | -              | 6/21              |
| 69  | 4-F                                    | -              | 6/02              |
| 70  | 4-NO <sub>2</sub>                      | -              | 6/81              |
| 71  | 4-CN                                   | -              | 5/58              |
| 72  | 2,4-(CH <sub>3</sub> ) <sub>2</sub>    | -              | 7/27              |
| 73  | 2,4-Cl <sub>2</sub>                    | -              | 6/52              |
| 74  | 4-OH, 3-OCH <sub>3</sub>               | -              | 6/82              |
| 75  | 2-Naphthyl                             | -              | 6/12              |
|     |  |                |                   |
| 76  | 3-CH <sub>3</sub>                      | -              | 5/62              |
| 77  | 3-Cl                                   | -              | 5/62              |
| 78  | 4-CH <sub>3</sub>                      | -              | 5/00              |
| 79  | 3-F                                    | -              | 5/36              |
| 80  | 3-Br                                   | -              | 6/11              |
| 81  | 3-OCF <sub>3</sub>                     | -              | 6/31              |
| 82  | 3-NO <sub>2</sub>                      | -              | 6/08              |
| 83  | 2-NH <sub>2</sub> , 5-NO <sub>2</sub>  | -              | 6/68              |
| 84  | 2-NH <sub>2</sub> , 5-Cl               | -              | 6/14              |
| 85  | 2-NH <sub>2</sub> , 5-Br               | -              | 6/19              |
| 86  | 2-NH <sub>2</sub> , 5-I                | -              | 6/51              |
| 87  | 2-NH <sub>2</sub> , 5-OCF <sub>3</sub> | -              | 7/06              |
| 88  | 2-NH <sub>2</sub> , 5-CF               | -              | 7/09              |

ادامه جدول (۱-۳)

| No. | R <sub>1</sub> | R <sub>2</sub> | pIC <sub>50</sub> |
|-----|----------------|----------------|-------------------|
|-----|----------------|----------------|-------------------|

| ۸۹  | 4-Cl                                   | - | ۷/۵۹ |
|-----|--|---|------|
| ۹۰  | 4-Br                                   | - | ۶/۹۴ |
| ۹۱  | 4-CH <sub>۳</sub>                      | - | ۷/۷۰ |
| ۹۲  | 4-Et                                   | - | ۷/۹۶ |
| ۹۳  | 4-Vinyl                                | - | ۷/۷۲ |
| ۹۴  | 4-OCH <sub>۳</sub>                     | - | ۷/۷۰ |
| ۹۵  | 4-OH                                   | - | ۷/۳۸ |
| ۹۶  | 4-Cl, 3-NH <sub>۲</sub>                | - | ۸/۳۹ |
| ۹۷  | 4-CH <sub>۳</sub> , 3-NH <sub>۲</sub>  | - | ۸/۲۱ |
| ۹۸  | 4-OCH <sub>۳</sub> , 3-NH <sub>۲</sub> | - | ۸/۲۸ |
| ۹۹  | 4-OH, 3-NH <sub>۲</sub>                | - | ۷/۸۵ |
| ۱۰۰ | 4-OCH <sub>۳</sub> , 3-OH              | - | ۷/۲۸ |
| ۱۰۱ | 4-OH, 3-OCH <sub>۳</sub>               | - | ۷/۴۱ |
| ۱۰۲ | 2,4-(CH <sub>۳</sub> ) <sub>۲</sub>    | - | ۸/۴۹ |
| ۱۰۳ | 2,4-Cl <sub>۲</sub>                    | - | ۷/۰۲ |

### ۳-۱-۳- محاسبه توصیفگر ها

تعداد ۱۴۸۱ توصیفگر به وسیله نرم افزار Dragon محاسبه شدند. این نرم افزار برای محاسبه هیجده دسته از توصیفگرهای مولکولی مورد استفاده قرار می‌گیرد. این نرم افزار هیچگونه بهینه سازی در ساختار را انجام نداده و می‌تواند این تعداد توصیفگر را برای مولکول‌های تا ۱۵۰ اتم محاسبه نماید. به این منظور خروجی نرم افزار HyperChem برای هر ترکیب به برنامه Dragon منتقل و توصیفگرها محاسبه شدند. به این ترتیب تعداد ۱۴۸۱ توصیفگر مولکولی برای هر ترکیب محاسبه شد. نام گروه‌های توصیفگر قابل محاسبه توسط نرم افزار Dragon بطور کامل در جدول (۲-۳) آمده است.

جدول (۲-۳)- فهرست گروه‌های مختلف توصیفگرهای محاسبه شده توسط نرم افزار Dragon

| ردیف | نام گروه توصیفگر                     | ردیف | نام گروه توصیفگر                         |
|------|--------------------------------------|------|--|
| ۱۰   | توصیفگرهای هندسی <sup>۱</sup>        | ۱    | توصیفگرهای زیر ساختاری <sup>۲</sup>      |
| ۱۱   | RDF <sup>۳</sup> توصیفگرهای          | ۲    | توصیفگرهای توپولوژیکی <sup>۴</sup>       |
| ۱۲   | توصیفگرهای سه بعدی مورس <sup>۵</sup> | ۳    | شمارنده های مولکولی <sup>۶</sup>         |
| ۱۳   | WHIM <sup>۷</sup> توصیفگرهای         | ۴    | توصیفگرهای BCUT <sup>۸</sup>             |
| ۱۴   | GETAWAY <sup>۹</sup> توصیفگرهای      | ۵    | شاخص بار توپولوژیکی GALVEZ <sup>۱۰</sup> |
| ۱۵   | گروه های عاملی <sup>۱۱</sup>         | ۶    | خود ارتباطی های دو بعدی                  |
| ۱۶   | اجزای میان اتمی <sup>۱۲</sup>        | ۷    | توصیفگرهای بار <sup>۱۴</sup>             |
| ۱۷   | توصیفگرهای تجربی <sup>۱۵</sup>       | ۸    | شاخص های آروماتیسیته <sup>۱۶</sup>       |
| ۱۸   | خصوصیات مولکولی <sup>۱۷</sup>        | ۹    | پروفایل های مولکولی راندیک <sup>۱۸</sup> |

۱- Geometrical Descriptors

۲- Constitutional Descriptors

۳- Radial Distribution Function Descriptors

۴- Topological Descriptors

۵- 3D MORSE Descriptors

۶- Molecular Walk Counts

۷- Weighted Holistic Invariant Molecular Descriptors

۸- Burden-CAS-University of texas eigenvalues

۹- Geometry, Topology and Atom Weights Assembly

۱۰- Topological Charge Index

۱۱- Functional Groups

۱۲- 2D Autocorrelations

۱۳- Atom-Centered Fragments

۱۴- Charge Descriptors

۱۵- Empirical Descriptors

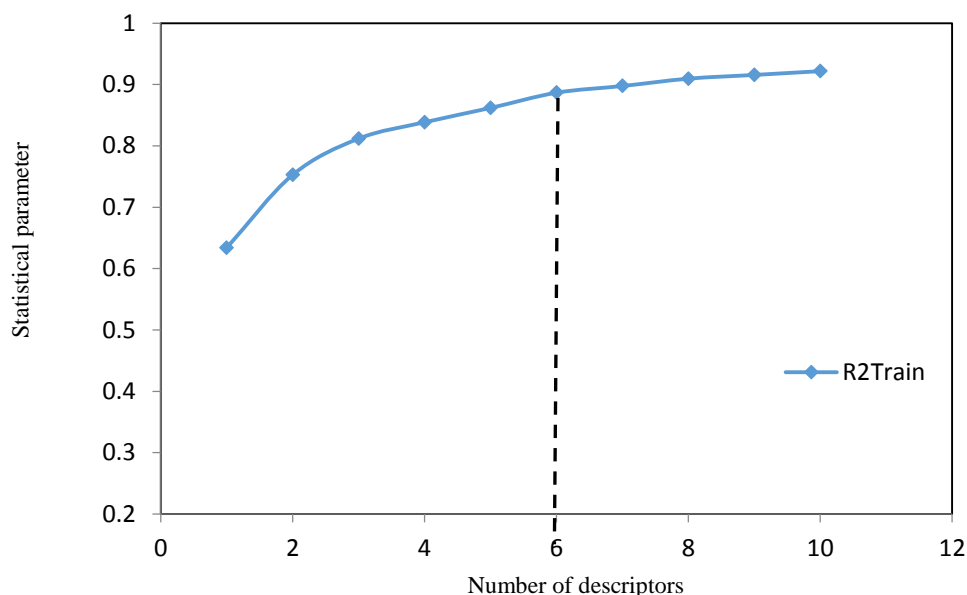
۱۶- Aromatic Indices

۱۷- Molecular Properties

۱۸- Rancid Molecular Profiles

### ۴-۱-۳- انتخاب توصیفگرهای مناسب

یکی از مهمترین مراحل در مطالعات QSAR انتخاب توصیفگرهای مناسب است که بتوانند فعالیت دارویی را به ساختار مولکول ارتباط دهن. با توجه به این موضوع و اینکه تعداد زیاد توصیفگرها باعث پیچیدگی محاسبات می شوند و همچنین تعداد زیادی از توصیفگرها حاوی اطلاعات یکسان و در نتیجه اثر یکسان بر روی فعالیت مهار کنندگی دارند، لذا باید کاهش تعداد متغیرها به کار گرفته شود. به همین منظور، ابتدا توصیفگرهایی که دارای مقادیر یکسانی برای مولکول ها بودند از فهرست توصیفگرها حذف شدند. سپس با بررسی همبستگی بین متغیرها، از میان هر دو توصیفگری که ضریب همبستگی بزرگتر از ۰/۹ داشتند، آنکه همبستگی کمتری با متغیر وابسته داشت، حذف و سپس رگرسیون مرحله به مرحله توسط نرم افزار SPSS جهت انتخاب توصیفگرهای مناسب برای مدلسازی مورد استفاده قرار گرفت. در روش رگرسیون مرحله ای، متغیرها یکی پس از دیگری وارد مدل شدند در این حالت، ابتدا متغیری وارد مدل می شود که بالاترین میزان همبستگی را با متغیر وابسته دارد. با ورود هر متغیر جدید، کلیه متغیرهای موجود در معادله بررسی شده و اگر هر کدام از آنها سطح معناداری خود را از دست بدنهند، قبل از ورود متغیر جدید از مدل خارج می شود. به این ترتیب داده های  $pIC_{50}$  به عنوان متغیر وابسته و توصیفگرها به عنوان متغیر مستقل در نظر گرفته شده و تکنیک رگرسیون مرحله ای انجام شد. همانطور که می دانیم روش رگرسیون مرحله ایی تعداد زیادی مدل ارائه می کند. که مدل اول شامل یک توصیفگر، مدل دوم شامل دو توصیفگر و .... می باشد. با افزایش تعداد توصیفگرها بالطبع مقدار  $R^2$  نیز افزایش می یابد. اما بدلیل پیچیدگی مدل، نمی توانیم تعداد زیادی توصیفگر را جهت مدلسازی انتخاب کنیم. بدین منظور و جهت انتخاب تعداد توصیفگرهای مناسب، نمودار پارامتر آماری ( $R^2_{train}$ ) بر حسب تعداد توصیفگرها رسم گردید که در شکل (۳-۱) نشان داده شده است. بر طبق این نمودار تعداد ۶ توصیفگر به عنوان توصیفگرهایی که بیشترین ارتباط را با فعالیت دارویی دارند، انتخاب شدند. این ۶ توصیفگر به همراه طبقه آنها در جدول (۳-۳) ارائه شده است.



شکل(۳-۱) نمودار پارامتر آماری ( $R^2_{\text{train}}$ ) بر حسب تعداد توصیفگرهای

جدول (۳-۳)- توصیفگرهای انتخاب شده توسط رگرسیون خطی چندگانه مرحله به مرحله

| Descriptor symbol | Type                   | meaning  | MF <sup>a</sup> |
|-------------------|------------------------|--|-----------------|
| X0A               | Topological            | Average connectivity index chi-0   | •/۷۲۱           |
| PCWTe             | Charge                 | Partial charge weighted topological electronic charge                      | •/۱۱۱           |
| Jhetp             | Topological            | Balaban-type index from polarizability weighted distance matrix            | •/۱۴۵           |
| RDF065m           | RDF                    | Radial distribution function-6.5/weighted by atomic masses                 | •/۰۲۷           |
| RDF145v           | RDF                    | Radial distribution function-14.5/weighted by atomic van der Waals volumes | -•/••۳          |
| H-052             | Atom-centred fragments | H attached to C0(sp3) with 1X attached to next C                           | -•/••۳          |

<sup>a</sup>MeanEffect

### ۳-۵-۱- ارزیابی مسقل بودن توصیفگرهای انتخاب شده

به منظور ارزیابی توصیفگرهای انتخاب شده مبنی بر مستقل بودن از همدیگر در جدول (۴-۳) ماتریس همبستگی توصیفگرهای انتخاب شده آورده شده است. همانطور که در این جدول مشاهده می‌شود ضریب همبستگی بین توصیفگرهای انتخاب شده همگی کمتر از ۰/۹ می‌باشد. لذا نتایج جدول نشان می‌دهد که بین توصیفگرهای انتخاب شده همبستگی چندانی وجود نداشته و توصیفگرها تقریباً مستقل از هم هستند.

جدول (۴-۳)- ماتریس ضرایب همبستگی توصیفگرهای انتخاب شده

|         | X0A    | PCWTe  | Jhetp  | RDF065m | RDF145v | H-052 |
|---------|--------|--------|--------|---------|---------|-------|
| X0A     | ۱      |        |        |         |         |       |
| PCWTe   | -۰/۴۲۴ | ۱      |        |         |         |       |
| Jhetp   | ۰/۰۹۳  | -۰/۷۳۳ | ۱      |         |         |       |
| RDF065m | ۰/۶۴۰  | -۰/۱۴۵ | -۰/۰۵۶ | ۱       |         |       |
| RDF145v | -۰/۱۰۷ | -۰/۲۰۱ | ۰/۲۸۴  | -۰/۳۴۷  | ۱       |       |
| H-052   | ۰/۰۱۱  | -۰/۶۲۴ | ۰/۸۰۱  | -۰/۰۰۱  | ۰/۱۳۱   | ۱     |

### ۳-۱-۶- مدل سازی توسط رگرسیون خطی چندگانه (MLR)

پس از انتخاب مناسب ترین توصیفگرها توسط روش مرحله‌ای، مرحله بعدی، ایجاد مدل میان توصیفگرهای انتخاب شده و فعالیتهای ترکیبات دارویی می‌باشد. بین توصیف کننده‌ها و فعالیتهای بازدارندگی مشتقات هموپیرازین، دی‌آمین و ۳-آمینو پیرولیدین برای سری آموزش با استفاده از روش MLR رابطه زیر به عنوان مدل خطی بدست آمد:

$$pIC_{50} = -19.2961(\pm 4.522) + 25.306 (\pm 6.984) \text{ X0A} + 0.118(\pm 0.0164) \text{ PCWTe} + 3.387 (\pm 0.835) \text{ Jhetp} + 0.036 (\pm 0.008) \text{ RDF065m} - 0.314 (\pm 0.063) \text{ RDF145v} - 0.087 (\pm 0.030) \text{ H-052}$$

سپس از معادله بدست آمده برای پیش‌بینی فعالیت سری تست استفاده گردید. مقادیر واقعی و پیش‌بینی شده فعالیت‌ها برای کلیه ترکیبات مجموعه آموزش و تست در پیوست (پ-۱) آورده شده است.

### ۳-۱-۷- مدل سازی به روش شبکه عصبی مصنوعی

با خاطر اینکه ممکن است مدل خطی بهترین مدل برای توصیف رفتار سری داده ها نباشد، شبکه عصبی مصنوعی به عنوان یکی از روش‌های مدل‌سازی غیرخطی مورد استفاده قرار گرفت. در ابتدا کل سری داده ها به صورت تصادفی و با نسبت  $60:20:20$  به سه سری آموزش، ارزیابی و تست تقسیم شدند. سپس پارامترهای موثر بر آموزش شبکه عصبی پس انتشار از قبیل تعداد ورودی ها، تعداد لایه های پنهان، تعداد گره های لایه پنهان، نوع تابع انتقال، نوع تابع آموزش، تعداد دورهای آموزش و پارامتر  $mu$  از سری ارزیابی بهینه شدند. در طی فرایند آموزش، مقادیر وزن های ارتباطی تغییر نموده و معیار ارزیابی و پارامتر مورد بررسی برای پایان دادن آموزش و بهینه شدن مقادیر وزن ها، مقدار خطای شبکه است که طبق تابع کارایی تعیین شده محاسبه می شود که در این روش، تابع کارایی، میانگین مربعات خطأ (MSE) در سری ارزیابی می باشد.

### ۳-۱-۷-۱- انتخاب تعداد لایه های پنهان

متاسفانه هیچ گونه نتایج تئوری قابل دسترس یا قوانین تجربی رضایت بخش که در تعیین تعداد لایه های پنهان به ما کمک کند، وجود ندارد با این وجود برای اغلب کاربردهای شبکه عصبی در شیمی، به نظر می رسد که یک لایه مخفی کافی باشد<sup>[۳۳]</sup>. به این ترتیب شبکه عصبی تشکیل شده، یک شبکه سه لایه شامل یک لایه ورودی، یک لایه پنهان و یک لایه خروجی است که تعداد ورودی ها (توصیفگرها) با تعداد نرون های لایه ورودی برابر بوده و لایه خروجی نیز دارای یک نرون است که نشان دهنده  $pIC_{50}$  متناظر با هر ترکیب می باشد. ولی تعداد نرون های لایه پنهان باید بهینه شوند.

### ۳-۱-۷-۲- انتخاب تعداد ورودی های شبکه، نوع تابع آموزش، تابع انتقال و تعداد نرون های

#### لایه پنهان

برای بهینه سازی تعداد ورودی های شبکه، نوع تابع آموزش، نوع تابع انتقال و تعداد گره های لایه پنهان، شبکه با ورودی های از ۲ تا ۶ توصیفگر ایجاد شد و با الگوریتم های آموزشی بایزین و لونبرگ- مارکوارت با تعداد متفاوت گره های لایه پنهان (۲ تا ۱۰) آموزش داده شد. در حالی که برای انتخاب بهترین تابع انتقال در لایه پنهان از توابع تانزانت سیگموئیدی(tansig) و لگاریتم سیگموئیدی(logsig) به عنوان تابع انتقال استفاده شد. در تمامی این شبکه ها تعداد دورهای آموزش، ثابت و برابر ۱۰۰ در نظر گرفته شد. همچنین از توابع انتقال خطی(purelin) در لایه خروجی استفاده گردید. در روند بهینه سازی پارامترهای فوق، به حداقل رساندن میانگین مربع خطاهای حاصل از بررسی سری ارزیابی به عنوان معیار انتخاب شد. نتایج بهینه سازی این پارامترها در جداول (۳-۵)، (۳-۶)، (۳-۷) گردآوری شده است.

جدول (۳-۵)- مقادیر میانگین مربعات خطای سری ارزیابی برای شبکه با الگوریتم آموزشی لونبرگ-مارکوارت و تابع انتقال لگاریتم سیگموئیدی با تعداد ورودی های مختلف و تعداد گره های متفاوت در لایه پنهان

| تعداد متغیرهای ورودی شبکه(تعداد توصیفگرها) |        |       |       |        |        |
|--|--------|-------|-------|--------|--------|
|  | ۲      | ۳     | ۴     | ۵      | ۶      |
| ۲  | ۰/۳۶۰  | ۰/۳۱۹ | ۰/۲۴۵ | ۰/۲۹۹  | ۰/۱۸۴  |
| ۳  | ۰/۶۷۲  | ۱/۶۲۴ | ۰/۳۲۸ | ۰/۱۸۲  | ۴/۷۵۰  |
| ۴  | ۰/۳۴۹  | ۰/۱۵۳ | ۰/۷۷۷ | ۱/۶۷۲  | ۰/۴۰۹  |
| ۵  | ۰/۳۵۴  | ۰/۴۵۸ | ۰/۳۷۴ | ۰/۹۵۰  | ۰/۴۸۷  |
| ۶  | ۱۰/۹۶۴ | ۰/۸۱۸ | ۰/۸۸۰ | ۰/۳۲۴  | ۴/۷۶۷  |
| ۷  | ۰/۲۱۶  | ۰/۶۲۳ | ۱/۴۲۲ | ۱۴/۲۴۴ | ۲۰/۳۱۵ |
| ۸  | ۱۲/۱۴۷ | ۰/۸۱۸ | ۷/۲۵۸ | ۱۳/۶۵۰ | ۱۶/۰۴۲ |
| ۹  | ۰/۵۸۰  | ۶/۵۲۴ | ۹/۴۵۸ | ۲۷/۹۵۴ | ۱۲/۶۱۷ |
| ۱۰   | ۰/۴۵۷  | ۱/۵۳۲ | ۱/۵۱۵ | ۱۵/۲۵۹ | ۲۶/۴۵۸ |

جدول (۶-۳)-مقادیر میانگین مربعات خطای سری ارزیابی برای شبکه با الگوریتم آموزشی لونبرگ-مارکوات وتابع  
انتقال تانزانیت سیگموئیدی با تعداد ورودی های مختلف و تعداد گره های متفاوت در لایه پنهان

| تعداد گره های پنهان | تعداد متغیرهای ورودی شبکه(تعداد توصیفگرها) |       |       |       |       |  |
|---------------------|--|-------|-------|-------|-------|--|
|                     | ۲  | ۳     | ۴     | ۵     | ۶     |  |
| ۲                   | ۰/۳۶۷                                      | ۰/۳۶۹ | ۰/۳۳۷ | ۰/۱۵۱ | ۰/۲۶۰ |  |
| ۳                   | ۰/۴۵۹                                      | ۰/۲۹۹ | ۰/۴۰۴ | ۰/۲۴۷ | ۰/۳۴۰ |  |
| ۴                   | ۰/۴۱۰                                      | ۰/۳۴۵ | ۰/۷۴۰ | ۰/۳۵۰ | ۰/۷۰۶ |  |
| ۵                   | ۰/۵۳۵                                      | ۰/۹۷۹ | ۱/۸۱۱ | ۲/۵۸۷ | ۰/۳۴۵ |  |
| ۶                   | ۰/۴۵۶                                      | ۱/۴۱۴ | ۲/۵۸۷ | ۱/۶۷۵ | ۱/۱۱۷ |  |
| ۷                   | ۰/۴۷۵                                      | ۳/۲۵۴ | ۰/۸۱۹ | ۲/۸۸۶ | ۱/۸۹۸ |  |
| ۸                   | ۰/۶۹۱                                      | ۰/۸۰۹ | ۰/۴۵۹ | ۰/۰۹۹ | ۱/۶۶۷ |  |
| ۹                   | ۱/۸۴۵                                      | ۳/۲۶۳ | ۱/۵۸۸ | ۶/۵۰۰ | ۸/۱۰۶ |  |
| ۱۰                  | ۰/۶۸۸                                      | ۲/۷۶۴ | ۱/۰۳۱ | ۴/۱۵۱ | ۸/۹۰۳ |  |

جدول (۷-۳)-مقادیر میانگین مربعات خطای سری ارزیابی برای شبکه با الگوریتم آموزشی تنظیم بازیزن وتابع  
لگاریتم سیگموئیدی با تعداد ورودی های مختلف و تعداد گره های متفاوت در لایه پنهان

| تعداد گره های پنهان | تعداد متغیرهای ورودی شبکه(تعداد توصیفگرها) |       |       |       |       |  |
|---------------------|--|-------|-------|-------|-------|--|
|                     | ۲  | ۳     | ۴     | ۵     | ۶     |  |
| ۲                   | ۰/۳۴۶                                      | ۰/۳۵۱ | ۰/۲۷۶ | ۰/۱۴۸ | ۰/۱۹۲ |  |
| ۳                   | ۰/۳۵۱                                      | ۰/۳۵۳ | ۰/۲۷۶ | ۰/۱۵۹ | ۰/۲۱۱ |  |
| ۴                   | ۰/۳۵۸                                      | ۰/۳۵۱ | ۰/۲۶۶ | ۰/۱۴۳ | ۰/۱۹۸ |  |
| ۵                   | ۰/۳۳۷                                      | ۰/۳۵۳ | ۰/۲۶۶ | ۰/۱۴۲ | ۰/۱۹۸ |  |
| ۶                   | ۰/۳۳۷                                      | ۰/۳۵۵ | ۰/۲۶۶ | ۰/۱۵۰ | ۰/۱۹۴ |  |
| ۷                   | ۰/۳۵۶                                      | ۰/۳۵۷ | ۰/۲۶۶ | ۰/۱۴۹ | ۰/۱۹۲ |  |
| ۸                   | ۰/۳۵۵                                      | ۰/۳۵۷ | ۰/۲۶۶ | ۰/۱۴۷ | ۰/۱۹۲ |  |
| ۹                   | ۰/۳۵۷                                      | ۰/۳۵۷ | ۰/۲۶۶ | ۰/۱۴۸ | ۰/۱۹۲ |  |
| ۱۰                  | ۰/۳۵۶                                      | ۰/۳۵۸ | ۰/۲۶۶ | ۰/۱۵۲ | ۰/۱۹۰ |  |

جدول (۸-۳)-مقادیر میانگین مربعات خطای سری ارزیابی برای شبکه با الگوریتم آموزشی تنظیم بازیزن وتابع انتقال

| ردیف | تعداد متغیرهای ورودی شبکه(تعداد توصیفگرهای) |       |       |       |       |  |
|------|---|-------|-------|-------|-------|--|
|      | ۲   | ۳     | ۴     | ۵     | ۶     |  |
| ۲    | ۰/۳۴۷                                       | ۰/۳۵۷ | ۰/۲۷۷ | ۰/۱۶۰ | ۰/۱۸۷ |  |
| ۳    | ۰/۳۵۸                                       | ۰/۳۵۶ | ۰/۲۶۵ | ۰/۱۵۳ | ۰/۲۰۱ |  |
| ۴    | ۰/۳۵۸                                       | ۰/۳۵۷ | ۰/۲۶۵ | ۰/۱۴۸ | ۰/۱۹۷ |  |
| ۵    | ۰/۳۵۸                                       | ۰/۳۵۷ | ۰/۲۶۵ | ۰/۱۴۹ | ۰/۱۹۵ |  |
| ۶    | ۰/۳۵۷                                       | ۰/۳۵۷ | ۰/۲۶۵ | ۰/۱۵۰ | ۰/۱۹۵ |  |
| ۷    | ۰/۳۵۷                                       | ۰/۳۵۷ | ۰/۲۶۵ | ۰/۱۴۸ | ۰/۱۹۳ |  |
| ۸    | ۰/۳۵۶                                       | ۰/۳۵۷ | ۰/۲۶۵ | ۰/۱۴۹ | ۰/۱۹۳ |  |
| ۹    | ۰/۳۵۷                                       | ۰/۳۵۷ | ۰/۲۶۵ | ۰/۱۴۵ | ۰/۱۹۳ |  |
| ۱۰   | ۰/۳۵۶                                       | ۰/۳۵۷ | ۰/۲۶۵ | ۰/۱۵۵ | ۰/۱۹۳ |  |

تائزانت سیگموئیدی با تعداد ورودی های مختلف و تعداد گره های متفاوت در لایه پنهان

طبق نتایج موجود در جدول (۹-۳) میانگین مربعات خطای (MSE) برای الگوریتم آموزشی تنظیم

بازیزن نسبت به الگوریتم آموزشی لونبرگ-مارکوارت کمتر است. همچنین تائزانت سیگموئیدی نسبت

به لگاریتم سیگموئیدی خطای بیشتری دارد. در نتیجه تابع لگاریتم سیگموئیدی به عنوان تابع انتقال

لایه پنهان برگزیده شده است. طبق نتایج به دست آمده از جداول، تعداد ۵ توصیفگر به عنوان تعداد

بهینه ورودی ها برای شبکه و تعداد ۵ گره نیز به عنوان تعداد بهینه گره ها در لایه پنهان انتخاب

شدند.

جدول (۹-۳) توابع و پارامترهای بهینه شده شبکه های بهینه (SR-ANN) بدست آمده

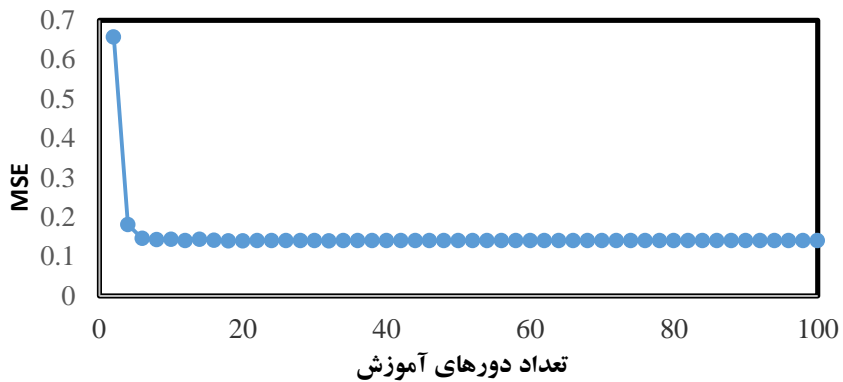
| MSE   | تعداد دور آموزش | تعداد نرون لایه پنهان | تعداد توصیف کننده | تابع آموزش      | تابع انتقال     |
|-------|-----------------|-----------------------|-------------------|-----------------|-----------------|
| ۰/۱۴۳ | ۱۰۰             | ۴                     | ۵                 | تنظیم بازیزن    | لگاریتم سیگموید |
| ۰/۱۵۳ | ۱۰۰             | ۴                     | ۳                 | لونبرگ-مارکوارت | لگاریتم سیگموید |
| ۰/۱۴۰ | ۱۰۰             | ۹                     | ۵                 | تنظیم بازیزن    | تائزانت سیگموید |
| ۰/۱۵۱ | ۱۰۰             | ۲                     | ۵                 | لونبرگ-مارکوارت | تائزانت سیگموید |

### ۳-۷-۱-۳ - انتخاب تعداد دورهای آموزش

در طی آموزش شبکه، دقت تقریبی ANN برای داده های سری آموزش افزایش می یابد در حالی که توانایی پیش بینی برای ورودی های خارجی به شدت کاهش یافته که این حالت را آموزش بیش از حد می گویند و برای جلوگیری از این حالت، از تکنیک توقف زود رس استفاده می شود. بدین منظور با ۵ توصیفگر منتخب و قرار دادن ۵ گره در لایه پنهان، در الگوریتم آموزشی تنظیم بازیزن وتابع انتقال لگاریتم سیگموئیدی تعداد چرخه آموزش تغییر داده شد و برای هر چرخه، میانگین مربع خطاهای سری ارزیابی برآورد شد (جدول ۳-۱۰). سپس منحنی تعداد دورهای آموزش بر حسب میانگین مربع خطاهای مربوط طبق شکل (۳-۲) ترسیم شد. مقدار بهینه تعداد دورهای آموزش جایی است که میزان خطا حداقل باشد. در نهایت مشاهده گردید تعداد دورهای آموزش ۲۰ دارای کمترین میانگین مربع خطاهای می باشد که به عنوان مقدار بهینه انتخاب شد.

جدول (۳-۱۰)- مقادیر میانگین مربعات خطای سری ارزیابی در تعداد دورهای آموزش مختلف

| تعداد تکرار | میانگین مربع خطاهای میانگین |
|-------------|-----------------------------|-------------|-----------------------------|-------------|-----------------------------|-------------|-----------------------------|-------------|-----------------------------|
| ۲           | ۰/۶۵۷۶                      | ۲۲          | ۰/۱۴۰۶                      | ۴۲          | ۰/۱۴۰۱                      | ۶۲          | ۰/۱۴۰۲                      | ۸۲          | ۰/۱۴۰۱                      |
| ۴           | ۰/۱۸۱۳                      | ۲۴          | ۰/۱۴۰۱                      | ۴۴          | ۰/۱۴۰۲                      | ۶۴          | ۰/۱۴۰۱                      | ۸۴          | ۰/۱۴۰۲                      |
| ۶           | ۰/۱۴۶۰                      | ۲۶          | ۰/۱۴۰۰                      | ۴۶          | ۰/۱۴۰۲                      | ۶۶          | ۰/۱۴۰۱                      | ۸۶          | ۰/۱۴۰۱                      |
| ۸           | ۰/۱۴۲۸                      | ۲۸          | ۰/۱۴۰۴                      | ۴۸          | ۰/۱۴۰۱                      | ۶۸          | ۰/۱۴۰۱                      | ۸۸          | ۰/۱۴۰۱                      |
| ۱۰          | ۰/۱۴۳۴                      | ۳۰          | ۰/۱۴۰۲                      | ۵۰          | ۰/۱۴۰۲                      | ۷۰          | ۰/۱۴۰۲                      | ۹۰          | ۰/۱۴۰۱                      |
| ۱۲          | ۰/۱۴۰۳                      | ۳۲          | ۰/۱۳۹۸                      | ۵۲          | ۰/۱۴۰۱                      | ۷۲          | ۰/۱۴۰۱                      | ۹۲          | ۰/۱۴۰۱                      |
| ۱۴          | ۰/۱۴۳۹                      | ۳۴          | ۰/۱۴۰۲                      | ۵۴          | ۰/۱۴۰۱                      | ۷۴          | ۰/۱۴۰۱                      | ۹۴          | ۰/۱۴۰۲                      |
| ۱۶          | ۰/۱۴۰۸                      | ۳۶          | ۰/۱۴۰۲                      | ۵۶          | ۰/۱۴۰۲                      | ۷۶          | ۰/۱۴۰۱                      | ۹۶          | ۰/۱۴۰۱                      |
| ۱۸          | ۰/۱۳۹۷                      | ۳۸          | ۰/۱۴۰۲                      | ۵۸          | ۰/۱۴۰۱                      | ۷۸          | ۰/۱۴۰۱                      | ۹۸          | ۰/۱۴۰۱                      |
| ۲۰          | ۰/۱۳۹۶                      | ۴۰          | ۰/۱۴۰۱                      | ۶۰          | ۰/۱۴۰۱                      | ۸۰          | ۰/۱۴۰۱                      | ۱۰۰         | ۰/۱۴۰۱                      |



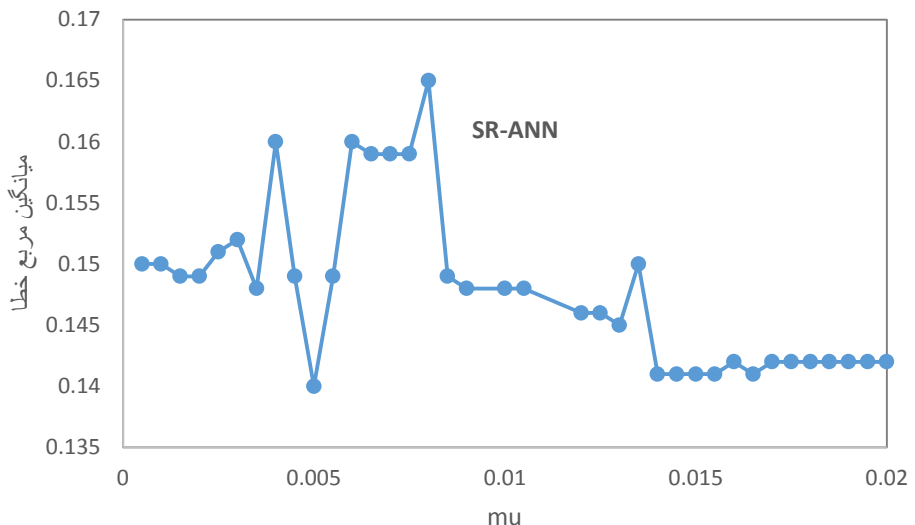
شکل (۳-۲)- منحنی تعداد دورهای آموزش بر حسب میانگین مربع خطاهای

#### ۴-۷-۱-۳- بهینه کردن مقدار mu

جهت بهینه کردن مقدار mu، ساختار شبکه با ۵ متغیر ورودی، ۵ گره در لایه پنهان و الگوریتم آموزشی تنظیم بایزین وتابع انتقال لگاریتم سیگموئیدی در نظر گرفته شد. سپس مقدار mu از ۰/۰۰۰۵ تا ۰/۰۵ با گام های ۰/۰۰۰۵ تغییر داده شد و آنگاه برای هر مورد مقدار میانگین مربع خطای سری ارزیابی محاسبه گردید. در نهایت مقدار میانگین مربع خطاهای mu رسم گردید. نقطه ای که کمترین خطای را داشت به عنوان مقدار بهینه انتخاب شد که طبق جدول (۱۱-۳) و شکل (۳-۳) مقدار بهینه ۰/۰۰۵ بدست آمد.

جدول(۱۱-۳)- مقادیر میانگین مربع خطاهای برای سری ارزیابی در مقادیر مختلف mu

| mu     | میانگین مربع خطاهای | mu     | میانگین مربع خطاهای | mu     | میانگین مربع خطاهای |
|--------|---------------------|--------|---------------------|--------|---------------------|
| ۰/۰۰۰۵ | ۰/۱۵۰               | ۰/۰۰۷۵ | ۰/۱۵۹               | ۰/۰۱۶  | ۰/۱۴۲               |
| ۰/۰۰۱  | ۰/۱۵۰               | ۰/۰۰۸  | ۰/۱۶۵               | ۰/۰۱۶۵ | ۰/۱۴۱               |
| ۰/۰۰۱۵ | ۰/۱۴۹               | ۰/۰۰۸۵ | ۰/۱۴۹               | ۰/۰۱۷  | ۰/۱۴۲               |
| ۰/۰۰۲  | ۰/۱۴۹               | ۰/۰۰۹  | ۰/۱۴۸               | ۰/۰۱۷۵ | ۰/۱۴۲               |
| ۰/۰۰۲۵ | ۰/۱۵۱               | ۰/۰۱   | ۰/۱۴۸               | ۰/۰۱۸  | ۰/۱۴۲               |
| ۰/۰۰۳  | ۰/۱۵۲               | ۰/۰۱۰۵ | ۰/۱۴۸               | ۰/۰۱۸۵ | ۰/۱۴۱               |
| ۰/۰۰۳۵ | ۰/۱۴۸               | ۰/۰۱۲  | ۰/۱۴۶               | ۰/۰۱۹  | ۰/۱۴۲               |
| ۰/۰۰۴  | ۰/۱۶۰               | ۰/۰۱۲۵ | ۰/۱۴۶               | ۰/۰۱۹۵ | ۰/۱۴۲               |
| ۰/۰۰۴۵ | ۰/۱۴۹               | ۰/۰۱۳  | ۰/۱۴۵               | ۰/۰۲   | ۰/۱۴۲               |
| ۰/۰۰۵  | ۰/۱۴۰               | ۰/۰۱۳۵ | ۰/۱۵۰               |        |                     |
| ۰/۰۰۵۵ | ۰/۱۴۹               | ۰/۰۱۴  | ۰/۱۴۱               |        |                     |
| ۰/۰۰۶  | ۰/۱۶۰               | ۰/۰۱۴۵ | ۰/۱۴۱               |        |                     |
| ۰/۰۰۶۵ | ۰/۱۵۹               | ۰/۰۱۵  | ۰/۱۴۱               |        |                     |
| ۰/۰۰۷  | ۰/۱۵۹               | ۰/۰۱۵۵ | ۰/۱۴۱               |        |                     |



شکل (۳-۳)- نمودار میانگین مربع خطای بر حسب مقادیر مختلف  $\mu$

تابع و مقادیر بهینه شده پارامترهای شبکه عصبی در جدول (۱۱-۳) ارائه شده است.

جدول (۱۲-۳) توابع و پارامترهای بهینه شده شبکه عصبی

| trainbr  | تابع آموزش               |
|----------|--------------------------|
| logsig   | تابع انتقال لایه ی پنهان |
| pureline | تابع انتقال لایه ی خروجی |
| ۴        | تعداد نرون لایه ی پنهان  |
| ۵        | تعداد متغیرهای ورودی     |
| ۲۰       | تعداد دورهای آموزش       |
| ۰/۰۰۵    | پارامتر $\mu$            |

با استفاده از مدل ANN بهینه شده مقادیر فعالیتهای بازدارندگی ترکیبات مورد نظر محاسبه گردید و نتایج به دست آمده در پیوست (پ-۱) نشان داده شده است.

### ۳-۱-۸- مدل سازی به روش ماشین بردار پشتیبان (SVM)

روش غیر خطی دیگری که برای مدل سازی در این پایان نامه استفاده شد، روش ماشین بردار پشتیبان است. برای انجام این روش، داده‌ها به دو دسته آموزش و تست تقسیم شدند. داده‌های سری تست همان داده‌های سری تست در رگرسیون خطی چندگانه و شبکه‌ی عصبی مصنوعی هستند. برای آموزش SVM باید پارامترهای آن که شامل تابع حساسیت و پنایک، پارامتر موازنی  $C$  و پارامتر کرنل بهینه گردد. لازم به ذکر است که در ماشین بردار پشتیبان استفاده شده در این پایان نامه از کرنل پایه شعاعی گوسین استفاده گردید. برای بهینه کردن هریک از این سه پارامتر، دو پارامتر ثابت نگه داشته می‌شود و پارامتر سوم در بازه‌ی مورد نظر تغییر داده می‌شود تا جایی که MSE کمترین مقدار شود. در این صورت مقدار آن پارامتر، به عنوان مقدار بهینه انتخاب می‌شود.

بهینه سازی سه پارامتر ماشین بردار پشتیبان با استفاده از توصیفگرهای انتخاب شده به روش SR انجام گرفت که نتایج آن در جدول (۳-۱۳) گزارش شده است. که این نتایج نشان می‌دهند که ماشین بردار پشتیبان با مقادیر ۵ برای تابع حساسیت و پنایک، ۷۰ برای پارامتر موازنی  $C$  و ۰/۱ برای پارامتر کرنل برای پیش‌بینی  $IC_{50}$ ، با استفاده از توصیفگرهای منتخب SR می‌باشد. مقادیر فعالیت‌های بازدارندگی ترکیبات مورد نظر در سری آموزش و تست مورد محاسبه قرار گرفته و در پیوست (۱-پ) نشان داده شده است.

جدول (۱۳-۳)- مقادیر مختلف پارامترهای ماشین بردار پشتیبان با استفاده توصیفگرهای منتخب SR و MSE آنها

| MSE    | پارامتر کرنل | تابع حساسیت وپنایک | پارامتر موازنۀ C |
|--------|--------------|--------------------|------------------|
| ۰/۲۶۰۱ | ۰/۱          | ۱                  | ۵۰               |
| ۰/۲۸۰۴ | ۰/۲          | ۱                  | ۵۰               |
| ۰/۲۸۱۰ | ۰/۳          | ۱                  | ۵۰               |
| ۰/۲۹۳۸ | ۰/۴          | ۱                  | ۵۰               |
| ۰/۳۱۳۲ | ۰/۵          | ۱                  | ۵۰               |
| ۰/۳۱۵۶ | ۰/۶          | ۱                  | ۵۰               |
| ۰/۳۲۴۷ | ۰/۷          | ۱                  | ۵۰               |
| ۰/۳۳۵۵ | ۰/۸          | ۱                  | ۵۰               |
| ۰/۳۷۳۹ | ۰/۹          | ۱                  | ۵۰               |
| ۰/۴۳۰۹ | ۱            | ۱                  | ۵۰               |
| ۰/۳۰۵۳ | ۰/۱          | ۱                  | ۵۰               |
| ۰/۲۸۷۳ | ۰/۱          | ۲                  | ۵۰               |
| ۰/۲۷۹۳ | ۰/۱          | ۳                  | ۵۰               |
| ۰/۲۶۶۶ | ۰/۱          | ۴                  | ۵۰               |
| ۰/۲۵۴۱ | ۰/۱          | ۵                  | ۵۰               |
| ۰/۲۶۸۱ | ۰/۱          | ۶                  | ۵۰               |
| ۰/۲۷۲۶ | ۰/۱          | ۷                  | ۵۰               |
| ۰/۲۷۵۳ | ۰/۱          | ۸                  | ۵۰               |
| ۰/۲۷۹۱ | ۰/۱          | ۹                  | ۵۰               |
| ۰/۲۸۵۳ | ۰/۱          | ۱۰                 | ۵۰               |
| ۰/۳۰۳۲ | ۰/۱          | ۵                  | ۱۰               |
| ۰/۲۷۸۴ | ۰/۱          | ۰                  | ۲۰               |
| ۰/۲۷۴۶ | ۰/۱          | ۵                  | ۳۰               |
| ۰/۲۷۳۳ | ۰/۱          | ۵                  | ۴۰               |
| ۰/۲۷۲۱ | ۰/۱          | ۰                  | ۵۰               |
| ۰/۲۶۷۵ | ۰/۱          | ۵                  | ۶۰               |
| ۰/۲۴۷۰ | ۰/۱          | ۵                  | ۷۰               |
| ۰/۲۶۸۳ | ۰/۱          | ۵                  | ۸۰               |
| ۰/۲۶۹۵ | ۰/۱          | ۵                  | ۹۰               |
| ۰/۲۷۱۳ | ۰/۱          | ۵                  | ۱۰۰              |

### ۳-۱-۹- انتخاب توصیفگر به روش الگوریتم ژنتیک

در فصل دوم مفاهیم و اصول الگوریتم ژنتیک مطرح گردید. همانطور که پیشتر توضیح داده شد،

هدف از اجرای الگوریتم حاضر شناسایی ترکیبی از توصیفگرهاست، به گونه ای که برای پیش بینی

pIC<sub>50</sub> مشتقات هموپیپرازین، دی آمین و ۳-آمینو پیرولیدین بوسیله رگرسیون خطی چندگانه، شبکه

عصبی مصنوعی و ماشین بردار پشتیبان مورد استفاده قرار گیرند. در فرایند اجرای این الگوریتم، ابتدا

به صورت اتفاقی یک جمعیت اولیه از توصیف کننده‌ها تولید و برآزندگی یا شایستگی تک تک اعضای

هر نسل یعنی توصیف کننده‌ها، محاسبه و با توجه به شایستگی‌ها، نسل‌های بعدی با اعمال سه عملکر جمعیت، پیوند و جهش تولید یا باز ترکیب می‌شوند. این روند جستجو برای جمعیت‌های مختلف تا حصول ملاک خاتمه ادامه می‌یابد. لازم به ذکر است که برنامه استفاده شده در الگوریتم ژنتیک یک برنامه بهینه شده می‌باشد. مقادیر بهینه شده‌ی پارامترهای جمعیت، پیوند و جهش به ترتیب  $30, 0.05$  و  $0.01$  می‌باشد. با هر بار اجرای برنامه  $100$  کروموزوم که بهترین پاسخ را بدنهند انتخاب می‌شوند. تا اتمام روند الگوریتم ژنتیک  $n$  بار برنامه اجرا می‌شود. در نیمه اول اجرای برنامه بردار  $Z$  یا تابع متغیرهای وابسته همان مقادیر اصلی در نظر گرفته شده و در نیمه دوم یک بردار  $Z$  به روش اتفاقی تولید می‌شود. حال فرض کنیم برنامه  $40$  بار اجرا شود، در پایان  $2$  بردار خواهیم داشت که اولی شامل میانگین  $20$  اجرای اول الگوریتم بر روی مقادیر اصلی و دومی شامل میانگین  $20$  اجرای دوم الگوریتم بر روی مقادیر تصادفی خواهد بود. به طور ساده می‌توان گفت که اجرای الگوریتم ژنتیک با بردار اصلی نشان‌دهنده‌ی توانایی الگوریتم مورد نظر برای مدل‌سازی اطلاعات همراه با مقادیر اشتباه است و اجرای الگوریتم برای بردار  $Z$  تصادفی نیز نشان‌دهنده‌ی توانایی الگوریتم برای مدل‌سازی مقادیر اشتباه می‌باشد. حال تفاوت این دو می‌تواند توانایی الگوریتم ژنتیک را در ارتباط با مقادیر حقیقی نشان دهد.

حسن عملکرد الگوریتم ژنتیک به وسیله ریشه متوسط مربع خطأ (RMSE) در پیش‌بینی مقادیر محاسبه می‌گردد. لازم به ذکر است که پارامتر RMSE از رابطه‌ای (۱-۳) محاسبه می‌شود:

$$RMSE = \sqrt{\frac{\sum_{i=1}^n (\hat{y}_i - y_i)^2}{n}} \quad (1-3)$$

در فرمول ارائه شده  $n$  تعداد مقادیر موجود در سری مورد محاسبه است. شش توصیفگر انتخاب شده توسط الگوریتم ژنتیک برای سری داده‌ها در جدول (۱۲-۳) آورده شده است.

جدول (۱۴-۳)- توصیفگرهای انتخاب شده توسط الگوریتم ژنتیک

| Descriptor | meaning  | MF <sup>a</sup> |
|------------|--|-----------------|
| X0A        | Average connectivity index chi-0   | ۱/۴۳۳           |
| X5A        | Average connectivity index chi-5   | -۰/۴۲۰          |
| MDDD       | Mean distance degree deviation   | -۰/۱۵۶          |
| PCWTe      | Partial charge weighted topological electronic descriptor                | ۰/۰۹۸           |
| RDF145m    | Radial distribution function – 14.5 / weighted by atomic masses          | -۰/۰۰۵          |
| RDF065p    | Radial distribution function – 6.5 / weighted by atomic polarizabilities | .۰/۰۵۰          |

<sup>a</sup>Mean Effect

### ۳-۱-۱۰- مدل رگرسیون خطی چندگانه با استفاده از توصیفگرهای انتخاب شده توسط الگوریتم ژنتیک

پس از انتخاب مناسب ترین توصیفگرها توسط الگوریتم ژنتیک، مدل سازی بین توصیفگرها و فعالیتهای بازدارنده مشتقات هموپیرازین، دی آمین و ۳-آمینو پیرولیدین برای سری آموزش با استفاده از روش MLR انجام و مدل خطی زیر بدست آمد:

$$\text{pIC}_{50} = -16.25 (\pm 5.382) + 44.168 (\pm 6.261) \text{ X0A} - 112.295 (\pm 17.837) \text{ X5A} - 0.095 (\pm 0.015) \text{ MDDD} + 0.092 (\pm 0.014) \text{ PCWTe} - 0.241 (\pm 0.049) \text{ RDF145m} + 0.062 (\pm 0.014) \text{ RDF065p}$$

سپس از معادله بدست آمده برای پیش بینی فعالیت سری تست استفاده گردید. مقادیر واقعی و پیش بینی شده فعالیتها برای تمام ترکیبات در پیوست (پ-۱) آورده شده است.

### ۳-۱-۱-۱-مدل شبکه عصبی مصنوعی با استفاده از توصیفگرهای انتخاب شده توسط الگوریتم ژنتیک

در این بخش نیز از شبکه عصبی سه لایه متشکل از یک لایه ورودی، یک لایه پنهان و یک لایه خروجی استفاده شد.

### ۳-۱-۱-۱-۱-انتخاب تعداد گره‌های لایه پنهان، تعداد متغیر ورودی، نوع آموزش و نوع تابع انتقال

پس از طراحی اولیه شبکه، برای این که شبکه قدرت پیش‌بینی مناسبی داشته باشد باید بطور مناسب آموزش داده شود و با توجه به اینکه فرایند آموزش وقتگیر است، انتخاب الگوریتم آموزشی سریعتر امری مهم است. از میان الگوریتم‌های آموزشی متفاوت که در جعبه ابزار متلب وجود دارد، الگوریتم لونبرگ-مارکوارت و تنظیم بازیزن دارای سرعت مناسب، قابلیت پیش‌بینی و تعمیم پذیری بهتری نسبت به سایر روش‌های معمول مانند روش نزول گرادیانی می‌باشند. بر این اساس شبکه با ورودی‌های از ۲ تا ۶ توسط دو الگوریتم آموزشی لونبرگ-مارکوارت و تنظیم بازیزن، با تعداد متفاوت گره در لایه پنهان از ۲ تا ۱۰ و همچنین توابع لگاریتمی سیگنیدی(logsig) و تانژانت سیگموئیدی(tansig)، بعنوان توابع انتقال لایه پنهان، آموزش داده شد. در تمامی این شبکه‌ها تعداد دورهای آموزش ثابت و برابر ۱۰۰ در نظر گرفته شد. همچنین از تابع انتقال خطی (purelin) در لایه خروجی استفاده شد. معیار نیز به حداقل رساندن مربع خطای (MSE) برای سری ارزیابی در نظر گرفته شد که نتایج این محاسبات در جداول (۱۵-۳)، (۱۶-۳)، (۱۷-۳) و (۱۸-۳) آورده شده است.

جدول (۱۵-۳)-مقادیر میانگین مربعات خطای سری ارزیابی برای شبکه با الگوریتم آموزشی لونبرگ-مارکوات و تابع انتقال لگاریتم سیگموئیدی با تعداد ورودی های مختلف و تعداد گره های متفاوت در لایه پنهان

| تعداد گره های پنهان | تعداد متغیرهای ورودی شبکه(تعداد توصیفگرها) |       |       |        |       |
|---------------------|--|-------|-------|--------|-------|
|                     | ۲  | ۳     | ۴     | ۵      | ۶     |
| ۲                   | ۰/۳۹۰                                      | ۰/۳۴۵ | ۰/۳۳۵ | ۰/۲۳۳  | ۰/۱۲۵ |
| ۳                   | ۰/۴۸۰                                      | ۰/۳۶۴ | ۰/۲۴۲ | ۰/۲۱۳  | ۰/۲۵۹ |
| ۴                   | ۰/۵۹۸                                      | ۲/۱۹۳ | ۱/۰۶۴ | ۰/۷۷۹  | ۰/۵۲۳ |
| ۵                   | ۰/۶۲۵                                      | ۰/۸۵۵ | ۰/۳۲۶ | ۱/۸۲۵۰ | ۳/۴۰۰ |
| ۶                   | ۱/۰۹۸                                      | ۱/۱۷۲ | ۰/۸۸۶ | ۱/۴۷۷  | ۲/۵۵۲ |
| ۷                   | ۰/۲۷۴                                      | ۱/۸۸۵ | ۸/۵۳۵ | ۱/۷۵۱  | ۰/۶۷۶ |
| ۸                   | ۱/۳۴۶                                      | ۲/۵۰۳ | ۴/۱۲۰ | ۷/۴۸۵  | ۴/۷۲۵ |
| ۹                   | ۱/۰۳۲                                      | ۱/۳۹۶ | ۲/۵۴۲ | ۸/۳۲۸  | ۳/۹۱۹ |
| ۱۰                  | ۰/۴۲۹                                      | ۱/۱۵۱ | ۱/۵۲۶ | ۲/۸۲۴  | ۱/۸۰۲ |

جدول (۱۶-۳)-مقادیر میانگین مربعات خطای سری ارزیابی برای شبکه با الگوریتم آموزشی لونبرگ-مارکوات و تابع انتقال تانژانت سیگموئیدی با تعداد ورودی های مختلف و تعداد گره های متفاوت در لایه پنهان

| تعداد گره های پنهان | تعداد متغیرهای ورودی شبکه(تعداد توصیفگرها) |       |       |       |       |
|---------------------|--|-------|-------|-------|-------|
|                     | ۲  | ۳     | ۴     | ۵     | ۶     |
| ۲                   | ۰/۳۴۹                                      | ۰/۳۴۸ | ۰/۲۶۳ | ۰/۱۲۴ | ۰/۴۸۰ |
| ۳                   | ۰/۴۱۹                                      | ۰/۳۶۷ | ۳/۸۳۱ | ۰/۶۱۸ | ۰/۱۴۹ |
| ۴                   | ۰/۴۲۷                                      | ۰/۳۶۷ | ۰/۶۰۱ | ۱/۵۸۹ | ۰/۴۵۹ |
| ۵                   | ۰/۵۲۶                                      | ۵/۴۷۶ | ۰/۴۸۸ | ۲/۹۵۲ | ۳/۶۸۸ |
| ۶                   | ۲/۵۷۱                                      | ۰/۹۰۵ | ۷/۴۶۰ | ۲/۹۵۲ | ۰/۴۰۸ |
| ۷                   | ۰/۵۲۱                                      | ۸/۴۳۸ | ۰/۴۸۸ | ۶/۹۴۶ | ۰/۲۳۷ |
| ۸                   | ۳/۰۸۰                                      | ۹/۶۷۷ | ۷/۴۶۰ | ۹/۷۶۵ | ۱/۰۴۰ |
| ۹                   | ۱۰/۸۷۵                                     | ۱/۰۱۴ | ۴/۴۵۳ | ۹/۷۶۵ | ۸/۴۳۶ |
| ۱۰                  | ۰/۷۸۰                                      | ۰/۹۸۶ | ۱/۶۲۲ | ۱/۹۸۰ | ۱/۹۱۷ |

جدول (۱۷-۳)-مقادیر میانگین مربعات خطای سری ارزیابی برای شبکه با الگوریتم آموزشی تنظیم بازیزن و تابع انتقال لگاریتم سیگموئیدی با تعداد ورودی های مختلف و تعداد گره های متفاوت در لایه پنهان

| تعداد گره های لایه پنهان | تعداد متغیرهای ورودی شبکه(تعداد توصیفگرها) |       |       |       |       |  |
|--------------------------|--|-------|-------|-------|-------|--|
|                          | ۲  | ۳     | ۴     | ۵     | ۶     |  |
| ۲                        | ۰/۳۶۴                                      | ۰/۲۷۶ | ۰/۲۳۹ | ۰/۲۲۴ | ۰/۱۶۳ |  |
| ۳                        | ۰/۳۹۴                                      | ۰/۴۵۱ | ۰/۲۳۶ | ۰/۲۳۶ | ۰/۱۹۹ |  |
| ۴                        | ۰/۴۰۶                                      | ۰/۴۴۶ | ۰/۲۳۶ | ۰/۲۴۵ | ۰/۲۱۹ |  |
| ۵                        | ۰/۳۹۴                                      | ۰/۴۸۷ | ۰/۲۳۶ | ۰/۲۶۲ | ۰/۱۶۸ |  |
| ۶                        | ۰/۳۹۷                                      | ۰/۴۹۶ | ۰/۲۴۱ | ۰/۲۴۷ | ۰/۲۰۹ |  |
| ۷                        | ۰/۳۹۵                                      | ۰/۵۰۵ | ۰/۲۳۶ | ۰/۲۴۰ | ۰/۲۱۳ |  |
| ۸                        | ۰/۳۹۵                                      | ۰/۵۱۰ | ۰/۲۴۲ | ۰/۲۴۸ | ۰/۱۷۱ |  |
| ۹                        | ۰/۳۹۵                                      | ۰/۵۲۳ | ۰/۲۴۱ | ۰/۱۳۵ | ۰/۲۱۹ |  |
| ۱۰                       | ۰/۳۹۶                                      | ۰/۵۱۳ | ۰/۲۴۲ | ۰/۲۷۳ | ۰/۱۷۱ |  |

جدول (۱۸-۳)-مقادیر میانگین مربعات خطای سری ارزیابی برای شبکه با الگوریتم آموزشی تنظیم بازیزن و تابع انتقال تانژانت سیگموئیدی با تعداد ورودی های مختلف و تعداد گره های متفاوت در لایه پنهان

| تعداد گره های لایه پنهان | تعداد متغیرهای ورودی شبکه(تعداد توصیفگرها) |       |       |       |       |  |
|--------------------------|--|-------|-------|-------|-------|--|
|                          | ۲  | ۳     | ۴     | ۵     | ۶     |  |
| ۲                        | ۰/۳۶۳                                      | ۰/۲۷۹ | ۰/۲۳۸ | ۰/۲۴۸ | ۰/۱۵۸ |  |
| ۳                        | ۰/۳۹۵                                      | ۰/۴۳۲ | ۰/۲۳۸ | ۰/۲۵۲ | ۰/۲۱۰ |  |
| ۴                        | ۰/۳۹۵                                      | ۰/۴۶۰ | ۰/۲۳۹ | ۰/۲۶۲ | ۰/۱۸۹ |  |
| ۵                        | ۰/۳۹۵                                      | ۰/۴۷۲ | ۰/۲۳۹ | ۰/۲۶۲ | ۰/۱۷۱ |  |
| ۶                        | ۰/۳۹۵                                      | ۰/۴۷۷ | ۰/۲۴۲ | ۰/۲۶۱ | ۰/۲۱۰ |  |
| ۷                        | ۰/۳۹۶                                      | ۰/۴۸۱ | ۰/۲۳۸ | ۰/۲۶۲ | ۰/۲۳۸ |  |
| ۸                        | ۰/۳۹۶                                      | ۰/۴۸۵ | ۰/۲۴۲ | ۰/۲۶۲ | ۰/۱۷۲ |  |
| ۹                        | ۰/۳۹۶                                      | ۰/۴۹۲ | ۰/۲۴۱ | ۰/۲۵۸ | ۰/۱۷۴ |  |
| ۱۰                       | ۰/۳۹۶                                      | ۰/۴۸۹ | ۰/۲۴۲ | ۰/۲۶۲ | ۰/۱۷۵ |  |

با توجه به نتایج بدست آمده در جدول (۱۹-۳)، الگوریتم آموزشی لونبرگ-مارکوارت به عنوان تابع آموزش شبکه انتخاب گردید. همچنین تابع تانژانت سیگموئیدی دارای خطای کمتری نسبت به لگاریتم سیگموئیدی است. بنابراین تابع انتقال تانژانت سیگموئیدی به عنوان تابع انتقال لایه پنهان

استفاده شد. طبق نتایج بدست آمده ۵ توصیفگر به عنوان توصیفگرهایی که بیشترین ارتباط را با فعالیت بازدارندگی دارند، انتخاب شدند. تعداد ۲ گره نیز در لایه پنهان انتخاب شد.

جدول (۱۹-۳)- توابع و پارامترهای بهینه شده شبکه های بهینه (SR-ANN) بدست آمده

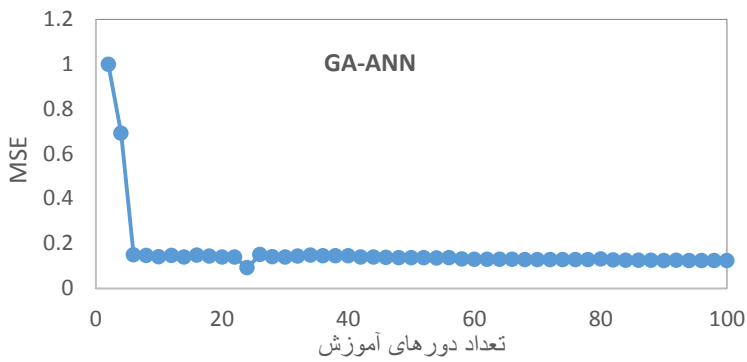
| MSE   | تعداد دور آموزش | تعداد نرون لایه پنهان | تعداد توصیف کننده | تابع آموزش      | تابع انتقال     |
|-------|-----------------|-----------------------|-------------------|-----------------|-----------------|
| ۰/۱۳۵ | ۱۰۰             | ۹                     | ۵                 | تنظیم بازیزن    | لگاریتم سیگموید |
| ۰/۱۲۵ | ۱۰۰             | ۲                     | ۶                 | لونبرگ-مارکوارت | لگاریتم سیگموید |
| ۰/۱۵۸ | ۱۰۰             | ۲                     | ۶                 | تنظیم بازیزن    | تائزانت سیگموید |
| ۰/۱۲۴ | ۱۰۰             | ۲                     | ۵                 | لونبرگ-مارکوارت | تائزانت سیگموید |

### ۳-۱۱-۲- انتخاب تعداد دورهای آموزش

بدین منظور و جهت انتخاب تعداد دورهای بهینه، شبکه با الگوریتم لونبرگ-مارکوارت، ۵ توصیفگر به عنوان ورودی و ۲ گره در لایه پنهان و تابع انتقال تائزانت سیگموئیدی در تعداد دورهای متفاوت، آموزش داده شد و میانگین مربع خطاهای برای سری ارزیابی ثبت گردید. جدول (۲۰-۳) و شکل (۴-۳) نشان می دهد که مقدار میانگین مربع خطای (MSE) در تعداد دورهای آموزش ۲۴ به حداقل می رسد. بنابراین ۲۴ بار تکرار به عنوان تکرارهای بهینه برای یادگیری شبکه انتخاب شد.

جدول (۲۰-۳)- مقادیر میانگین مربع خطاهای برای سری ارزیابی در تعداد دورهای آموزش مختلف

| تعداد تکرار | میانگین مربع خطای |
|-------------|-------------------|-------------|-------------------|-------------|-------------------|-------------|-------------------|-------------|-------------------|
| ۲           | ۰/۹۹۸۳            | ۲۲          | ۰/۱۳۹۴            | ۴۲          | ۰/۱۳۹۸            | ۶۲          | ۰/۱۲۹۶            | ۸۲          | ۰/۱۲۵۶            |
| ۴           | ۰/۸۹۰۹            | ۲۴          | ۰/۰۹۱۹            | ۴۴          | ۰/۱۳۸۶            | ۶۴          | ۰/۱۲۹۰            | ۸۴          | ۰/۱۲۵۱            |
| ۶           | ۰/۱۴۹۰            | ۲۶          | ۰/۱۵۰۱            | ۴۶          | ۰/۱۳۸۴            | ۶۶          | ۰/۱۲۸۵            | ۸۶          | ۰/۱۲۴۹            |
| ۸           | ۰/۱۴۶۸            | ۲۸          | ۰/۱۴۱۲            | ۴۸          | ۰/۱۳۸۵            | ۶۸          | ۰/۱۲۸۰            | ۸۸          | ۰/۱۲۴۵            |
| ۱۰          | ۰/۱۴۱۲            | ۳۰          | ۰/۱۳۹۴            | ۵۰          | ۰/۱۳۶۱            | ۷۰          | ۰/۱۲۸۱            | ۹۰          | ۰/۱۲۴۱            |
| ۱۲          | ۰/۱۴۶۸            | ۳۲          | ۰/۱۴۳۵            | ۵۲          | ۰/۱۳۵۹            | ۷۲          | ۰/۱۲۸۱            | ۹۲          | ۰/۱۲۴۲            |
| ۱۴          | ۰/۱۳۹۶            | ۳۴          | ۰/۱۴۷۱            | ۵۴          | ۰/۱۳۵۵            | ۷۴          | ۰/۱۲۸۰            | ۹۴          | ۰/۱۲۴۱            |
| ۱۶          | ۰/۱۴۷۸            | ۳۶          | ۰/۱۴۵۵            | ۵۶          | ۰/۱۳۶۵            | ۷۶          | ۰/۱۲۷۵            | ۹۶          | ۰/۱۲۴۱            |
| ۱۸          | ۰/۱۴۳۲            | ۳۸          | ۰/۱۴۵۱            | ۵۸          | ۰/۱۳۰۲            | ۷۸          | ۰/۱۲۷۱            | ۹۸          | ۰/۱۲۴۰            |
| ۲۰          | ۰/۱۳۸۹            | ۴۰          | ۰/۱۴۵۱            | ۶۰          | ۰/۱۲۹۶            | ۸۰          | ۰/۱۳۰۰            | ۱۰۰         | ۰/۱۲۴۰            |



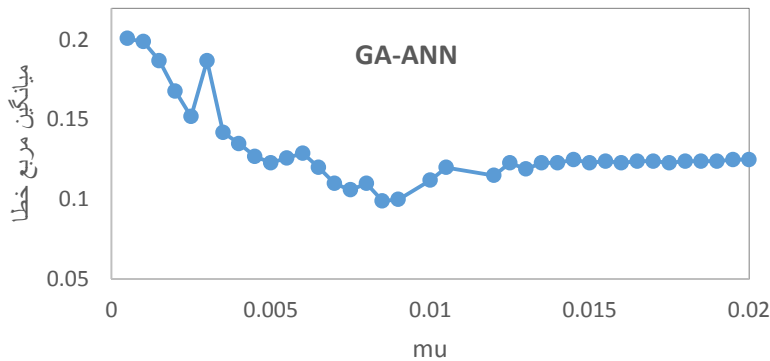
شکل (۴-۳)- منحنی تعداد چرخه های آموزش بر حسب میانگین مربع خطاهای

### ۱۱-۳-۳- بھینه کردن مقدار mu

جهت بھینه کردن مقدار mu، ساختار شبکه با ۵ متغیر ورودی، ۲ گره در لایه پنهان و الگوریتم آموزشی لونبرگ-مارکوارت وتابع انتقال تانژانت سیگموئیدی در نظر گرفته شد. سپس مقدار mu از ۰/۰۰۰۵ تا ۰/۰۲ با گام های ۰/۰۰۰۵ تغییر داده شد و آنگاه برای هر مورد مقدار میانگین مربع خطای سری ارزیابی محاسبه گردید. در نهایت مقدار میانگین مربع خطاهای mu رسم گردید. نقطه ای که کمترین خط را داشت به عنوان مقدار بھینه انتخاب شد که طبق جدول (۲۱-۳) و شکل (۵-۳) مقدار بھینه ۰/۰۰۸۵ بدست آمد.

جدول(۲۱-۳)- مقادیر میانگین مربع خطاهای برای سری ارزیابی در مقادیر مختلف mu

| mu     | میانگین مربع خطاهای | mu     | میانگین مربع خطاهای | mu     | میانگین مربع خطاهای |
|--------|---------------------|--------|---------------------|--------|---------------------|
| ۰/۰۰۰۵ | ۰/۲۰۱               | ۰/۰۰۷۵ | ۰/۱۰۶               | ۰/۰۱۶  | ۰/۱۲۳               |
| ۰/۰۰۱  | ۰/۱۹۹               | ۰/۰۰۸  | ۰/۱۱۰               | ۰/۰۱۶۵ | ۰/۱۲۴               |
| ۰/۰۰۱۵ | ۰/۱۸۷               | ۰/۰۰۸۵ | ۰/۰۹۹               | ۰/۰۱۷  | ۰/۱۲۴               |
| ۰/۰۰۲  | ۰/۱۶۸               | ۰/۰۰۹  | ۰/۱۰۰               | ۰/۰۱۷۵ | ۰/۱۲۴               |
| ۰/۰۰۲۵ | ۰/۱۵۲               | ۰/۰۱   | ۰/۱۱۲               | ۰/۰۱۸  | ۰/۱۲۳               |
| ۰/۰۰۳  | ۰/۱۸۷               | ۰/۰۱۰۵ | ۰/۱۲۰               | ۰/۰۱۸۵ | ۰/۱۲۴               |
| ۰/۰۰۳۵ | ۰/۱۴۲               | ۰/۰۱۲  | ۰/۱۱۵               | ۰/۰۱۹  | ۰/۱۲۴               |
| ۰/۰۰۴  | ۰/۱۳۵               | ۰/۰۱۲۵ | ۰/۱۲۳               | ۰/۰۱۹۵ | ۰/۱۲۵               |
| ۰/۰۰۴۵ | ۰/۱۲۷               | ۰/۰۱۳  | ۰/۱۱۹               | ۰/۰۲   | ۰/۱۲۵               |
| ۰/۰۰۵  | ۰/۱۲۳               | ۰/۰۱۳۵ | ۰/۱۲۳               |        |                     |
| ۰/۰۰۵۵ | ۰/۱۲۶               | ۰/۰۱۴  | ۰/۱۲۳               |        |                     |
| ۰/۰۰۶  | ۰/۱۲۹               | ۰/۰۱۴۵ | ۰/۱۲۵               |        |                     |
| ۰/۰۰۶۵ | ۰/۱۲۰               | ۰/۰۱۵  | ۰/۱۲۳               |        |                     |
| ۰/۰۰۷  | ۰/۱۱۰               | ۰/۰۱۵۵ | ۰/۱۲۴               |        |                     |



شکل(۵-۳)- نمودار میانگین مربع خطأ بر حسب مقادیر مختلف  $\mu$  توابع و مقادیر بهینه شده پارامترهای مختلف شبکه عصبی در جدول (۲۲-۳) ارائه شده است.

جدول (۲۲-۳)- توابع و پارامترهای بهینه شده شبکه عصبی

| trainlm  | تابع آموزش               |
|----------|--------------------------|
| tansig   | تابع انتقال لایه ی پنهان |
| pureline | تابع انتقال لایه ی خروجی |
| ۲        | تعداد نرون لایه ی پنهان  |
| ۵        | تعداد متغیرهای ورودی     |
| ۲۴       | تعداد دورهای آموزش       |
| ۰/۰۰۸۵   | پارامتر $\mu$            |

با استفاده از مدل ANN بهینه شده مقادیر فعالیتهای بازدارندگی ترکیبات مورد نظر در مجموعه های آموزش، ارزیابی و پیش‌بینی مورد محاسبه قرار گرفت و در پیوست (پ-۱) نشان داده شده است.

### ۱۲-۱-۳- مدل ماشین بردار پشتیبان با استفاده از توصیفگرهای انتخاب شده توسط الگوریتم ژنتیک

برای آموزش SVM باید پارامترهای آن که شامل تابع حساسیت و پنایک، پارامتر موازنهی C و پارامتر کرنل بهینه گردد. برای بهینه کردن هریک از این سه پارامتر، دو پارامتر ثابت نگه داشته می-

شود و پارامتر سوم در بازه‌ی مورد نظر تغییر داده می‌شود تا جایی که MSE کمترین مقدار شود. در این صورت مقدار آن پارامتر، به عنوان مقدار بهینه انتخاب می‌شود. بهینه سازی سه پارامتر ماشین بردار پشتیبان با استفاده از توصیفگرهای انتخاب شده به روش GA انجام گرفت که نتایج آن در جدول (۲۳-۳) گزارش شده است. که این نتایج نشان می‌دهند که ماشین بردار پشتیبان با مقادیر ۷ برای تابع حساسیت وپنایک، ۸۰ برای پارامتر موازنۀی C و ۵/۰ برای پارامتر کرنل برای پیش بینی  $pIC_{50}$ ، با استفاده از توصیفگرهای منتخب GA می‌باشد. مقادیر فعالیتهای بازدارندگی ترکیبات مورد نظر در سری آموزش و تست مورد محاسبه و در پیوست (پ-۱) نشان داده شده است.

جدول (۲۳-۳)- مقادیر مختلف پارامترهای ماشین بردار پشتیبان با استفاده توصیفگرهای منتخب GA و MSE آنها

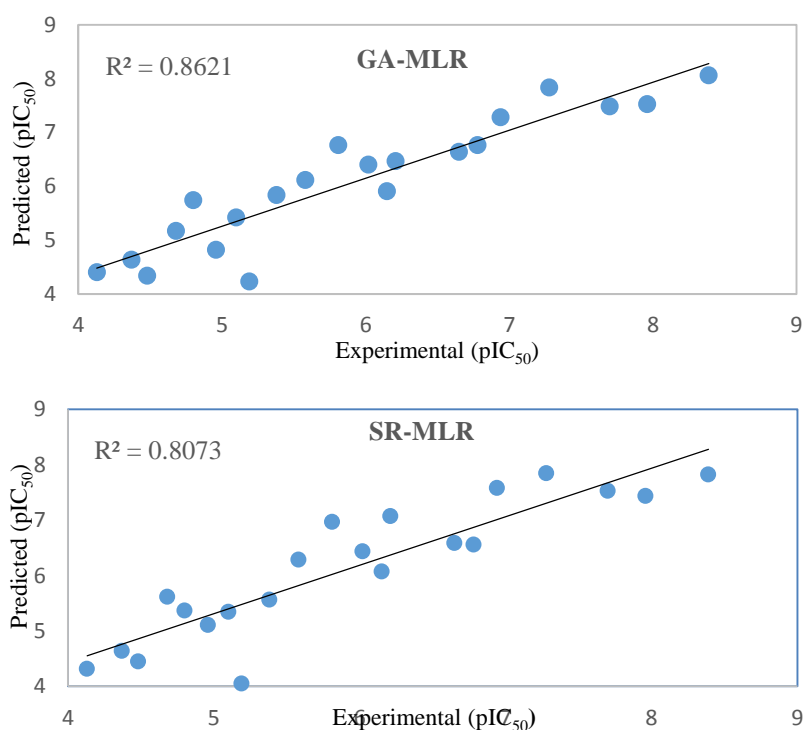
| MSE    | پارامتر کرنل | تابع حساسیت وپنایک | پارامتر موازنۀی C |
|--------|--------------|--------------------|-------------------|
| ۰/۲۴۸۸ | ۰/۱          | ۱                  | ۵۰                |
| ۰/۲۵۱۳ | ۰/۲          | ۱                  | ۵۰                |
| ۰/۲۴۹۴ | ۰/۳          | ۱                  | ۵۰                |
| ۰/۲۴۸۶ | ۰/۴          | ۱                  | ۵۰                |
| ۰/۲۳۸۷ | ۰/۵          | ۱                  | ۵۰                |
| ۰/۲۴۸۵ | ۰/۶          | ۱                  | ۵۰                |
| ۰/۲۸۲۷ | ۰/۷          | ۱                  | ۵۰                |
| ۰/۳۲۱۴ | ۰/۸          | ۱                  | ۵۰                |
| ۰/۳۷۵۶ | ۰/۹          | ۱                  | ۵۰                |
| ۰/۴۴۰۱ | ۱            | ۱                  | ۵۰                |
| ۰/۲۸۹۳ | ۰/۵          | ۱                  | ۵۰                |
| ۰/۲۸۰۱ | ۰/۵          | ۲                  | ۵۰                |
| ۰/۲۷۸۷ | ۰/۵          | ۳                  | ۵۰                |
| ۰/۲۷۴۳ | ۰/۵          | ۴                  | ۵۰                |
| ۰/۲۶۶۸ | ۰/۵          | ۵                  | ۵۰                |
| ۰/۲۵۹۰ | ۰/۵          | ۶                  | ۵۰                |
| ۰/۲۵۸۲ | ۰/۵          | ۷                  | ۵۰                |
| ۰/۲۶۲۴ | ۰/۵          | ۸                  | ۵۰                |
| ۰/۲۶۴۶ | ۰/۵          | ۹                  | ۵۰                |
| ۰/۲۶۱۸ | ۰/۵          | ۱۰                 | ۵۰                |
| ۰/۳۵۴۳ | ۰/۵          | ۷                  | ۱۰                |
| ۰/۲۹۹۶ | ۰/۵          | ۷                  | ۲۰                |
| ۰/۲۷۳۶ | ۰/۵          | ۷                  | ۳۰                |
| ۰/۲۶۰۸ | ۰/۵          | ۷                  | ۴۰                |
| ۰/۲۵۵۸ | ۰/۵          | ۷                  | ۵۰                |
| ۰/۲۴۸۰ | ۰/۵          | ۷                  | ۶۰                |
| ۰/۲۴۱۴ | ۰/۵          | ۷                  | ۷۰                |
| ۰/۲۳۸۷ | ۰/۵          | ۷                  | ۸۰                |
| ۰/۲۴۸۸ | ۰/۵          | ۷                  | ۹۰                |
| ۰/۲۴۹۸ | ۰/۵          | ۷                  | ۱۰۰               |

## ۲-۳-بررسی نتایج

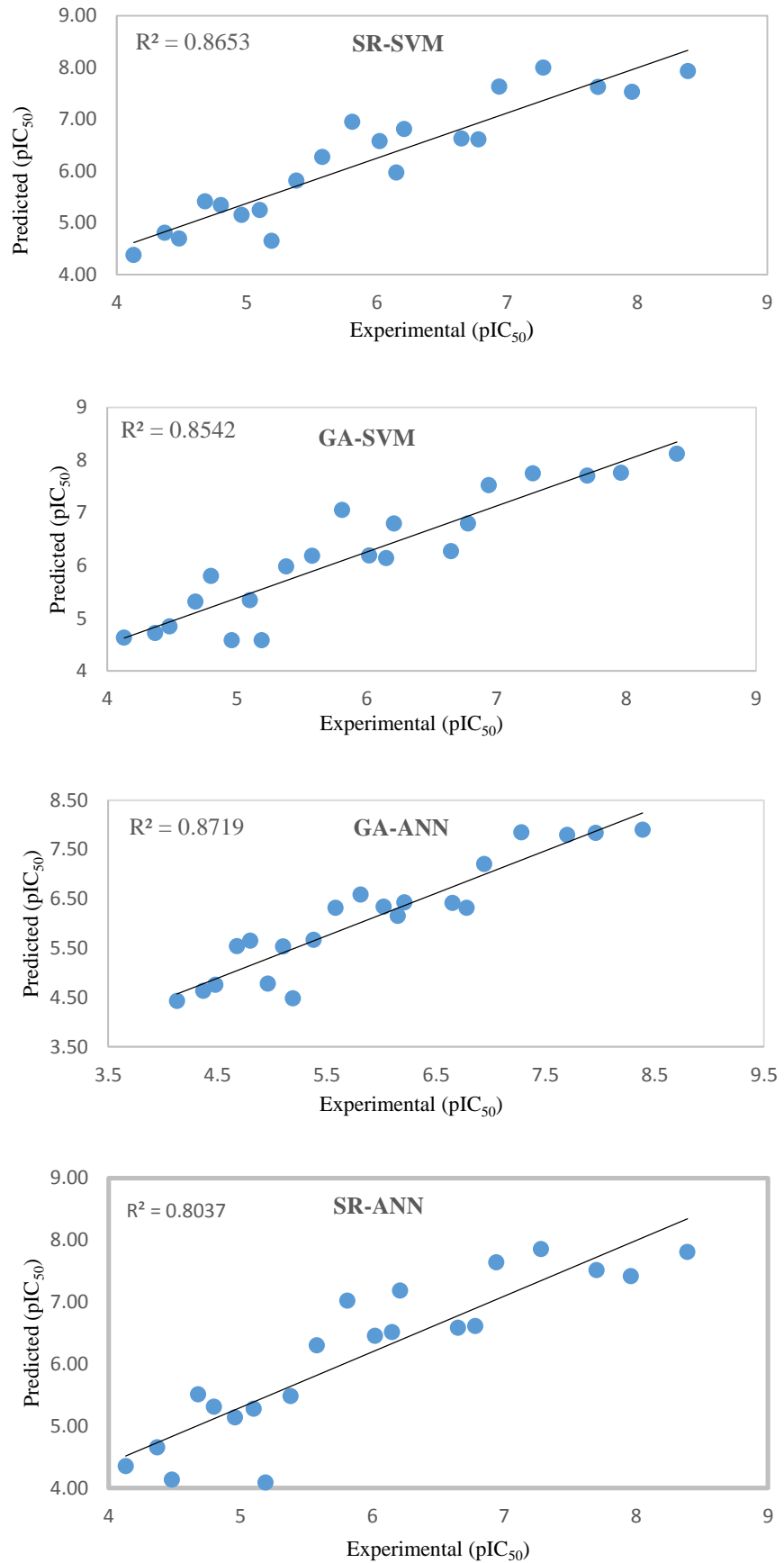
اعتبار و اهمیت معادلات پیش بینی و مدل های ساخته شده وقتی مشخص می گردد که فعالیت مولکول های که در سری تست هستند را به خوبی و بطور رضایت بخش و قابل قبول پیش بینی کند. در اینجا چندین روش به منظور ارزیابی توانایی مدل های ارائه شده در پیش بینی مقادیر  $pIC_{50}$  ذکر شده است.

### ۲-۱-۳- ارزیابی مدل ها با استفاده از نمودار برگشتی

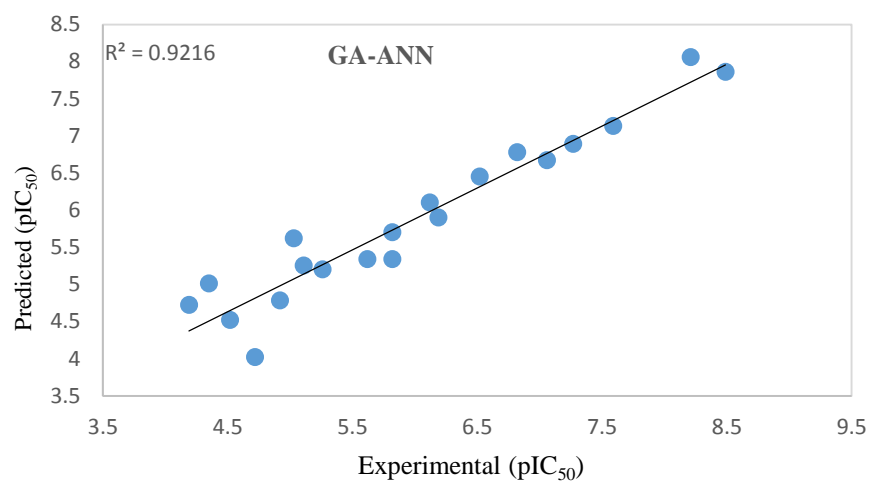
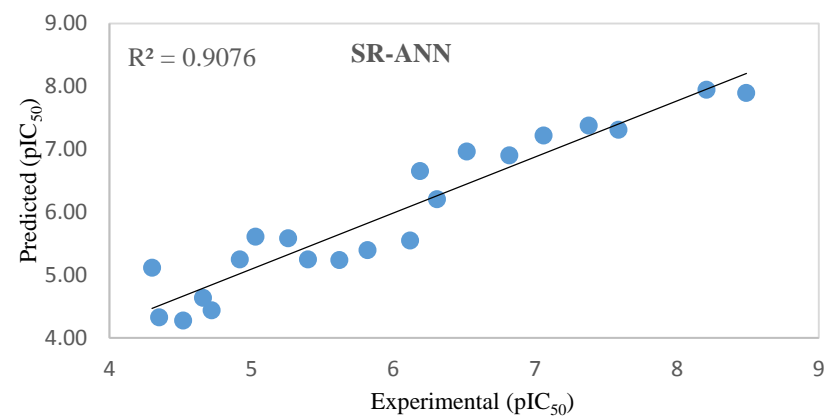
در نمودار برگشتی مقادیر پیش بینی شده بر حسب مقادیر تجربی رسم می گردد و با توجه به مقدار ضریب تعیین ( $R^2$ ) به دست آمده از نمودار، پراکندگی نقاط در اطراف خط برگشت تعیین می شود. هر چه مقدار ضریب تعیین به یک نزدیک تر باشد، مدل ساخته شده، مدل بهتری است. نتایج حاصل از نمودارهای برگشتی مربوط به شش روش انجام شده در این کار برای سری ارزیابی و تست در شکل های (۶-۳)، (۷-۳) و (۸-۳) آورده شده است.



شکل (۶-۳)-نمودار مقادیر پیش بینی شده  $pIC_{50}$  بر حسب مقادیر تجربی برای سری تست



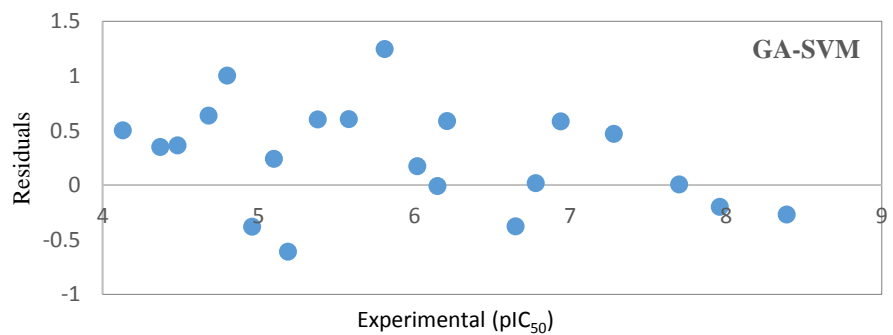
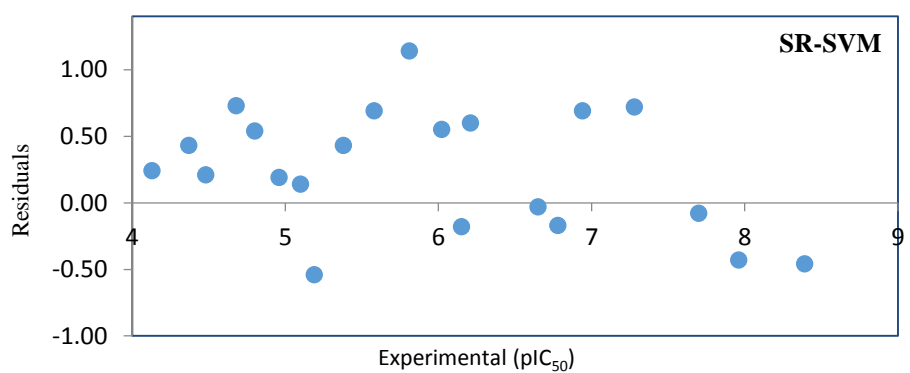
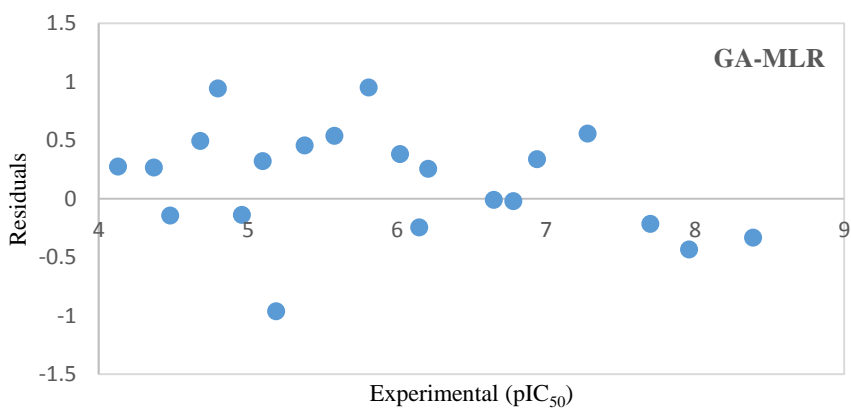
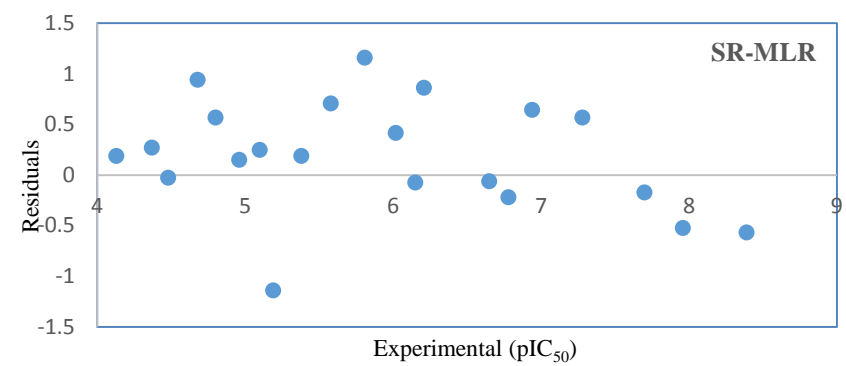
شکل (۷-۳)-نمودار مقادیر پیش بینی شده  $\text{pIC}_{50}$  بر حسب مقادیر تجربی برای سری تست



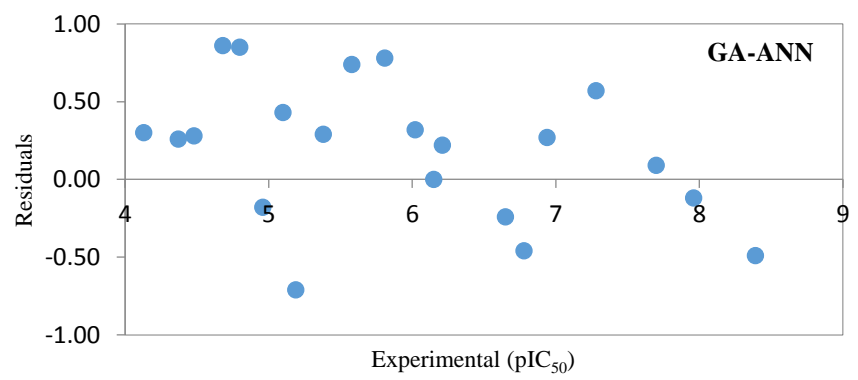
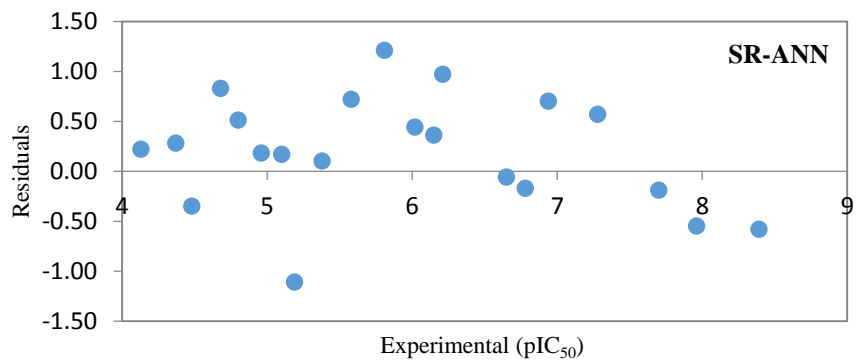
شکل (۸-۳)- نمودار مقادیر پیش بینی شده  $pIC_{50}$  بر حسب مقادیر تجربی برای سری ارزیابی

### ۲-۲-۳- ارزیابی مدل‌ها با استفاده از نمودار خطای باقیمانده

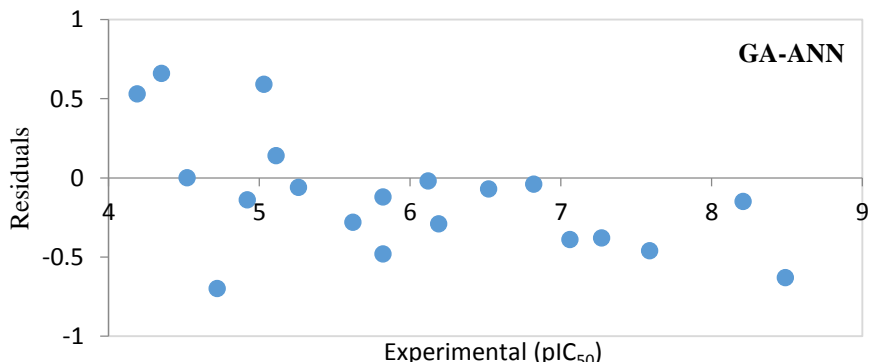
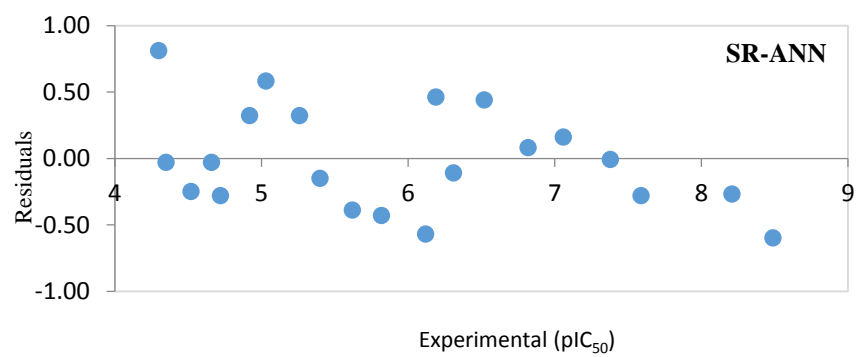
اختلاف مقادیر پیش بینی شده و مقادیر تجربی، خطای باقیمانده نامیده می‌شود. پراکندگی یکنواخت نقاط، حول محور افقی که بیانگر خطای باقیمانده صفر است، نشان‌دهنده‌ی آن است که خطای سیستماتیکی در مدل سازی وجود ندارد. نمودار خطای باقیمانده بر حسب مقادیر تجربی، برای مدل‌های ذکر شده در شکل‌های (۹-۳)، (۱۰-۳) و (۱۱-۳) نشان داده شده است.



شکل (۹-۳)- نمودار مقادیر باقیمانده pIC50 بر حسب مقادیر تجربی برای سری تست



شکل (۱۰-۳)- نمودار مقادیر باقیمانده  $\text{pIC}50$  بر حسب مقادیر تجربی برای سری تست



شکل (۱۱-۳)- نمودار مقادیر باقیمانده  $\text{pIC}50$  بر حسب مقادیر تجربی برای سری ارزیابی

### ۳-۲-۳- ارزیابی مدل های برتر خطی و غیر خطی با استفاده از پارامترهای آماری

مطابق جدول (۲۴-۳) شش پارامتر آماری، جهت ارزیابی توانایی پیش بینی مدل های ساخته شده به روش های GA-SVM، GA-ANN، GA-MLR، SR-SVM، SR-ANN، SR-MLR به کار گرفته شد. نتایج حاصل از جدول (۲۴-۳) نشان می دهد که بیشترین مقدار  $R^2$  در سری تست برای مدل GA-SVM می باشد. این نتایج نشان دهنده آن است که ارتباط برجی از توصیفگرهای با فعالیت دارویی می تواند به صورت غیر خطی باشد.

جدول (۲۴-۳)- پارامترهای آماری برای مدل های انتخاب شده

|       |             | SR-MLR | SR-ANN | SR-SVM | GA-MLR | GA-ANN | GA-SVM |
|-------|-------------|--------|--------|--------|--------|--------|--------|
| MSE   | سری آموزش   | ۰/۱۳۸  | ۰/۱۴۲  | ۰/۰۳۳  | ۰/۱۲۸  | ۰/۱۴۷  | ۰/۱۳۸  |
|       | سری ارزیابی | -      | ۰/۱۴۲  | -      | -      | ۰/۱۴۷  | -      |
|       | سری تست     | ۰/۳۲۸  | ۰/۳۴۶  | ۰/۲۶۷  | ۰/۲۲۸  | ۰/۲۲۵  | ۰/۲۵۷  |
| PRESS | سری آموزش   | ۱۱/۳۲۱ | ۸/۶۹۴  | ۲/۷۲۶  | ۱۰/۵۰۹ | ۹/۰۱۶  | ۱۱/۳۲  |
|       | سری ارزیابی | -      | ۲/۹۸۵  | -      | -      | ۲/۲۳۹  | -      |
|       | سری تست     | ۶/۸۹۷  | ۷/۲۷۰  | ۵/۵۹۷  | ۴/۸۷۸  | ۴/۷۴۰  | ۵/۴۱۳  |
| SEP   | سری آموزش   | ۰/۳۷۱  | ۰/۳۷۷  | ۳/۱۲   | ۰/۳۵۸  | ۰/۳۸۴  | ۰/۳۷۱  |
|       | سری ارزیابی | -      | ۰/۳۷۷  | -      | -      | ۰/۳۸۳  | -      |
|       | سری تست     | ۰/۵۷۳  | ۰/۵۸۸  | ۰/۵۱۶  | ۰/۴۷۷  | ۰/۴۷۵  | ۰/۵۰۷  |
| MAE   | سری آموزش   | ۰/۲۹۷  | ۰/۳۰۵  | ۰/۱۳۹  | ۰/۲۷۹  | ۰/۲۹۶  | ۰/۳۲۵  |
|       | سری ارزیابی | -      | ۰/۳۱۲  | -      | -      | ۰/۳۰۶  | -      |
|       | سری تست     | ۰/۴۶۱  | ۰/۴۸۹  | ۰/۴۳۷  | ۰/۳۹۴  | ۰/۴۰۲  | ۰/۴۴۸  |
| AAD   | سری آموزش   | ۵/۳۸۶  | ۵/۵۱۹  | ۲/۴۶۹  | ۵/۰۱۶  | ۵/۲۹۳  | ۵/۷۲۷  |
|       | سری ارزیابی | -      | ۵/۵۱۰  | -      | -      | ۵/۴۵۶  | -      |
|       | سری تست     | ۷/۹۹۲  | ۸/۶۸۷  | ۷/۶۴۷  | ۷/۰۴۲  | ۷/۲۷۸  | ۸/۰۶   |
| $R^2$ | سری آموزش   | ۰/۸۸۶  | ۰/۸۷۱  | ۰/۹۷۲  | ۰/۸۹۴  | ۰/۸۶۶  | ۰/۹۲۰  |
|       | سری ارزیابی | -      | ۰/۹۰۷  | -      | -      | ۰/۹۲۱  | -      |
|       | سری تست     | ۰/۸۰۷  | ۰/۸۰۳  | ۰/۸۶۵  | ۰/۸۶۲  | ۰/۸۷۱  | ۰/۸۷۷  |

### ۴-۲-۳- ارزیابی مدل‌ها توسط روش رد مرحله‌ای تک تک و گروهی

به منظور بررسی بیشتر قدرت پیش‌بینی مدل‌های خطی و غیر خطی تکنیک رد مرحله‌ای تک تک و گروهی مورد استفاده قرار گرفت. در روش رد مرحله‌ای تک تک، هر بار یکی از ترکیبات به طور تصادفی از سری داده‌ها حذف شدند و در روش رد مرحله‌ای گروهی، هر بار یک گروه از ترکیبات(۵ ترکیب) به طور تصادفی از سری داده‌ها حذف شدند. سپس با استفاده از مدل ساخته شده توسط بقیه ترکیبات، فعالیت دارویی ترکیب یا ترکیبات حذف شده، پیش‌بینی شدند. این فرایند برای تمام اعضای سری داده‌ها تکرار شد. نتایج حاصل از رد مرحله‌ای و گروهی در جدول(۳-۲۵) ارائه شده است.

جدول(۳-۲۵)- پارامترهای آماری برای مدل‌های انتخاب شده

|             |            | SR-MLR | SR-ANN | SR-SVM | GA-MLR | GA-ANN | GA-SVM |
|-------------|------------|--------|--------|--------|--------|--------|--------|
| $Q^2_{LOO}$ | کل داده‌ها | ۰/۸۵۷  | ۰/۸۶۰  | ۰/۸۶۱  | ۰/۸۶۹  | ۰/۸۷۷  | ۰/۸۷۱  |
| $Q^2_{LGO}$ | کل داده‌ها | ۰/۸۳۷  | ۰/۸۳۹  | ۰/۸۴۲  | ۰/۸۳۲  | ۰/۸۴۳  | ۰/۸۴۹  |

### ۴-۲-۴- ارزیابی مدل‌های ارائه شده با استفاده از آزمون Y-تصادفی

این تکنیک ارزیابی مدل، با هدف بررسی هر گونه ارتباط تصادفی بین داده‌ها انجام شد. در این آزمون، متغیر وابسته بطور تصادفی بهم ریخته شد. مدل QSAR جدید با استفاده از ماتریکس متغیرهای مستقل اصلی و مقادیر تصادفی از متغیر وابسته توسعه یافت. اگر در مدل اصلی هیچ گونه ارتباط تصادفی وجود نداشته باشد، تفاوت قابل توجهی بین مقدار ضریب تعیین مدل اصلی و مدل QSAR که با پاسخ تصادفی توسعه یافته، وجود خواهد داشت. نتایج حاصل از چندین بار اجرای آزمون Y-تصادفی در جدول(۳-۲۶) نشان داده شده است. مقادیر کوچک ضریب تعیین ( $R^2$ ) بیانگر عدم ارتباط شانسی در مدل توسعه یافته توسط رگرسیون خطی چندگانه، شبکه عصبی مصنوعی و ماشین بردار پشتیبان می‌باشد.

جدول (۲۶-۳)- نتایج حاصل از ۱۰ بار آزمون Y-تصادفی

| تکرار | $R^2_{\text{test}}$ |        |        |        |        |        |
|-------|---------------------|--------|--------|--------|--------|--------|
|       | SR-MLR              | SR-ANN | SR-SVM | GA-MLR | GA-ANN | GA-SVM |
| ۱     | ۰/۰۷۸               | ۰/۲۱۰  | ۰/۱۹۸  | ۰/۰۹۹  | ۰/۱۲۵  | ۰/۰۰۸  |
| ۲     | ۰/۰۵۱               | ۰/۰۸۰  | ۰/۰۰۸  | ۰/۰۲۶  | ۰/۰۸۴  | ۰/۲۱۴  |
| ۳     | ۰/۰۸۳               | ۰/۱۸۰  | ۰/۰۱۴۸ | ۰/۰۶۸  | ۰/۰۹۶  | ۰/۱۴۷  |
| ۴     | ۰/۱۱۹               | ۰/۰۱۴۸ | ۰/۰۹۸  | ۰/۰۸۷  | ۰/۲۱۳  | ۰/۰۸۵  |
| ۵     | ۰/۰۵۰               | ۰/۰۱۴  | ۰/۱۶۲  | ۰/۰۸۰  | ۰/۱۰۵  | ۰/۰۹۶  |
| ۶     | ۰/۰۷۲               | ۰/۰۰۹  | ۰/۰۲۸  | ۰/۰۷۷  | ۰/۰۸۶  | ۰/۱۴۳  |
| ۷     | ۰/۰۸۴               | ۰/۰۱۷۴ | ۰/۰۰۹  | ۰/۰۳۶  | ۰/۰۰۸  | ۰/۰۵۹  |
| ۸     | ۰/۰۳۳               | ۰/۱۰۹  | ۰/۱۴۱  | ۰/۰۵۵  | ۰/۱۴۰  | ۰/۰۹۷  |
| ۹     | ۰/۰۱۷               | ۰/۰۶۱  | ۰/۰۸۲  | ۰/۰۶۰  | ۰/۰۸۹  | ۰/۰۷۷  |
| ۱۰    | ۰/۰۶۲               | ۰/۰۴۸  | ۰/۰۱۹  | ۰/۱۲۵  | ۰/۰۲۷  | ۰/۱۰۸  |

### ۳-۲-۶- بررسی ارتباط توصیفگرهای وارد شده در مدل با اثر بازدارندگی

در این بخش به طور خلاصه ارتباط بین توصیفگرهای وارد شده در مدل و اثر بازدارندگی ترکیبات، مورد بررسی قرار خواهد گرفت. با توجه به نتایج به دست آمده در مدل برتر، توصیفگرهای انتخاب شدند که هر کدام بیانگر خصوصیات متفاوتی از مولکول مورد بررسی است. توصیفگرهای انتخاب شده توسط روش رگرسیون مرحله‌ای شامل ( RDF065m ,Jhetp ,PCWTe ,X0A ,X5A ,X0A ,H-052 و RDF145v ) و توصیفگرهای انتخاب شده توسط الگوریتم ژنتیک شامل ( RDF145p و RDF065p ) می‌باشند.

### ۳-۶-۱- توصیفگرهای <sup>۱</sup>RDF

می‌توان گفت RDF یاتابع توزیع شعاعی مربوط به یک دسته از اتم‌ها، معادل توزیع احتمال یافتن یک اتم در فضای کروی به شعاع R است. رابطه (۱-۳) نحوه محاسبه تابع RDF را نشان می‌دهد.

$$g(R) = f \sum_i^{N-1} \sum_{j>i}^N A_i \cdot A_j \cdot e^{-B \cdot (R - r_{ij})^2}. \quad (1-3)$$

<sup>۱</sup>-Radial Distribution Function Descriptors

که  $f$  یک فاکتور مقیاس، و  $N$  تعداد اتم‌های مولکول است. همچنین  $r_{ij}$  فاصله‌ی بین دو اتم  $i$  و  $j$  و  $A$  یک ویژگی اتمی (وزن دار نشده  $a$ ، جرم اتمی  $m$ ، حجم واندروالس  $v$ ، الکترونگاتیویته  $e$ ، قطبش پذیری  $p$ ) است.  $\beta$  یک فاکتور تسهیل کننده است که توزیع احتمال فاصله بین اتمی را مشخص می‌کند و می‌توان از آن به فاکتور دما برای تعریف جنبش اتمی تعبیر کرد. ( $R$ ) در نقاط گسسته‌ای با فواصل معین محاسبه و با مجموعه‌ای از کدهای RDF با ویژگی‌های مختلف اتمی می‌توان ساختار سه بعدی یک مولکول را به طور واضح توصیف کرد. این توصیفگرها اهمیت توزیع اتم‌ها در مولکول روی اثر بازدارندگی آن نشان می‌دهد. همچنین این توصیفگر علاوه بر فاصله اتمی، اطلاعاتی با ارزشی در مورد فاصله پیوند، انواع حلقه، سیستم‌های مسطح و غیر مسطح و نوع اتم‌ها فراهم می‌کند.

از این گروه، توصیفگرها RDF065m، RDF145v، RDF065m، RDF145m و RDF065p در مدل ارائه شده برای پیش‌بینی اثر بازدارندگی انتخاب شده‌اند. اثر متوسط توصیفگرها RDF065m و RDF065p مثبت ذکر شده یعنی با افزایش مقدار این توصیفگرها  $pIC_{50}$  افزایش می‌یابد و اثر متوسط توصیفگرها RDF145v و RDF145m منفی ذکر شده یعنی با افزایش مقدار این توصیفگرها،  $pIC_{50}$  نیز کاهش می‌یابد.

### <sup>۱</sup>ACFC - ۳-۲-۶-۲ - توصیفگر

کدهای اجزای با مزیت اتمی (ACFC) یک کد با مزیت اتمی با دامنه‌ی کوتاه است که هر اتم را با نوع اتم، انواع پیوند و انواع اتم‌های همسایه توصیف می‌کند. هر مولکول کاملاً با یک کد اجزا که تعداد اتم‌های غیر هیدروژن است معرفی می‌شود. این توصیفگرها اطلاعات شیمیایی زیادی را در رابطه با گروه‌های عاملی در اطراف یک اتم مرکزی و مولکول ارائه می‌دهند.

ثابت‌های اتمی آب گریز خوزه-کریپن<sup>۱</sup> (توصیف کننده‌های چربی دوستی): چربی دوستی میزانی از توزیع ترکیبات بین یک فاز آلی و یک فاز آبی است که معمولاً با ضرایب جداسازی P به صورت توزیع غلظت یک ترکیب در فازهای آلی و آبی از تحت شرایط تعدی زیر تعریف می‌شود:

$$P = \frac{[C]_{org}}{[C]_{aq}} \quad (2-3)$$

که  $[C]_{org}$  و  $[C]_{aq}$ ، غلظت‌های حل شده در فازهای آلی و آبی هستند.

توصیفگر H-052 (H متصل به کربن با هیبریداسیون  $sp^3$  و عدد اکسایش صفر)، یکی دیگر از توصیفگرهای از نوع اجزای با مرکزیت اتمی می‌باشد که اولین همسایه اتم کربن، اتم هیدروژن می‌باشد همچنین، این توصیفگر نمایانگر تعداد اتم‌های هیدروژن متصل به اتم کربن با هیبریداسیون  $sp^3$  می‌باشد. اثر متوسط این توصیفگر منفی است و نشان‌دهنده‌ی این است که با افزایش مقدار این توصیفگر،  $pIC_{50}$  کاهش می‌یابد. در جدول (۲۵-۳) در سری ترکیبات افزایش مقدار این توصیفگر به معنای افزایش تعداد هیدروژن‌های متصل به اتم کربن است که طول زنجیره بلندتر می‌شود و برهمکنش حلال و حل شونده کمتر می‌شود در نتیجه  $pIC_{50}$  کاهش می‌یابد.

جدول (۲۷-۳)- مثال‌هایی از مقدار توصیفگر H-052 بر  $pIC_{50}$

| نام ترکیب         | H-052 | $pIC_{50}$ |
|-------------------|-------|------------|
| 3-OH              | ۳۴    | ۶/۱۵       |
| 3-NH <sub>2</sub> | ۳۵    | ۵/۳۸       |
| 3-Me              | ۳۶    | ۴/۸۰       |

### **Topological ۳-۶-۲-۳ - توصیفگرهای گروه**

این توصیفگرها بر اساس نمایش گراف مولکول می‌باشند. در این گراف‌ها هر نقطه نشان‌دهنده‌ی یک اتم بوده و خطوط بین نقاط نیز نشان‌دهنده‌ی پیوند شیمیایی بین اتم‌ها می‌باشد. معمولاً در گراف‌های مولکولی اتم هیدروژن را نشان نمی‌دهند. این توصیفگرها اطلاعاتی راجع به ساختمان، اندازه، شکل، تقارن، شاخه‌دار شدن، نحوه اتصال اتم‌ها و نوع اتم‌های موجود در یک مولکول را در اختیار ما قرار می‌دهند. محاسبه این توصیفگرها به سادگی از روی ساختمان دو بعدی مولکول‌ها امکان پذیر می‌باشد.

از این گروه توصیفگرها در مدل ارائه شده توصیفگر Jhetp و MDDD انتخاب شدند. اثر متوسط برای توصیفگر Jhetp مثبت است که نشان می‌دهد با افزایش آن مقدار  $pIC_{50}$  افزایش یافته و در نتیجه اثر بخشی دارو زیاد می‌شود. و اثر متوسط برای توصیفگر MDDD منفی است که نشان می‌دهد با افزایش آن مقدار  $pIC_{50}$  کاهش می‌یابد.

### **Connectivity Indices ۳-۶-۲-۴ - توصیفگرهای**

یک دسته‌ی مهم از شاخص‌هایی که در دسته‌ی توصیفگرها توپولوژیکی طبقه‌بندی می‌شود، شاخص‌های ارتباطی می‌باشد. این شاخص‌ها برای اولین بار توسط یک دانشمند کروات به نام راندیک<sup>۱</sup> در سال ۱۹۷۵ بنیان نهاده شد. و بعدها توسط هال<sup>۲</sup> و کایر<sup>۳</sup> تغییراتی روی آنها انجام گرفت و به نام توصیفگرها مولکولی معروف شدند. آنها شاخصی به نام کاپا را تعریف کردند که با افزایش اندازه

<sup>۱</sup>-Randic

<sup>۲</sup>-Hall

<sup>۳</sup>-Kier

مولکول، مقدار این شاخص بزرگ تر و با افزایش شاخصدار شدن مولکول مقدار این شاخص کوچکتر می‌شود.

که از این گروه توصیفگرهای X0A و X5A انتخاب شدند. این شاخص‌های ارتباطی می‌توانند به صورت نسبتاً رضایت‌بخشی بین مولکول‌های پیچیده تمایز قائل شوند. بنابراین در بررسی فعالیت بیولوژیکی و شیمیایی بسیاری از ترکیبات شرکت دارند. اثر متوسط توصیفگر X0A مثبت بوده و نشان‌دهنده‌ی این است که با افزایش مقدار این توصیفگر،  $pIC_{50}$  افزایش می‌یابد. و اثر متوسط توصیفگر X5A منفی بوده و نشان‌دهنده‌ی این است که با افزایش مقدار این توصیفگر،  $pIC_{50}$  کاهش می‌یابد.

### Charge - ۳-۲-۶-۵ - توصیفگرهای Charge

این توصیفگرهای اطلاعاتی در مورد بار الکتریکی مولکول و بار جزئی روی اتمها می‌دهند و قادرند اطلاعاتی از جمله ماکزیمم بار مثبت، ماکزیمم بار منفی، کل بارهای مثبت و منفی و ... را نشان دهند. توصیفگر PCWTe در این گروه از توصیفگرهای قرار می‌گیرد. این توصیفگر اطلاعاتی راجع به میزان برهم کنش‌های الکتریکی بین آن اتم، یا سایر اتم‌های موجود در مولکول باشد. اثر متوسط توصیفگر PCWTe مثبت بوده و نشان‌دهنده‌ی این است که با افزایش مقدار این توصیفگر،  $pIC_{50}$  افزایش می‌یابد.

### بررسی میزان مشارکت توصیفگرهای منتخب شبکه عصبی - ۳-۲-۷

میزان مشارکت توصیفگرهای منتخب به صورت زیر تعیین شد:

- ۱ - توصیفگر مورد نظر به همراه اوزان مربوطه‌اش از شبکه بهینه حذف گردید.
- ۲ - مقدار متغیر وابسته با استفاده از توصیفگرهای باقیمانده برای هر یک از ترکیبات سری ارزیابی پیش‌بینی گردید.

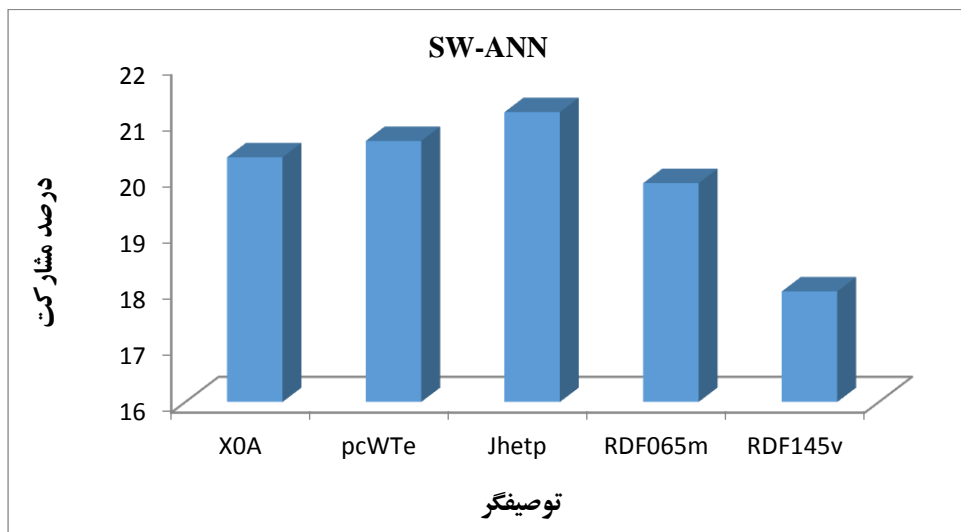
۳- میانگین خطای مطلق (MAE) حاصل از ترکیبات سری ارزیابی محاسبه شد.

۴- مراحل ۱ تا ۳ برای دیگر توصیفگرهای منتخب نیز تکرا شد.

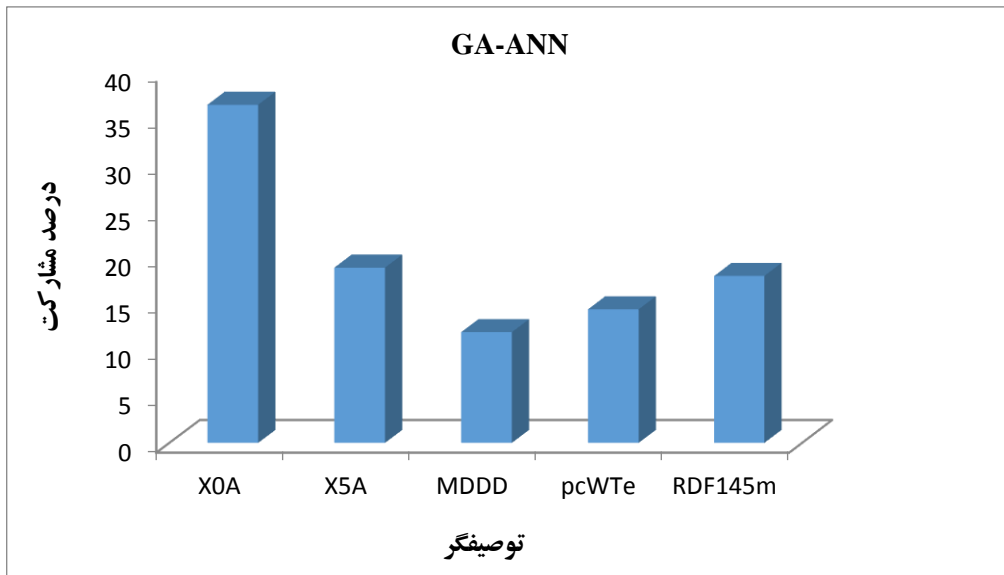
۵- سرانجام درصد مشارکت هر توصیفگر توسط رابطه‌ی (۳-۳) برآورد شد.

$$c_i = 100 \frac{\Delta m_i}{\sum_{i=1}^N \Delta m_i} \quad (3-3)$$

در این رابطه  $c_i$  درصد مشارکت توصیفگر حذف شده  $\Delta m$ ،  $N$  تعداد توصیفگرهای مدل و  $\Delta m_i$  میانگین خطای مطلق حاصل از سری ارزیابی در غیاب توصیفگر  $\Delta m$  را نشان می‌دهد. که بر این اساس درصد مشارکت توصیفگرهای منتخب در ترکیبات مورد بررسی در شکل‌های (۱۲-۳) و (۱۳-۳) ارائه شده است.



شکل (۱۲-۳)- درصد مشارکت توصیفگرهای در مدل بهینه



شکل (۱۳-۳)- درصد مشارکت توصیفگرهای در مدل بهینه

بر اساس شکل‌های فوق، توصیف کننده‌ی Jhetp در مدل SW-ANN و توصیف کننده‌ی XOA در مدل GA-ANN بیشترین مشارکت را دارا می‌باشند. این توصیفگرهای اطلاعاتی راجع به ساختمان، اندازه، شکل، تقارن، شاخه‌دار شدن، نحوه اتصال اتم‌ها و نوع اتم‌های موجود در یک مولکول را در اختیار ما قرار می‌دهند. و با افزایش مقدار این توصیفگرهای باعث افزایش  $IC_{50}$  می‌شود.

### ۳-۳- نتیجه گیری

در این فصل از روش‌های مختلف کمومتریکس برای پیش‌بینی فعالیت ترکیبات دارویی ( $IC_{50}$ )، مشتقات هموپیپرازین، دی‌آمین، ۳-آمینوپیروولیدین، استفاده شده است. از آنجایی که اندازه‌گیری فعالیت دارویی بیشتر ترکیبات به صورت تجربی با صرف هزینه، زمان و پیچیدگی زیاد همراه است، دست یابی به مقدار  $IC_{50}$ ، با روش‌های تجربی مقرن به صرفه نیست. بنابراین، پیش‌بینی آن با استفاده از کمومتریکس از اهمیت بالایی برخوردار است.

برای انتخاب توصیفگرهای مناسب از روش‌های SR و GA استفاده شد. سپس این توصیفگرهای برای مدل سازی خطی و غیر خطی مورد استفاده قرار گرفت.

نتایج جدول (۳-۲۴) نشان می‌دهد که از بین شش روش استفاده شده، روش GA-SVM با مقدار ضریب تعیین بیشتر و MSE کمتر، روش مناسبی برای پیش‌بینی فعالیت ترکیبات دارویی است. در نتیجه ماشین بردار پشتیبان روش کارآمدی برای پیش‌بینی فعالیت ترکیبات دارویی است.

#### ۴-۳- آینده‌نگری

برای انتخاب توصیفگرهای مناسب و معتبر می‌توان از سایر روش‌ها مثل الگوریتم جستجوی ممنوع<sup>۱</sup>، الگوریتم اجتماع مورچگان<sup>۲</sup> و الگوریتم بهینه سازی جمعیت ذره‌ها<sup>۳</sup> استفاده نمود و نتایج را با این کار مقایسه کرد.

برای مدل سازی می‌توان از روش‌های حداقل مربعات ماشین‌های بردار پشتیبان (LS-SVM)<sup>۴</sup> و سیستم استنتاج فازی-عصبی سازگار (ANFIS)<sup>۵</sup> استفاده کرد.

---

۱- Tabu Search  
۲- Ant Colony Optimization  
۳- Honey-bee Matikg Optimization Algorithm  
۴- Least Square Support Vector Machines  
۵- Adaptive neuron-fuzzy inference system



## **فصل چهارم**

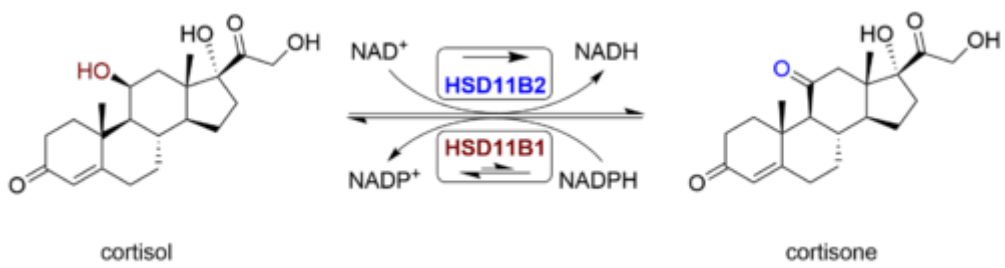
**مطالعه ارتباط کمی ساختار – فعالیت مشتقات**

**آریل سولفونیل پیپرازین با استفاده روش های**

**خطی و غیر خطی**

## ۱-۴ - مقدمه

در بدن انسانها آنزیم<sup>۱</sup> 11 $\beta$ -HSD1 عمل تبدیل گلوکوکورتیکوئید کورتیزون غیرفعال را به شکل فعال آن یعنی کورتیزول برعهده دارد. تنظیم مقدار گلوکوکورتیکوئید توسط<sup>۲</sup> HPA صورت می‌گیرد و عمل معکوس تبدیل کورتیزول به کورتیزون توسط 11 $\beta$ -HSD2 صورت می‌گیرد.



شکل ۱-۴- برهمنکش میان کورتیزون و کورتیزول توسط 11 $\beta$ -HSD1 و 11 $\beta$ -HSD2 .[۴۸]

عدم تنظیم گلوکوکورتیکوئیدها در کبد و بافت‌های چرب بدن باعث ایجاد بیماری‌های مانند دیابت و سیندرم می‌شود. بنابرین تنظیم زیادی میزان کورتیزول توسط بازدارنده‌های 11 $\beta$ -HSD1 ممکن است برای معالجه دیابت‌ها بسیار مفید باشد. همچنین بازدارنده‌های 11 $\beta$ -HSD1 می‌توانند برای معالجه سیندرم و بیماری‌های قلبی عروقی بکار برد شوند. قدرت بالای تنظیم غلظت کورتیزول در کبد و بافت‌های چرب بدن بدون اثرات سیستماتیکی انتشار غلظت توسط بازدارنده‌های 11 $\beta$ -HSD1 باعث ایجاد انگیزه در بررسی میزان بازدارنده‌گی آنها گردیده است [۴۸].

در سال ۲۰۰۲ بارف و همکارانش ۲-آمینوتیازول سولفونامید را به عنوان اولین بازدارنده‌های 11 $\beta$ -HSD1 گزارش کردند. سپس بازدارنده‌های مختلفی توسط گروههای دیگر گزارش شد [۴۹]. در این کار تعدادی از ترکیبات آریل سولفونیل پیپرازین‌ها به عنوان بازدارنده‌های 11 $\beta$ -HSD1 که در سال ۲۰۰۸ توسط سان و همکارانش گزارش شده است، توسط روشهای کمومتريکس جهت مدل سازی مورد بررسی قرار گرفتند.

۱- 11 $\beta$ -hydroxysteroid dehydrogenase type 1  
۲- Hypothalamic–pituitary–adrenal axis

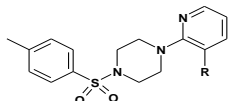
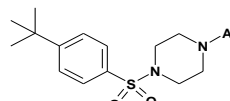
## ۴-۲-۴- انتخاب سری داده‌ها

سری داده‌ها شامل فعالیت دارویی ۴۲ ترکیب از آریل سولفونیل پیپرازین توسط روش‌های کمومتریکس مورد بررسی قرار گرفت (جدول ۱-۴) [۴۸]. در این کار قدرت بازدارندگی این ترکیبات به صورت  $IC_{50}$  گزارش شده است.  $IC_{50}$  عبارتست از مینیمم غلظتی از ترکیب دارویی که باعث  $\%50$  اثر بازدارندگی بر روی بیماری می‌شود. این مقادیر به مقیاس لگاریتمی ( $pIC_{50}$ ) تبدیل شده و مورد استفاده قرار گرفته است.

جدول (۱-۴)- ساختار ترکیبات مورد استفاده و مقدار  $pIC_{50}$  آنها

|     |                                    |            |
|-----|------------------------------------|------------|
| No. | X                                  | $pIC_{50}$ |
| ۱   | 4-Me-Ph                            | ۷/۸۰       |
| ۲   | -SO <sub>2</sub> -                 | ۷/۳۵       |
| ۳   | -C(O)-                             | ۶/۵۸       |
| ۵   | -CH <sub>2</sub> -                 | ۶/۲۶       |
| ۶   | -CH <sub>2</sub> SO <sub>2</sub> - | ۷/۷۰       |
|     |                                    |            |
| No. | R                                  | $pIC_{50}$ |
| ۷   | 4-Et-Ph                            | ۷/۷۴       |
| ۸   | 4-Pr-Ph                            | ۷/۸۰       |
| ۹   | 4-iPr-Ph                           | ۷/۸۲       |
| ۱۰  | 4-tBu-Ph                           | ۸/۴۰       |
| ۱۱  | 4-F-Ph                             | ۷/۳۴       |
|     |                                    |            |

ادامه جدول (۱-۴)

|   |                       |                   |
|---|-----------------------|-------------------|
| ۱۲  | 4-Cl-Ph               | ۷/۸۵              |
| ۱۳  | 4-CF <sub>3</sub> -Ph | ۷/۸۵              |
| ۱۴  | 4-OMe-Ph              | ۷/۷۲              |
| ۱۵  | 4-NO <sub>2</sub> -Ph | ۷/۴۳              |
| ۱۶  | 4-CN-Ph               | ۷/۳۰              |
| ۱۷  | 4-Ph-Ph               | ۷/۱۳              |
| ۱۸  | 2-Naphthyl            | ۷/۸۹              |
| ۱۹  | 3-Naphthyl            | ۷/۸۹              |
| ۲۰  | 3-Cl-Ph               | ۷/۲۹              |
| ۲۱  | 3-CF <sub>3</sub> -Ph | ۷/۱۹              |
| ۲۲  | 2,4-diCl-Ph           | ۸/۱۵              |
|   |                       |                   |
| No.   | R                     | pIC <sub>50</sub> |
| ۲۴  | CH <sub>3</sub>       | ۶/۸۲              |
| ۲۵  | Cl                    | ۶/۹۳              |
| ۲۶  | NO <sub>2</sub>       | ۶/۵۴              |
| ۲۷  | CN                    | ۶/۲۰              |
|  |                       |                   |
| No.   | Ar                    | pIC <sub>50</sub> |
| ۲۸  | 2-CF <sub>3</sub> -Ph | ۷/۸۲              |
| ۲۹  | 2-Me-Ph               | ۷/۴۹              |
| ۳۰  | 2-Cl-Ph               | ۷/۰۲              |
| ۳۱  | (2-F)Ph               | ۶/۹۷              |
| ۳۲  | 2-NO <sub>2</sub> -Ph | ۷/۴۳              |
| ۳۳  | 4-NO <sub>2</sub> -Ph | ۸/۰۰              |
| ۳۴  | 4-Cl-Ph               | ۷/۰۶              |
| ۳۵  | 4-Me-Ph               | ۶/۴۱              |
| ۳۶  | 4-F-Ph                | ۷/۳۸              |
| ۳۷  | 4-OMe-Ph              | ۶/۶۳              |

ادامه جدول (۱-۴)

| No. | Ring                           | pIC <sub>50</sub> |
|-----|--------------------------------|-------------------|
| ۳۸  |                                | ۸/۵۲              |
| ۳۹  |                                | ۸/۰۵              |
| ۴۰  |                                | ۷/۷۷              |
| ۴۱  |                                | ۷/۲۴              |
| ۴۲  |                                | ۷/۲۱              |
|     |                                |                   |
| No. | Ar                             | pIC <sub>50</sub> |
| ۴۳  | R-3-CF <sub>3</sub> -2-Pyridyl | ۷/۹۶              |
| ۴۵  | R-4-NO <sub>2</sub> -Ph        | ۷/۵۴              |

#### ۴-۲-۱- رسم و بهینه سازی ساختار مولکول ها

جهت رسم و بهینه سازی ساختار مولکول ها همانند روش گفته شده در بخش ۱-۳-۲ انجام شد.

#### ۴-۲-۲- محاسبه توصیفگر ها

جهت محاسبه توصیفگرها به وسیله نرم افزار Dragon و به صورت شرح داده شده در بخش ۱-۳-

۳ انجام شد.

### ۴-۲-۳- انتخاب توصیفگرها به روش الگوریتم ژنتیک

لازم به ذکر است که در این بخش جهت انتخاب متغیر، فقط از روش الگوریتم ژنتیک استفاده شده است. در فصل دوم مفاهیم و اصول الگوریتم ژنتیک مطرح گردید. همانطور که پیشتر توضیح داده شد، هدف از اجرای الگوریتم حاضر شناسایی ترکیبی از توصیفگرهای است، به گونه ای که برای پیش بینی pIC<sub>50</sub> مشتقات آریل سولفونیل پیپرازین بوسیله روش های MLR، ANN و SVM مورد استفاده قرار گیرند. در فرایند اجرای این الگوریتم، ابتدا به صورت اتفاقی یک جمعیت اولیه از توصیف کننده ها تولید می شود، برازنده گی یا شایستگی تک تک اعضای هر نسل یعنی توصیفگرها، محاسبه و با توجه به شایستگی ها، نسل های بعدی با اعمال سه عملگر جمعیت، پیوند و جهش تولید یا باز ترکیب می شوند. این روند جستجو برای جمعیت های مختلف تا حصول ملاک خاتمه ادامه می باشد. مقادیر بهینه شده ای برنامه استفاده شده در الگوریتم ژنتیک یک برنامه بهینه شده می باشد. مقداری برای این پارامترهای جمعیت، پیوند و جهش به ترتیب ۰/۵، ۳۰ و ۰/۱ می باشد. پنج توصیفگر انتخاب شده توسط الگوریتم ژنتیک برای سری داده ها در جدول (۴-۲) آورده شده است.

جدول (۴-۲)- توصیفگرهای انتخاب شده توسط الگوریتم ژنتیک

| نیاز    | نام کامل  | اثر متوسط |
|---------|---|-----------|
| VRA2    | Average connectivity index chi-0                                | ۲/۲۰۰     |
| GATS5e  | Average connectivity index chi-5                                | ۲/۲۹۰     |
| RDF040m | Mean distance degree deviation                                  | -۰/۷۹۵    |
| RDF035p | Partial charge weighted topological electronic descriptor       | ۰/۸۶۴     |
| Te      | Radial distribution function – 14.5 / weighted by atomic masses | -۳/۵۶۰    |

#### ۴-۲-۴- ارزیابی مستقل بودن توصیفگرهای انتخاب شده

به منظور ارزیابی توصیفگرهای انتخاب شده مبنی بر مستقل بودن از همدیگر در جدول (۳-۴) ماتریس همبستگی توصیفگرهای انتخاب شده آورده شده است. همانطور که در این جدول مشاهده می‌شود ضریب همبستگی بین توصیفگرهای انتخاب شده همگی کمتر از ۰/۹ می‌باشد. لذا نتایج جدول نشان می‌دهد توصیفگرهای انتخاب شده مستقل از یکدیگر هستند.

جدول (۳-۴)- ماتریس ضرایب همبستگی توصیفگرهای انتخاب شده

|         | VRA2   | GATS5e | RDF040m | RDF035p | Te |
|---------|--------|--------|---------|---------|----|
| VRA2    | ۱      |        |         |         |    |
| GATS5e  | -۰/۱۴۶ | ۱      |         |         |    |
| RDF040m | -۰/۲۹۵ | -۰/۲۱۲ | ۱       |         |    |
| RDF035p | ۰/۴۴۱  | -۰/۰۳۶ | -۰/۲۶۳  | ۱       |    |
| Te      | ۰/۸۹۳  | -۰/۲۳۲ | -۰/۲۳۳  | ۰/۶۷۲   | ۱  |

#### ۴-۲-۵- مدل رگرسیون خطی چندگانه با استفاده از توصیفگرهای انتخاب شده توسط

##### الگوریتم ژنتیک

پس از انتخاب مناسب ترین توصیف کننده‌ها توسط الگوریتم ژنتیک، مدل سازی بین توصیف کننده‌ها و فعالیتهای بازدارندگی مشتقات آریل سولفونیل پیپرازین برای سری آموزش با استفاده از روش MLR انجام و مدل خطی زیر بدست آمد:

$$pIC_{50} = 8.301 (\pm 0.723) - 0.255 (\pm 0.058) VRA2 - 1.807 (\pm 0.359) GATS5e + 0.047 (\pm 0.012) RDF040m - 0.069 (\pm 0.017) RDF035p + 0.174 (\pm 0.025) Te$$

سپس از معادله بدست آمده برای پیش‌بینی فعالیت سری تست استفاده گردید. مقادیر واقعی و پیش‌بینی شده فعالیت‌ها برای تمام ترکیبات در پیوست (پ-۲) آورده شده است.

## ۴-۲-۶- مدل شبکه عصبی مصنوعی با استفاده از توصیفگرهای انتخاب شده توسط

### الگوریتم ژنیک

در این بخش نیز از شبکه عصبی سه لایه مشکل از یک لایه ورودی، یک لایه پنهان و یک لایه خروجی استفاده شد.

## ۴-۲-۱- انتخاب تعداد گره های لایه پنهان، تعداد متغیر ورودی، نوع آموزش و نوع

### تابع انتقال

شبکه با ورودی های از ۲ تا ۵ توسط دو الگوریتم آموزشی لونبرگ-مارکوارت و تنظیم بازیزن، با تعداد متفاوت گره در لایه پنهان از ۲ تا ۱۰ و همچنین توابع لگاریتمی سیگموئیدی(logsig) و تائزانت سیگموئیدی(tansig)، عنوان توابع انتقال لایه پنهان، آموزش داده شد. در تمامی این شبکه ها تعداد دورهای آموزش ثابت و برابر ۱۰۰ در نظر گرفته شد. همچنین از تابع انتقال خطی(purelin) در لایه خروجی استفاده شد. معیار نیز به حداقل رساندن مربع خطای مربع (MSE) برای سرس ارزیابی در نظر گرفته شد که نتایج این محاسبات در جداول (۴-۴)، (۵-۴)، (۶-۴) و (۷-۴) آورده شده است.

جدول (۴-۴)- مقادیر میانگین مربعات خطای سری ارزیابی برای شبکه با الگوریتم آموزشی تنظم بازیزن و تابع انتقال تائزانت سیگموئیدی با تعداد ورودی های مختلف و تعداد گره های متفاوت در لایه پنهان

| تعداد متغیرهای ورودی شبکه (تعداد توصیفگرهای<br>تابع انتقال) | تعداد گره های پنهان |       |       |       |   |
|---|---------------------|-------|-------|-------|---|
|   | ۲                   | ۳     | ۴     | ۵     | ۶ |
| ۲   | ۰/۲۸۴               | ۰/۲۳۶ | ۰/۲۴۳ | ۰/۱۴۷ |   |
| ۳   | ۰/۲۷۹               | ۰/۲۴۰ | ۰/۲۷۴ | ۰/۱۲۹ |   |
| ۴   | ۰/۲۷۸               | ۰/۴۴۸ | ۰/۴۴۸ | ۰/۱۷۷ |   |
| ۵   | ۰/۲۷۷               | ۰/۲۳۲ | ۰/۴۴۸ | ۰/۲۲۵ |   |
| ۶   | ۰/۲۷۷               | ۰/۲۳۱ | ۰/۲۷۸ | ۰/۲۳۱ |   |
| ۷   | ۰/۲۷۷               | ۰/۲۵۳ | ۰/۲۳۷ | ۰/۱۳۶ |   |
| ۸   | ۰/۲۷۷               | ۰/۲۳۳ | ۰/۲۳۶ | ۰/۲۰۱ |   |
| ۹   | ۰/۲۷۶               | ۰/۲۳۰ | ۰/۲۶۲ | ۰/۱۳۸ |   |
| ۱۰  | ۰/۲۷۶               | ۰/۲۳۳ | ۰/۲۴۳ | ۰/۱۳۸ |   |

جدول (۵-۴)- مقادیر میانگین مربعات خطای سری ارزیابی برای شبکه با الگوریتم آموزشی لونبرگ-مارکوات و تابع انتقال تانژانت سیگموئیدی با تعداد ورودی های مختلف و تعداد گره های متفاوت در لایه پنهان

| تعداد گره های متفاوت | تعداد متغیرهای ورودی شبکه(تعداد توصیفگرها) |       |       |       |  |
|----------------------|--|-------|-------|-------|--|
|                      | ۲  | ۳     | ۴     | ۵     |  |
| ۲                    | ۰/۶۶۹                                      | ۱/۰۵۱ | ۰/۲۵۹ | ۲/۶۷۲ |  |
| ۳                    | ۰/۳۴۲                                      | ۵/۲۵۸ | ۰/۵۶۳ | ۰/۴۱۴ |  |
| ۴                    | ۱/۳۱۴                                      | ۰/۴۹۱ | ۲/۱۵۰ | ۰/۱۴۵ |  |
| ۵                    | ۰/۴۸۷                                      | ۱/۲۸۳ | ۲/۲۱۸ | ۰/۴۶۳ |  |
| ۶                    | ۰/۴۳۶                                      | ۱/۶۴۸ | ۲/۸۶۲ | ۰/۴۸۱ |  |
| ۷                    | ۰/۵۴۲                                      | ۳/۵۴۴ | ۰/۳۱۹ | ۰/۳۹۶ |  |
| ۸                    | ۰/۲۳۱                                      | ۰/۳۴۸ | ۰/۷۴۴ | ۰/۴۷۱ |  |
| ۹                    | ۳/۲۳۲                                      | ۱/۲۶۶ | ۱/۶۲۳ | ۰/۳۶۹ |  |
| ۱۰                   | ۰/۰۹۶                                      | ۰/۹۱۳ | ۱/۷۱۳ | ۰/۴۶۳ |  |

جدول (۶-۴)- مقادیر میانگین مربعات خطای سری ارزیابی برای شبکه با الگوریتم آموزشی لونبرگ-مارکوات و تابع انتقال لگاریتم سیگموئیدی با تعداد ورودی های مختلف و تعداد گره های متفاوت در لایه پنهان

| تعداد گره های متفاوت | تعداد متغیرهای ورودی شبکه(تعداد توصیفگرها) |       |       |       |  |
|----------------------|--|-------|-------|-------|--|
|                      | ۲  | ۳     | ۴     | ۵     |  |
| ۲                    | ۰/۳۰۱                                      | ۰/۴۵۳ | ۰/۳۱۵ | ۴/۴۸۸ |  |
| ۳                    | ۰/۳۷۸                                      | ۱/۷۲۰ | ۰/۳۶۷ | ۰/۲۳۸ |  |
| ۴                    | ۱/۴۹۰                                      | ۳/۵۹۸ | ۵/۷۸۱ | ۰/۳۱۲ |  |
| ۵                    | ۰/۹۱۶                                      | ۰/۸۰۸ | ۱/۴۲۷ | ۰/۳۵۰ |  |
| ۶                    | ۳/۹۴۹                                      | ۱/۳۴۹ | ۲/۱۴۷ | ۰/۹۴۷ |  |
| ۷                    | ۰/۳۹۸                                      | ۵/۳۵۷ | ۲/۸۹۲ | ۰/۴۴۹ |  |
| ۸                    | ۰/۷۱۲                                      | ۰/۳۳۷ | ۱/۱۳۹ | ۰/۳۱۴ |  |
| ۹                    | ۱/۷۲۶                                      | ۱/۰۴۴ | ۱/۷۹۸ | ۰/۳۹۴ |  |
| ۱۰                   | ۳/۲۴۹                                      | ۲/۸۶۲ | ۱/۶۸۴ | ۰/۳۶۹ |  |

جدول (۷-۴)- مقادیر میانگین مربعات خطای سری ارزیابی برای شبکه با الگوریتم آموزشی تنظیم بازیزن و تابع انتقال

| تعداد<br>متغیرهای<br>بروگرد | تعداد متغیرهای ورودی شبکه(تعداد توصیفگرهای) |       |       |       |  |
|-----------------------------|---|-------|-------|-------|--|
|                             | ۲   | ۳     | ۴     | ۵     |  |
| ۲                           | ۰/۲۸۳                                       | ۰/۲۳۶ | ۰/۲۴۱ | ۰/۱۴۸ |  |
| ۳                           | ۰/۲۷۹                                       | ۰/۴۰۸ | ۰/۲۴۱ | ۰/۱۳۶ |  |
| ۴                           | ۰/۲۷۷                                       | ۰/۲۳۲ | ۰/۲۳۶ | ۰/۴۴۸ |  |
| ۵                           | ۰/۲۷۷                                       | ۰/۲۳۱ | ۰/۴۴۸ | ۰/۲۱۹ |  |
| ۶                           | ۰/۲۷۷                                       | ۰/۲۳۱ | ۰/۲۳۶ | ۰/۲۹۹ |  |
| ۷                           | ۰/۲۷۶                                       | ۰/۲۳۱ | ۰/۲۳۴ | ۰/۱۳۶ |  |
| ۸                           | ۰/۲۷۶                                       | ۰/۲۳۱ | ۰/۲۳۵ | ۰/۱۱۶ |  |
| ۹                           | ۰/۲۷۶                                       | ۰/۲۳۱ | ۰/۲۳۴ | ۰/۱۳۷ |  |
| ۱۰                          | ۰/۲۷۶                                       | ۰/۲۳۲ | ۰/۲۳۳ | ۰/۱۴۷ |  |

طبق نتایج موجود در

جدول (۸-۴) میانگین مربعات خطای (MSE) برای الگوریتم آموزشی تنظیم بازیزن نسبت به الگوریتم آموزشی لونبرگ-مارکوارت بیشتر است. همچنین تائزانت سیگموئیدی نسبت به لگاریتم سیگموئیدی خطای کمتری دارد. در نتیجه تابع تائزانت سیگموئیدی به عنوان تابع انتقال لایه پنهان برگزیده شده است. طبق نتایج به دست آمده از جداول، تعداد ۲ توصیفگر به عنوان تعداد بهینه ورودی ها برای شبکه و تعداد ۱۰ گره نیز به عنوان تعداد بهینه گره ها در لایه پنهان انتخاب شدند.

جدول (۸-۴) توابع و پارامترهای بهینه شده شبکه های بهینه (SR-ANN) بدست آمده

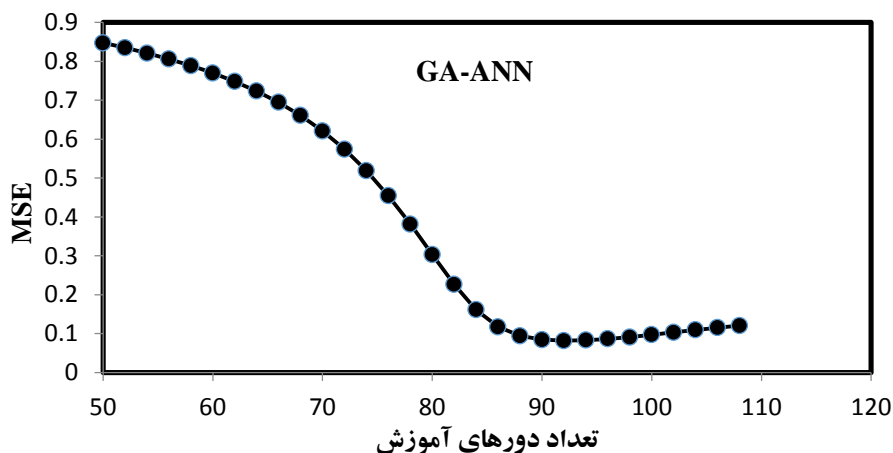
| MSE   | تعداد دور آموزش | تعداد نرون لایه پنهان | تعداد توصیف کننده | تابع آموزش      | تابع انتقال     |
|-------|-----------------|-----------------------|-------------------|-----------------|-----------------|
| ۰/۱۱۶ | ۱۰۰             | ۸                     | ۵                 | تنظیم بازیزن    | لگاریتم سیگموید |
| ۰/۲۳۸ | ۱۰۰             | ۳                     | ۵                 | لونبرگ-مارکوارت | لگاریتم سیگموید |
| ۰/۱۲۹ | ۱۰۰             | ۳                     | ۵                 | تنظیم بازیزن    | تائزانت سیگموید |
| ۰/۰۹۶ | ۱۰۰             | ۱۰                    | ۲                 | لونبرگ-مارکوارت | تائزانت سیگموید |

## ۴-۲-۶-۲- انتخاب تعداد دورهای آموزش

بدین منظور و جهت انتخاب تعداد دورهای بهینه، شبکه با الگوریتم لونبرگ-مارکوارت، ۲ توصیفگر به عنوان ورودی و ۱۰ گره در لایه پنهان وتابع انتقال تانژانت سیگموئیدی در تعداد دورهای متفاوت، آموزش داده شد و میانگین مربع خطاهای برای سری ارزیابی ثبت گردید. جدول (۹-۴) و شکل (۹-۴) نشان می‌دهد که مقدار میانگین مربع خطاهای آموزش ۹۲ به حداقل می‌رسد. بنابراین ۹۲ بار تکرار به عنوان تکرارهای بهینه برای یادگیری شبکه انتخاب شد.

جدول (۹-۴)- مقادیر میانگین مربع خطاهای برای سری ارزیابی در تعداد دورهای آموزش مختلف

| تعداد تکرار | میانگین مربع خطاهای آموزش |
|-------------|---------------------------|-------------|---------------------------|-------------|---------------------------|-------------|---------------------------|-------------|---------------------------|
| ۵۰          | ۰/۸۴۷                     | ۶۲          | ۰/۷۴۸                     | ۷۴          | ۰/۵۱۸                     | ۸۶          | ۰/۱۱۷                     | ۹۸          | ۰/۰۹۱                     |
| ۵۲          | ۰/۸۳۴                     | ۶۴          | ۰/۷۲۳                     | ۷۶          | ۰/۴۵۴                     | ۸۸          | ۰/۰۹۴                     | ۱۰۰         | ۰/۰۹۶                     |
| ۵۴          | ۰/۸۲۱                     | ۶۶          | ۰/۶۹۴                     | ۷۸          | ۰/۳۸۱                     | ۹۰          | ۰/۰۸۴                     | ۱۰۲         | ۰/۱۰۳                     |
| ۵۶          | ۰/۸۰۵                     | ۶۸          | ۰/۶۶۰                     | ۸۰          | ۰/۳۰۳                     | ۹۲          | ۰/۰۸۱                     | ۱۰۴         | ۰/۱۰۹                     |
| ۵۸          | ۰/۷۸۹                     | ۷۰          | ۰/۶۲۱                     | ۸۲          | ۰/۲۲۶                     | ۹۴          | ۰/۰۸۲                     | ۱۰۶         | ۰/۱۱۵                     |
| ۶۰          | ۰/۷۷۰                     | ۷۲          | ۰/۵۷۴                     | ۸۴          | ۰/۱۶۱                     | ۹۶          | ۰/۰۸۶                     | ۱۰۸         | ۰/۱۲۰                     |



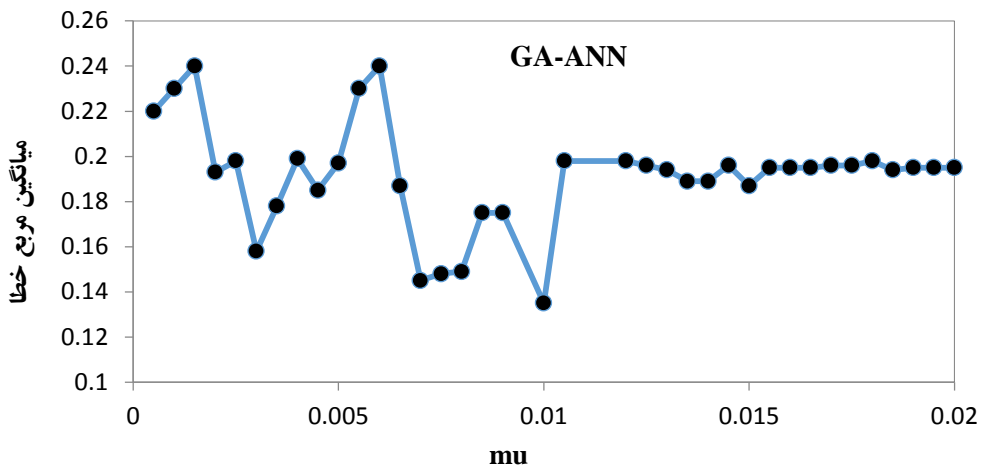
شکل (۹-۴)- منحنی تعداد چرخه های آموزش بر حسب میانگین مربع خطاهای

### ۴-۲-۶-۳- بهینه کردن مقدار mu

جهت بهینه کردن مقدار mu، ساختار شبکه با ۲ متغیر ورودی، ۱۰ گره در لایه پنهان و الگوریتم آموزشی لونبرگ-مارکوارت و تابع انتقال تانژانت سیگموئیدی در نظر گرفته شد. سپس مقدار mu از ۰/۰۰۰۵ تا ۰/۰۲ با گام های ۰/۰۰۰۵ تغییر داده شد و آنگاه برای هر مورد مقدار میانگین مربع خطای سری ارزیابی محاسبه گردید. در نهایت مقدار میانگین مربع خطای mu بر حسب رسم گردید. نقطه ای که کمترین خطای را داشت به عنوان مقدار بهینه انتخاب شد که طبق جدول (۴-۱۰) و شکل (۳-۴) مقدار بهینه ۰/۰۱ بدست آمد.

جدول(۴-۱۰) مقادیر میانگین مربع خطای برای سری ارزیابی در مقادیر مختلف mu

| mu     | میانگین مربع خطای mu | میانگین مربع خطای mu | میانگین مربع خطای mu | میانگین مربع خطای mu | میانگین مربع خطای mu |
|--------|----------------------|----------------------|----------------------|----------------------|----------------------|
| ۰/۰۰۰۵ | ۰/۲۲                 | ۰/۰۰۷۵               | ۰/۱۴۸                | ۰/۰۱۶                | ۰/۱۹۵                |
| ۰/۰۰۱  | ۰/۲۳                 | ۰/۰۰۸                | ۰/۱۴۹                | ۰/۰۱۶۵               | ۰/۱۹۵                |
| ۰/۰۰۱۵ | ۰/۲۴                 | ۰/۰۰۸۵               | ۰/۱۷۵                | ۰/۰۱۷                | ۰/۱۹۶                |
| ۰/۰۰۲  | ۰/۱۹۳                | ۰/۰۰۹                | ۰/۱۷۵                | ۰/۰۱۷۵               | ۰/۱۹۶                |
| ۰/۰۰۲۵ | ۰/۱۹۸                | ۰/۰۱                 | ۰/۱۳۵                | ۰/۰۱۸                | ۰/۱۹۸                |
| ۰/۰۰۳  | ۰/۱۵۸                | ۰/۰۱۰۵               | ۰/۱۹۸                | ۰/۰۱۸۵               | ۰/۱۹۴                |
| ۰/۰۰۳۵ | ۰/۱۷۸                | ۰/۰۱۲                | ۰/۱۹۸                | ۰/۰۱۹                | ۰/۱۹۵                |
| ۰/۰۰۴  | ۰/۱۹۹                | ۰/۰۱۲۵               | ۰/۱۹۶                | ۰/۰۱۹۵               | ۰/۱۹۵                |
| ۰/۰۰۴۵ | ۰/۱۸۵                | ۰/۰۱۳                | ۰/۱۹۴                | ۰/۰۲                 | ۰/۱۹۵                |
| ۰/۰۰۵  | ۰/۱۹۷                | ۰/۰۱۳۵               | ۰/۱۸۹                |                      |                      |
| ۰/۰۰۵۵ | ۰/۲۳                 | ۰/۰۱۴                | ۰/۱۸۹                |                      |                      |
| ۰/۰۰۶  | ۰/۲۴                 | ۰/۰۱۴۵               | ۰/۱۹۶                |                      |                      |
| ۰/۰۰۶۵ | ۰/۱۸۷                | ۰/۰۱۵                | ۰/۱۸۷                |                      |                      |
| ۰/۰۰۷  | ۰/۱۴۵                | ۰/۰۱۵۵               | ۰/۱۹۵                |                      |                      |



شکل (۳-۴)- نمودار میانگین مربع خطأ بر حسب مقادیر مختلف  $\mu$

تابع و مقادیر بهینه شده پارامترهای مختلف شبکه عصبی در جدول (۱۱-۴) ارائه شده است.

جدول (۱۱-۴) توابع و پارامترهای بهینه شده شبکه عصبی

|          |                          |
|----------|--------------------------|
| trainlm  | تابع آموزش               |
| tansig   | تابع انتقال لایه ی پنهان |
| pureline | تابع انتقال لایه ی خروجی |
| ۱۰       | تعداد نرون لایه ی پنهان  |
| ۲        | تعداد متغیرهای ورودی     |
| ۹۲       | تعداد دورهای آموزش       |
| ۰/۰۱     | $\mu$ پارامتر            |

با استفاده از مدل ANN بهینه شده مقادیر فعالیتهای بازدارندگی ترکیبات مورد نظر در مجموعه های

آموزش، ارزیابی و پیش‌بینی مورد محاسبه قرار گرفت و در پیوست (پ-۲) نشان داده شده است.

#### ۷-۲-۴- مدل سازی به روش ماشین بردار پشتیبان (SVM)

در این فصل همانند فصل دوم بهینه سازی سه پارامتر ماشین بردار پشتیبان با استفاده از

توصیفگرهای انتخاب شده به روش GA انجام گرفت که نتایج آن در جدول (۱۲-۴) گزارش شده

است. که این نتایج نشان می‌دهند که ماشین بردار پشتیبان با مقادیر ۲ برای تابع حساسیت وپنایک، ۲۰ برای پارامتر موازنۀی C و ۱۰ برای پارامتر کرنل برای پیش‌بینی  $pIC_{50}$ ، با استفاده از توصیفگرهای منتخب GA می‌باشد. مقادیر فعالیت‌های بازدارندگی ترکیبات مورد نظر در سری آموزش و تست مورد محاسبه و در پیوست (پ-۲) نشان داده شده است.

جدول (۱۲-۴)- مقادیر مختلف پارامترهای ماشین بردار پشتیبان با استفاده توصیفگرهای منتخب GA و MSE آنها

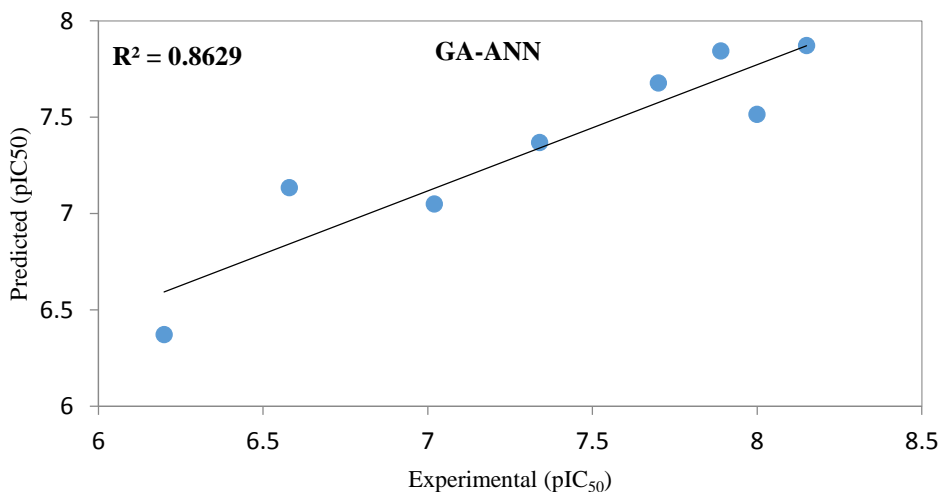
| MSE    | پارامتر کرنل | تابع حساسیت وپنایک | پارامتر موازنۀی C |
|--------|--------------|--------------------|-------------------|
| ۰/۱۱۰۲ | ۰/۱          | ۱                  | ۵۰                |
| ۰/۱۲۲۹ | ۰/۲          | ۱                  | ۵۰                |
| ۰/۱۴۰۹ | ۰/۳          | ۱                  | ۵۰                |
| ۰/۱۶۲۲ | ۰/۴          | ۱                  | ۵۰                |
| ۰/۱۶۹۴ | ۰/۵          | ۱                  | ۵۰                |
| ۰/۱۸۲۶ | ۰/۶          | ۱                  | ۵۰                |
| ۰/۲۰۵۶ | ۰/۷          | ۱                  | ۵۰                |
| ۰/۲۵۱۲ | ۰/۸          | ۱                  | ۵۰                |
| ۰/۳۱۴۹ | ۰/۹          | ۱                  | ۵۰                |
| ۰/۳۹۶۷ | ۱            | ۱                  | ۵۰                |
| ۰/۴۰۳۴ | ۰/۱          | ۱                  | ۵۰                |
| ۰/۱۰۵۳ | ۰/۱          | ۲                  | ۵۰                |
| ۰/۱۱۶۳ | ۰/۱          | ۳                  | ۵۰                |
| ۰/۱۲۴۱ | ۰/۱          | ۴                  | ۵۰                |
| ۰/۱۲۸۵ | ۰/۱          | ۵                  | ۵۰                |
| ۰/۱۳۱۰ | ۰/۱          | ۶                  | ۵۰                |
| ۰/۱۳۲۲ | ۰/۱          | ۷                  | ۵۰                |
| ۰/۱۳۵۶ | ۰/۱          | ۸                  | ۵۰                |
| ۰/۱۴۲۷ | ۰/۱          | ۹                  | ۵۰                |
| ۰/۱۴۴۹ | ۰/۱          | ۱۰                 | ۵۰                |
| ۰/۳۳۲۰ | ۰/۱          | ۲                  | ۱۰                |
| ۰/۳۲۸۷ | ۰/۱          | ۲                  | ۲۰                |
| ۰/۳۳۲۰ | ۰/۱          | ۲                  | ۳۰                |
| ۰/۳۳۲۰ | ۰/۱          | ۲                  | ۴۰                |
| ۰/۳۳۲۰ | ۰/۱          | ۲                  | ۵۰                |
| ۰/۳۳۲۰ | ۰/۱          | ۲                  | ۶۰                |
| ۰/۳۳۲۰ | ۰/۱          | ۲                  | ۷۰                |
| ۰/۳۳۲۰ | ۰/۱          | ۲                  | ۸۰                |
| ۰/۳۳۲۰ | ۰/۱          | ۲                  | ۹۰                |
| ۰/۳۳۲۰ | ۰/۱          | ۲                  | ۱۰۰               |

#### ۴-۲-۸- بررسی نتایج

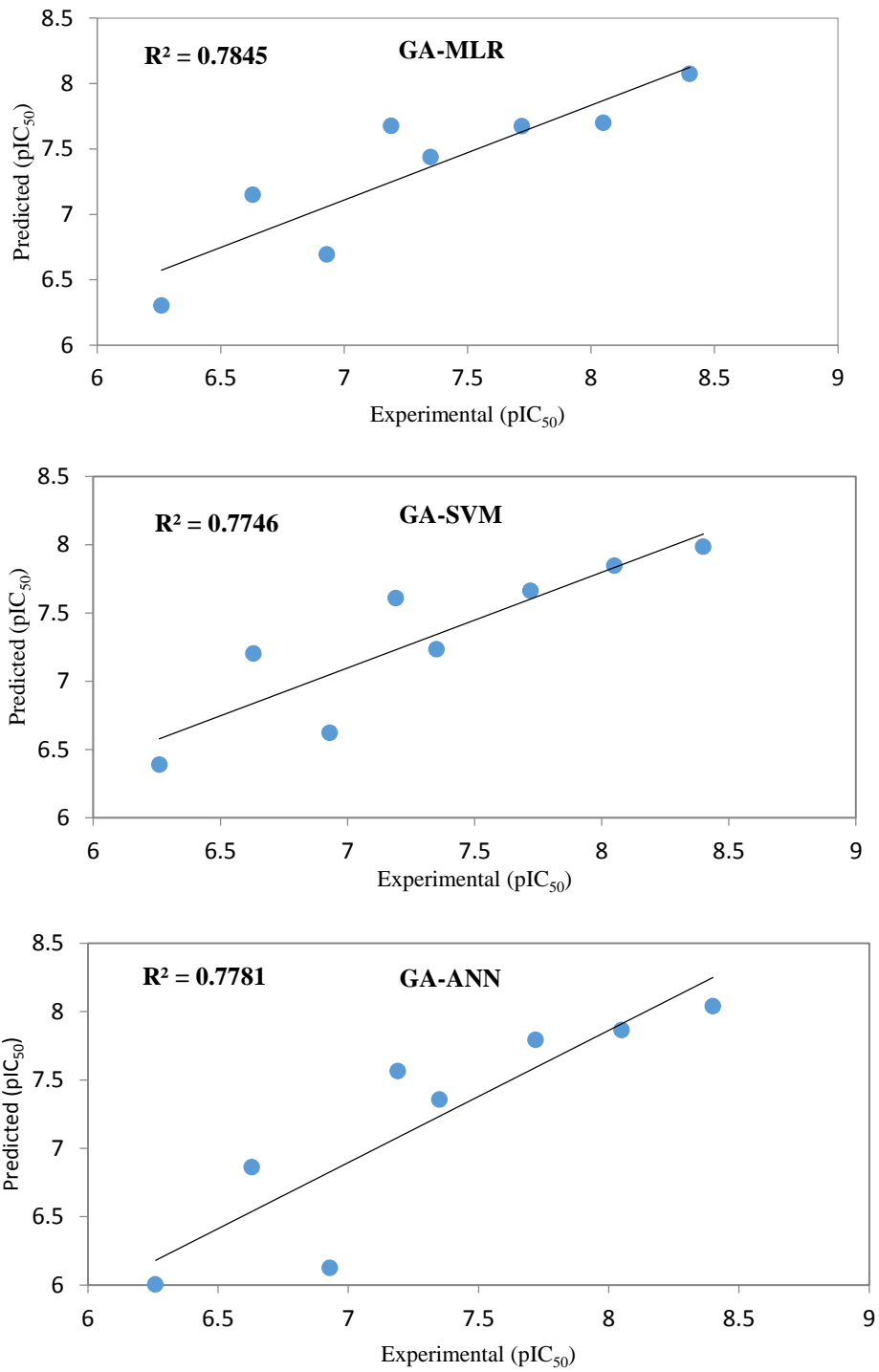
اعتبار و اهمیت معادلات پیش بینی و مدل های ساخته شده وقتی مشخص می گردد که فعالیت مولکول های که در سری تست هستند را به خوبی و بطور رضایت بخش و قابل قبول پیش بینی کند. در اینجا چندین روش به منظور ارزیابی توانایی مدل های ارائه شده در پیش بینی مقادیر  $pIC_{50}$  ذکر شده است.

#### ۴-۲-۱- ارزیابی مدل ها با استفاده از نمودار برگشتی

در نمودار برگشتی مقادیر پیش بینی شده بر حسب مقادیر تجربی رسم می گردد و با توجه به مقدار ضریب تعیین ( $R^2$ ) به دست آمده از نمودار، پراکندگی نقاط در اطراف خط برگشت تعیین می شود. هر چه مقدار ضریب تعیین به یک نزدیک تر باشد، مدل ساخته شده، مدل بهتری است. نتایج حاصل از نمودارهای برگشتی مربوط به سه روش انجام شده در این کار برای سری ارزیابی و تست در شکل های (۴-۴) و (۵-۴) آورده شده است.



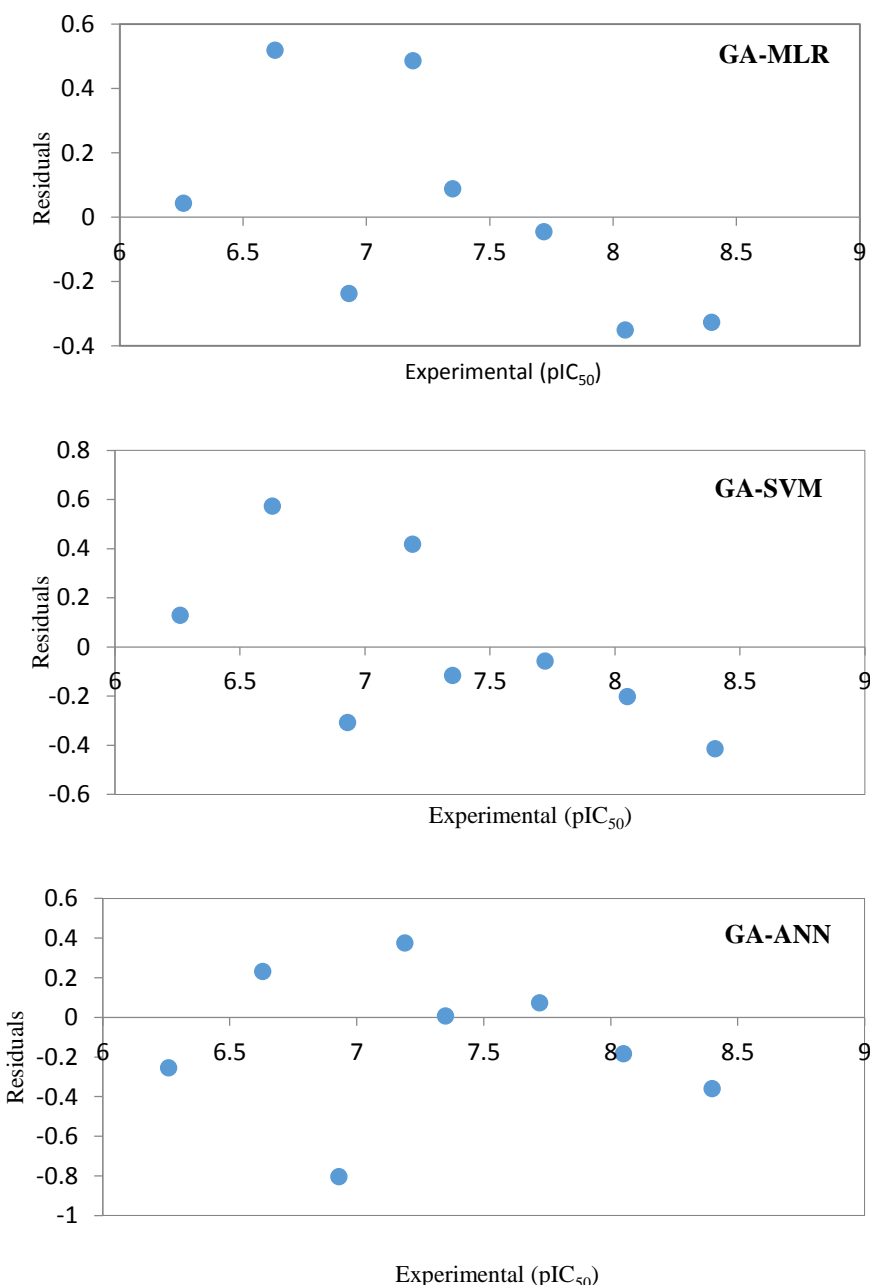
شکل (۴-۴)- نمودار مقادیر پیش بینی شده  $pIC_{50}$  بر حسب مقادیر تجربی برای سری ارزیابی



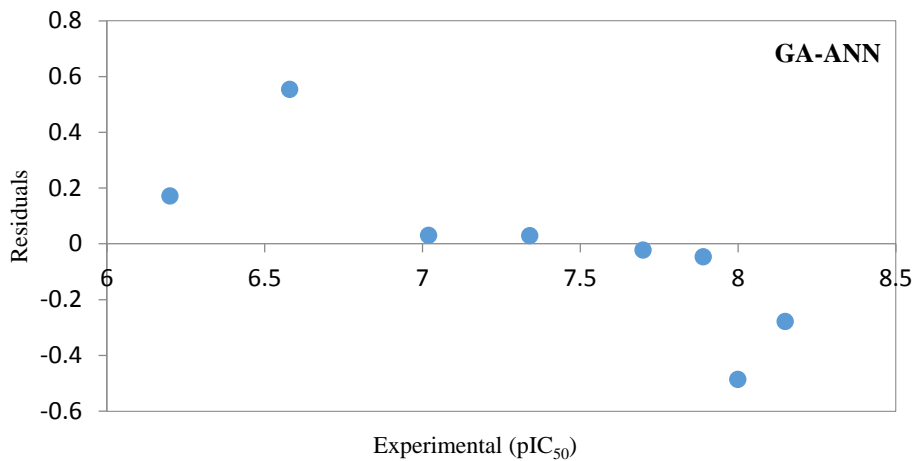
شکل (۴-۵)- نمودار مقادیر پیش بینی شده pIC<sub>50</sub> بر حسب مقادیر تجربی برای سری تست

## ۴-۲-۸-۲- ارزیابی مدل‌ها با استفاده از نمودار خطای باقیمانده

اختلاف مقادیر پیش‌بینی شده و مقادیر تجربی، خطای باقیمانده نامیده می‌شود. پراکندگی یکنواخت نقاط، حول محور افقی که بیانگر خطای باقیمانده‌ی صفر است، نشان‌دهنده‌ی آن است که خطای سیستماتیکی در مدل سازی وجود ندارد. نمودار خطای باقیمانده بر حسب مقادیر تجربی، برای مدل‌های ذکر شده در شکل‌های (۴-۶) و (۴-۷) نشان داده شده است.



شکل (۴-۶)- نمودار مقادیر باقیمانده pIC<sub>50</sub> بر حسب مقادیر تجربی برای سری تست



شکل (۷-۴)- نمودار مقادیر باقیمانده  $pIC_{50}$  بر حسب مقادیر تجربی برای سری ارزیابی

### ۴-۲-۳-۴- ارزیابی مدل های برتر خطی و غیر خطی با استفاده از پارامترهای آماری

مطابق جدول (۱۳-۴) شش پارامتر آماری، جهت ارزیابی توانایی پیش بینی مدل های ساخته شده به روشن های GA-SVM و GA-ANN.GA-MLR کار گرفته شد. نتایج حاصل از جدول (۱۳-۴) نشان می دهد که پارامترهای آماری مختلف برای سری تست مدل های مختلف از جمله  $R^2$  و  $MAE$ .  $MSE$ .  $SEP$  بسیار به یکدیگر نزدیک بوده و این بیانگر این مطلب است که هر سه مدل به کار برده شده توانایی خوبی در پیش بینی  $IC_{50}$  ترکیبات مورد مطالعه دارند.

جدول (۴-۱۳)- پارامترهای آماری برای مدل های انتخاب شده

|       |             | GA-MLR | GA-ANN | GA-SVM |
|-------|-------------|--------|--------|--------|
| MSE   | سری آموزش   | ۰/۰۴۶  | ۰/۰۰۱  | ۰/۰۱   |
|       | سری ارزیابی | -      | ۰/۰۸۱  | -      |
|       | سری تست     | ۰/۱    | ۰/۱۳۴  | ۰/۱۱۱  |
| Press | سری آموزش   | ۱/۵۸۱  | ۰/۰۲۷  | ۰/۲۶۳  |
|       | سری ارزیابی | -      | ۰/۶۵۴  | -      |
|       | سری تست     | ۰/۸۰۲  | ۱/۰۷۹  | ۰/۸۹۰  |
| SEP   | سری آموزش   | ۰/۲۱۵  | ۰/۰۳۲  | ۰/۰۹   |
|       | سری ارزیابی | -      | ۰/۲۸۶  | -      |
|       | سری تست     | ۰/۳۱۶  | ۰/۳۶۶  | ۰/۳۳۵  |
| MAE   | سری آموزش   | ۰/۱۷۵  | ۰/۰۱۸  | ۰/۰۸   |
|       | سری ارزیابی | -      | ۰/۲۰۲  | -      |
|       | سری تست     | ۰/۲۶۱  | ۰/۲۸۶  | ۰/۲۸۶  |
| AAD   | سری آموزش   | ۲/۳۷۵  | ۰/۲۳۷  | ۱/۱۳   |
|       | سری ارزیابی | -      | ۲/۷۹۹  | -      |
|       | سری تست     | ۳/۵۸۹  | ۴/۰۰۱  | ۰/۹۳۶  |
| $R^2$ | سری آموزش   | ۰/۸۲۷  | ۰/۹۹۵  | ۰/۹۷۱  |
|       | سری ارزیابی | -      | ۰/۸۶۲  | -      |
|       | سری تست     | ۰/۷۸۴  | ۰/۷۷۸  | ۰/۷۷۴  |

#### ۴-۲-۸-۴- ارزیابی مدل ها توسط روش رد مرحله ای تک تک و گروهی

به منظور بررسی بیشتر قدرت پیش بینی مدل های خطی و غیر خطی تکنیک رد مرحله ای تک تک و گروهی مورد استفاده قرار گرفت. در روش رد مرحله ای تک تک، هر بار یکی از ترکیبات به طور تصادفی از سری داده ها حذف شدند و در روش رد مرحله ای گروهی، هر بار یک گروه از ترکیبات(۵)

ترکیب) به طور تصادفی از سری داده‌ها حذف شدند. سپس با استفاده از مدل ساخته شده توسط بقیه ترکیبات، فعالیت دارویی ترکیب یا ترکیبات حذف شده، پیش‌بینی شدند. این فرایند برای تمام اعضای سری داده‌ها تکرار شد. نتایج حاصل از رد مرحله‌ای و گروهی در جدول(۱۴-۴) ارائه شده است.

جدول (۱۴-۴)- پارامترهای آماری برای مدل‌های انتخاب شده

|             |            | GA-MLR | GA-ANN | GA-SVM |
|-------------|------------|--------|--------|--------|
| $Q^2_{LOO}$ | کل داده‌ها | ۰/۷۴۸  | ۰/۷۶۸  | ۰/۷۵۴  |
| $Q^2_{LGO}$ | کل داده‌ها | ۰/۷۳۱  | ۰/۷۳۶  | ۰/۷۲۴  |

#### ۴-۲-۸-۵- ارزیابی مدل‌های ارائه شده با استفاده از آزمون Y-تصادفی

این تکنیک ارزیابی مدل، با هدف بررسی هر گونه ارتباط تصادفی بین داده‌ها انجام شد. در این آزمون، متغیر وابسته بطور تصادفی بهم ریخته شد. مدل QSAR جدید با استفاده از ماتریکس متغیرهای مستقل اصلی و مقادیر تصادفی از متغیر وابسته توسعه یافت. اگر در مدل اصلی هیچ گونه ارتباط تصادفی وجود نداشته باشد، تفاوت قابل توجهی بین مقدار ضریب تعیین مدل اصلی و مدل QSAR که با پاسخ تصادفی توسعه یافته، وجود خواهد داشت. نتایج حاصل از چندین بار اجرای آزمون Y-تصادفی در جدول (۱۵-۴) نشان داده شده است. مقادیر کوچک ضریب تعیین ( $R^2$ ) بیانگر عدم ارتباط شانسی در مدل توسعه یافته توسط رگرسیون خطی چندگانه، شبکه عصبی مصنوعی و ماشین بردار پشتیبان می‌باشد.

جدول (۴-۱۵)- نتایج حاصل از ۱۰ بار آزمون Y-تصادفی

| تکرار | $R^2_{\text{test}}$ |        |        |
|-------|---------------------|--------|--------|
|       | GA-MLR              | GA-ANN | GA-SVM |
| ۱     | ۰/۰۳۱۱              | ۰/۰۲۴۸ | ۰/۰۱۲۸ |
| ۲     | ۰/۰۰۴۶              | ۰/۰۱۶۵ | ۰/۱۴۹۷ |
| ۳     | ۰/۰۷۲۶              | ۰/۰۰۹۶ | ۰/۰۰۱۲ |
| ۴     | ۰/۰۰۴۸              | ۰/۱۶۹۸ | ۰/۰۳۵۱ |
| ۵     | ۰/۰۲۱۴              | ۰/۰۳۶۵ | ۰/۰۱۲۷ |
| ۶     | ۰/۱۳۵۰              | ۰/۰۱۲۵ | ۰/۰۰۹۴ |
| ۷     | ۰/۰۰۰۷              | ۰/۰۹۵۴ | ۰/۰۱۰۵ |
| ۸     | ۰/۰۵۰۷              | ۰/۰۷۵۴ | ۰/۰۱۷۴ |
| ۹     | ۰/۱۹۷۴              | ۰/۱۳۲۵ | ۰/۱۴۵۲ |
| ۱۰    | ۰/۰۹۳۹              | ۰/۰۰۷۸ | ۰/۰۹۴۶ |

#### ۴-۲-۹- بررسی ارتباط توصیفگرهای وارد شده در مدل با اثر بازدارندگی

در این بخش به طور خلاصه ارتباط بین توصیفگرهای وارد شده در مدل و اثر بازدارندگی ترکیبات، مورد بررسی قرار خواهد گرفت. با توجه به نتایج به دست آمده در مدل برتر، توصیفگرهای انتخاب شدنده که هر کدام بیانگر خصوصیات متفاوتی از مولکول مورد بررسی است. توصیفگرهای RDF040m، GATS5e، VRA2، RDF035p و Te می‌باشند.

#### ۴-۲-۹-۱- توصیفگرهای RDF<sup>۱</sup>

RDF یاتابع توضیع شعاعی مربوط به یک دسته از اتم ها، معادل توزیع احتمال یافتن یک اتم در

<sup>۱</sup>- Radial Distribution Function Descriptors

فضای کروی به شعاع R است. رابطه (۴-۱) نحوه محاسبه تابع RDF را نشان می‌دهد.

$$g(R) = f \cdot \sum_{i=1}^{N-1} \sum_{j>i}^N A_i \cdot A_j \cdot e^{-B \cdot (R - r_{ij})^2} \quad (4-1)$$

که  $f$  یک فاکتور مقیاس، و N تعداد اتم‌های مولکول است. همچنین  $r_{ij}$  فاصله‌ی بین دو اتم i و j و A یک ویژگی اتمی (وزن دار نشده u، جرم اتمی m، حجم واندروالس v، الکترونگاتیویته e، قطبش پذیری p) است.  $\beta$  یک فاکتور تسهیل کننده است که توزیع احتمال فاصله بین اتمی را مشخص می‌کند و می‌توان از آن به فاکتور دما برای تعریف جنبش اتمی تعبیر کرد. (R)g در نقاط گستره‌ای با فواصل معین محاسبه و با مجموعه‌ای از کدهای RDF با ویژگی‌های مختلف اتمی می‌توان ساختار سه بعدی یک مولکول را به طور واضح توصیف کرد. این توصیف کننده‌ها اهمیت توزیع اتم‌ها در مولکول روی اثر بازدارندگی آن نشان می‌دهد. همچنین این توصیف کننده علاوه بر فاصله اتمی، اطلاعاتی با ارزشی در مورد فاصله پیوند، انواع حلقه، سیستم‌های مسطح و غیر مسطح و نوع اتم‌ها فراهم می‌کند. از این گروه، توصیفگرها RDF035p, RDF040m در مدل ارائه شده برای پیش‌بینی اثر بازدارندگی انتخاب شده‌اند. اثر متوسط توصیفگرهای RDF035p مثبت ذکر شده یعنی با افزایش مقدار این توصیفگرها pIC<sub>50</sub> افزایش می‌یابد و اثر متوسط توصیفگرهای RDF040m منفی ذکر شده یعنی با افزایش مقدار این توصیفگرها pIC<sub>50</sub> نیز کاهش می‌یابد.

## ۴-۹-۲-۲- توصیفگرهای گروه Topological

این توصیفگرها بر اساس نمایش گراف مولکول می‌باشند. در این گراف‌ها هر نقطه نشان‌دهنده‌ی یک اتم بوده و خطوط بین نقاط نیز نشان‌دهنده‌ی پیوند شیمیایی بین اتم‌ها می‌باشد. معمولاً در گراف‌های مولکولی اتم هیدروژن را نشان نمی‌دهند. این توصیفگرها اطلاعاتی راجع به ساختمان، اندازه، شکل، تقارن، شاخه‌دار شدن، نحوه اتصال اتم‌ها و نوع اتم‌های موجود در یک مولکول را در اختیار ما قرار می‌دهند. محاسبه این توصیفگرها به سادگی از روی ساختمان دو بعدی مولکول‌ها

امکان پذیر می‌باشد. از این گروه توصیفگرها در مدل ارائه شده توصیفگر VRA2 انتخاب شد. اثر متوسط برای این توصیفگر مثبت است که نشان می‌دهد با افزایش آن مقدار pIC<sub>50</sub> افزایش می‌باید.

### ۴-۲-۹-۳- توصیفگرهای WHIM

این توصیفگرها که به وسیله گروه تحقیقی تودسچینی<sup>۱</sup> و همکارانش توسعه یافته‌اند حاوی اطلاعات سه بعدی هستند و بر اساس تجزیه اجزاء اصلی ماتریکس کوواریانس وزن دار شده حاصل از کوردینه‌های کارتزین مولکول می‌باشند. اهمیت این توصیفگرها بخاطر تاثیر کنفورماتیون ترکیب در طول برهمکنش با هدف می‌باشد. این توصیفگرها اطلاعات سه بعدی در مورد اندازه، شکل، تقارن و توزیع اتمی در مولکول‌ها در اختیار ما قرار می‌دهند. در رابطه (۴-۲) روش کلی محاسبه این توصیفگرها را بیان می‌کند:

$$S_{jk} = \frac{\sum_{i=1}^A w_i (q_{ij} - \bar{q}_i)(q_{ik} - \bar{q}_k)}{\sum_{i=1}^A w_i} \quad (4-2)$$

که  $S_{jk}$  کوواریانس وزن دار بین کوئوردینه‌های اتمی  $j$  و  $k$ ،  $w_i$  تعداد اتم‌ها،  $A$  کامن اتم،  $q_{ij}$  و  $q_{ik}$  به ترتیب زامین و کامن کوئوردینه‌های کامن اتم و  $\bar{q}$  مقدار میانگین مربوطه را نشان می‌دهند. توصیفگر WHIM به دو دسته مهم تقسیم می‌شوند: توصیفگرهای جهت‌دار<sup>۲</sup> و توصیفگرهای کروی<sup>۳</sup>. گروه توصیفگرهای جهت‌دار توصیفگرهای در مورد اندازه، شکل و تقارن مولکولی در جهت محور اصلی از مولکول ارائه می‌دهند ولی اطلاعات توصیفگرهای کروی با دید کروی از مولکول محاسبه می‌شود. از این دسته توصیفگرها، توصیفگر Te می‌باشد. که اثر متوسط این توصیفگر منفی بوده و اثر منفی روی pIC<sub>50</sub> میگذارد.

۱- Todeschini

۲- Directional WHIM descriptors

۳- Global WHIM descriptors

## ۴-۹-۲-۴- توصیفگرهای<sup>۱</sup> 2D autocorrelation

توصیفگرهای دو بعدی از گراف مولکولی و از طریق محاسبه اوزان اتم‌های انتهایی کل مسیرها با طول مسیر مورد نظر، به دست می‌آیند. نوعی از این توصیفگرهای گروه Geary autocorrelation است که ضریب گری نام دارد و بدین صورت محاسبه می‌شود:

$$C(d) = \frac{\frac{1}{2A} \sum_{i=1}^A \sum_{j=1}^A \delta_{ij} \cdot (w_i - w_j)^2}{\frac{1}{A-1} \sum_{i=1}^A (w_i - \bar{w})^2} \quad (۳-۴)$$

که  $w$  یک ویژگی اتم،  $\bar{w}$  میانگین مقدار آن ویژگی روی مولکول،  $A$  تعداد اتم‌ها و  $d$  فاصله‌ی توپولوژیکی است و  $\delta_{ij}$  نیز که بهتابع کرونکر<sup>۲</sup> معروف است، در حالتی که  $z_{ij} = d$  باشد مقدار این تابع یک است، و در غیر این صورت صفر است و  $\Delta$  نیز مجموعه‌ی  $\delta$  هاست. مقدار این توصیفگرهای که از جنس فاصله است، از صفر تا بی‌نهایت متغیر است. از میان این توصیفگرهای GATS5e وارد مدل برتر شد که نقش خاصیت فیزیکی و الکترونگاتیویته‌ی ساندرسون را بیان می‌کند. این توصیفگر دارای اثر متوسط مثبت بوده، بدین معنی که با افزایش مقدار این توصیفگر،  $pIC_{50}$  افزایش می‌یابد.

## ۴-۱۰-۲-۴- بررسی میزان مشارکت توصیفگرهای منتخب شبکه عصبی

میزان مشارکت توصیفگرهای منتخب به صورت زیر تعیین شد:

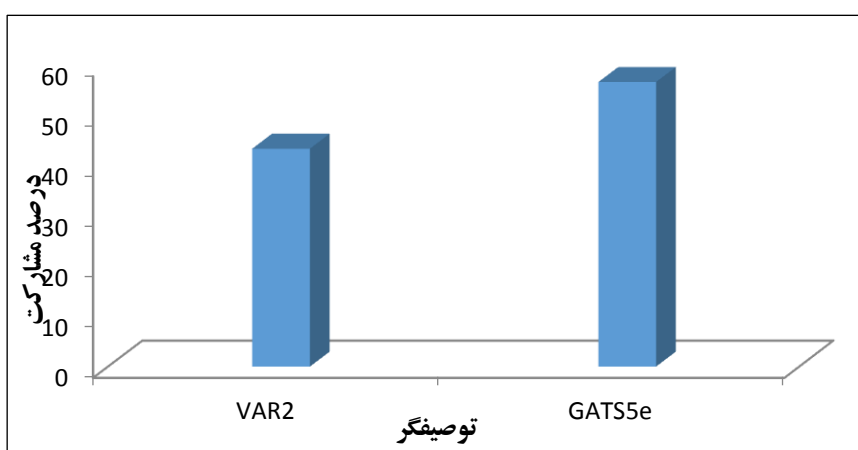
- ۱- توصیفگر مورد نظر به همراه اوزان مربوطه‌اش از شبکه بهینه حذف گردید.
- ۲- مقدار متغیر وابسته با استفاده از توصیفگرهای باقیمانده برای هر یک از ترکیبات سری ارزیابی پیش بینی گردید.
- ۳- میانگین خطای مطلق (MAE) حاصل از ترکیبات سری ارزیابی محاسبه شد.
- ۴- مراحل ۱ تا ۳ برای دیگر توصیفگرهای منتخب نیز تکرا شد.

۱- Reciprocal distance Wiener-type index  
۲- Kronecker

۵- سرانجام درصد مشارکت هر توصیفگر توسط رابطه‌ی (۴-۴) برآورد شد.

$$c_i = 100 \frac{\Delta m_i}{\sum_{i=1}^N \Delta m_i} \quad (4-4)$$

در این رابطه  $c_i$  درصد مشارکت توصیفگر حذف شده  $\Delta m$ ,  $N$  تعداد توصیفگرهای مدل و  $\Delta m_i$  میانگین خطای مطلق حاصل از سری ارزیابی در غیاب توصیفگر  $\Delta m$  را نشان می‌دهد. که بر این اساس درصد مشارکت توصیفگرهای منتخب در ترکیبات مورد بررسی در شکل (۸-۴) ارائه شده است.



شکل (۸-۴)- درصد مشارکت توصیفگرها در مدل بهینه

بر اساس شکل فوق، توصیفگر GATS5 بیشترین اثر مشارکت را دارا می‌باشد. که نقش خاصیت فیزیکی و الکترونگاتیویته‌ی ساندرسون را بیان می‌کند.

### ۳-۴- نتیجه گیری

در این فصل از روش‌های مختلف کمومتریکس برای پیش‌بینی فعالیت ترکیبات دارویی ( $IC_{50}$ ), مشتقات آریل سولفونیل پیپرازین، استفاده شده است. از آنجایی که اندازه‌گیری فعالیت دارویی بیشتر ترکیبات به صورت تجربی با صرف هزینه، زمان و پیچیدگی زیاد همواه است، دست یابی به مقادیر  $IC_{50}$ ، با روش‌های تجربی مقرن به صرفه نیست. بنابراین، پیش‌بینی آن با استفاده از کمومتریکس از

اهمیت بالایی برخوردار است. برای انتخاب توصیفگرهای مناسب از روش GA استفاده شد. سپس این توصیفگرها برای مدل سازی خطی و غیر خطی مورد استفاده قرار گرفت.

نتایج جدول (۱۳-۴) نشان می‌دهد که پارامترهای آماری مختلف برای سری تست مدل‌های مختلف از جمله  $MSE$ ,  $SEP$  و  $R^2$  بسیار به یکدیگر نزدیک بوده و این بیانگر این مطلب است که هر سه مدل به کار برده شده توانایی خوبی در پیش‌بینی  $IC_{50}$  ترکیبات مورد مطالعه دارند.

#### ۴-۴- آینده‌نگری

برای انتخاب توصیفگرهای مناسب و معترض می‌توان از سایر روش‌ها مثل الگوریتم جستجوی ممنوع، الگوریتم اجتماع مورچگان و الگوریتم بهینه سازی جمعیت ذره‌ها استفاده نمود و نتایج را با این کار مقایسه کرد.

برای مدل سازی می‌توان از روش‌های حداقل مربعات ماشین‌های بردار پشتیبان (LS-SVM) و سیستم استنتاج فازی-عصبی سازگار (ANFIS) استفاده کرد.

پیوست

جدول(پ-۱)-مقادیر پیش بینی شده  $pIC_{50}$  برای سری آموزش و ارزیابی\*

| شماره ترکیب | مقدار تجربی | مقادیر پیش بینی شده ( $pIC_{50}$ ) |        |        |        |        |        |
|-------------|-------------|------------------------------------|--------|--------|--------|--------|--------|
|             |             | SR-MLR                             | SR-SVM | SR-ANN | GA-MLR | GA-SVM | GA-ANN |
| ۱           | ۴/۹۶        | ۴/۵۸                               | ۴/۹۵   | ۴/۸۲   | ۴/۶۱   | ۴/۹۵   | ۴/۶۲   |
| ۲           | ۴/۷۲        | ۴/۸۰                               | ۴/۷۳   | ۴/۷۷   | ۴/۸۸   | ۴/۷۳   | ۴/۵۵   |
| ۳           | ۴/۸۹        | ۴/۵۱                               | ۴/۸۸   | ۴/۷۵   | ۴/۷۲   | ۴/۸۸   | ۴/۷۵   |
| ۵           | ۵/۳۹        | ۵/۱۶                               | ۵/۳۸   | ۵/۱۲   | ۵/۴۳   | ۵/۴۰   | ۵/۴۳   |
| *۶          | ۴/۳۵        | ۴/۵۸                               | ۴/۳۶   | ۴/۳۲   | ۴/۹۱   | ۴/۳۵   | ۴/۰۱   |
| ۸           | ۵/۸۲        | ۵/۶۳                               | ۵/۸۱   | ۵/۵۶   | ۵/۶۰   | ۵/۸۱   | ۵/۴۳   |
| ۹           | ۵/۱۵        | ۵/۵۷                               | ۵/۱۶   | ۵/۵۵   | ۵/۲۴   | ۵/۱۳   | ۵/۰۴   |
| ۱۰          | ۴/۴۷        | ۴/۴۹                               | ۴/۰۹   | ۴/۴۶   | ۵/۳۲   | ۴/۴۸   | ۴/۳۵   |
| ۱۱          | ۴/۹۶        | ۵/۶۵                               | ۴/۹۷   | ۵/۶۴   | ۵/۴۴   | ۴/۹۷   | ۵/۳۲   |
| ۱۲          | ۶/۱۵        | ۵/۴۶                               | ۵/۷۸   | ۵/۴۰   | ۵/۶۷   | ۶/۱۴   | ۵/۶۶   |
| *۱۳         | ۵/۱۴        | ۵/۱۴                               | ۵/۳۹   | ۵/۲۵   | ۵/۴۷   | ۵/۴۱   | ۵/۴۳   |
| ۱۵          | ۵/۳         | ۵/۴۶                               | ۵/۳۱   | ۵/۳۶   | ۵/۴۷   | ۵/۳۱   | ۵/۴۵   |
| *۱۷         | ۴/۹۲        | ۵/۲۹                               | ۵/۰۶   | ۵/۲۴   | ۵/۲۵   | ۴/۹۳   | ۴/۷۸   |
| ۱۹          | ۵/۶۲        | ۵/۵۳                               | ۵/۶۱   | ۵/۴۹   | ۵/۷۰   | ۵/۶۳   | ۵/۷۱   |
| ۲۰          | ۵/۳۵        | ۵/۵۸                               | ۵/۳۶   | ۵/۵۳   | ۵/۲۳   | ۵/۳۴   | ۵/۳۴   |
| ۲۱          | ۵/۸۲        | ۵/۴۹                               | ۵/۶۵   | ۵/۴۳   | ۴/۸۵   | ۵/۸۱   | ۵/۷۶   |
| ۲۲          | ۵/۸۲        | ۵/۶۷                               | ۵/۶۹   | ۵/۶۴   | ۵/۵۹   | ۵/۸۱   | ۵/۵۱   |
| *۲۳         | ۵/۰۳        | ۵/۶۴                               | ۵/۱۴   | ۵/۶۱   | ۵/۱۸   | ۵/۰۴   | ۵/۶۲   |
| *۲۴         | ۵/۸۲        | ۵/۴۵                               | ۵/۸۱   | ۵/۳۹   | ۵/۶۸   | ۵/۸۱   | ۵/۷    |
| ۲۶          | ۴/۵۵        | ۳/۹۹                               | ۴/۵۴   | ۴/۱۸   | ۴/۱۷   | ۴/۵۴   | ۴/۴۷   |
| ۲۷          | ۵/۱۳        | ۴/۹۴                               | ۵/۱۲   | ۴/۹۴   | ۴/۹۵   | ۵/۱۳   | ۵/۲۴   |
| *۲۸         | ۴/۵۲        | ۴/۰۹                               | ۴/۵۱   | ۴/۲۷   | ۴/۱۳   | ۴/۵۱   | ۴/۵۲   |
| ۳۰          | ۴/۳۹        | ۴/۷۰                               | ۴/۴۰   | ۴/۸۴   | ۴/۹۳   | ۴/۴۰   | ۴/۸۸   |
| ۳۱          | ۴/۷۷        | ۵/۱۷                               | ۴/۷۸   | ۴/۸۸   | ۴/۹۹   | ۴/۷۷   | ۴/۹۱   |
| ۳۲          | ۵/۱۱        | ۵/۰۵                               | ۵/۱۰   | ۴/۸۷   | ۵/۳۲   | ۵/۱۲   | ۵/۲۱   |
| *۳۴         | ۴/۶۶        | ۴/۸۵                               | ۴/۶۵   | ۴/۶۳   | ۴/۶۳   | ۴/۶۵   | ۵/۰۹   |
| ۳۵          | ۴/۳۸        | ۴/۸۷                               | ۴/۳۹   | ۴/۷۶   | ۴/۹۶   | ۴/۳۹   | ۴/۶۷   |
| ۳۶          | ۵/۱۶        | ۵/۳۰                               | ۵/۲۱   | ۵/۱۶   | ۵/۳۷   | ۵/۱۶   | ۵/۲۳   |
| ۳۷          | ۶/۴۳        | ۵/۸۶                               | ۶/۴۲   | ۵/۸۱   | ۶/۹۲   | ۶/۴۲   | ۵/۸۲   |
| *۳۸         | ۴/۷۲        | ۴/۲۰                               | ۴/۷۱   | ۴/۴۴   | ۴/۴۲   | ۴/۷۱   | ۴/۰۲   |
| ۳۹          | ۴/۴         | ۴/۱۶                               | ۴/۳۹   | ۴/۱۶   | ۴/۳۷   | ۴/۴۰   | ۴/۹۱   |
| ۴۰          | ۴/۱۸        | ۴/۳۱                               | ۴/۱۹   | ۴/۴۶   | ۴/۲۳   | ۴/۱۸   | ۴/۴۴   |
| ۴۱          | ۴/۸۵        | ۴/۷۳                               | ۴/۸۴   | ۴/۸۷   | ۴/۷۸   | ۴/۸۴   | ۴/۶۳   |
| ۴۲          | ۵/۶۴        | ۵/۶۳                               | ۵/۶۵   | ۵/۹۳   | ۶/۰۲   | ۵/۶۵   | ۵/۸۱   |
| *۴۳         | ۴/۳         | ۴/۷۳                               | ۴/۳۱   | ۵/۱۱   | ۴/۴۷   | ۴/۳۱   | ۴/۴۸   |
| ۴۴          | ۴/۱۹        | ۴/۷۶                               | ۴/۲۰   | ۴/۹۵   | ۴/۳۵   | ۴/۲۰   | ۴/۴۲   |

ادامه جدول(پ-۱)

| شماره ترکیب | مقدار تجربی | مقدار پیش بینی شده (pIC <sub>50</sub> ) |        |        |        |        |        |
|-------------|-------------|---|--------|--------|--------|--------|--------|
|             |             | SR-MLR                                  | SR-SVM | SR-ANN | GA-MLR | GA-SVM | GA-ANN |
| ۴۵          | ۴/۹۶        | ۴/۸۵                                    | ۴/۹۵   | ۵/۰۹   | ۴/۷۴   | ۴/۹۵   | ۴/۷۶   |
| *۴۶         | ۵/۲۶        | ۵/۳۲                                    | ۵/۲۷   | ۵/۵۸   | ۵/۴۲   | ۵/۲۷   | ۵/۲    |
| ۴۸          | ۴/۰۶        | ۴/۰۳                                    | ۴/۰۷   | ۴/۱۸   | ۴/۱۸   | ۴/۰۷   | ۴/۲۴   |
| ۵۰          | ۴/۷۷        | ۴/۸۷                                    | ۴/۷۸   | ۴/۹۹   | ۴/۷۲   | ۴/۷۶   | ۴/۶۷   |
| ۵۱          | ۶/۱۸        | ۵/۶۰                                    | ۶/۱۷   | ۵/۸۷   | ۵/۸۴   | ۶/۱۷   | ۵/۴۹   |
| ۵۲          | ۶/۱۳        | ۶/۰۱                                    | ۶/۱۵   | ۵/۹۱   | ۶/۱۱   | ۶/۱۵   | ۶/۰۵   |
| ۵۳          | ۶/۲         | ۶/۲۲                                    | ۶/۲۱   | ۶/۲۲   | ۶/۲۴   | ۶/۲۱   | ۶/۲۲   |
| ۵۴          | ۶/۰۲        | ۶/۴۶                                    | ۶/۰۳   | ۶/۴۶   | ۶/۶۸   | ۶/۰۳   | ۶/۷۶   |
| ۵۵          | ۵/۸۷        | ۶/۴۸                                    | ۵/۹۱   | ۶/۴۶   | ۶/۴۸   | ۵/۸۸   | ۶/۵۵   |
| ۵۶          | ۵/۵۱        | ۶/۳۳                                    | ۵/۷۳   | ۶/۳۰   | ۶/۵۱   | ۵/۵۵   | ۶/۵۸   |
| ۵۷          | ۵/۵         | ۶/۳۵                                    | ۵/۶۷   | ۶/۳۲   | ۶/۲۹   | ۵/۵۱   | ۶/۳۰   |
| ۵۸          | ۶/۷۴        | ۶/۱۳                                    | ۶/۳۸   | ۶/۱۳   | ۶/۲۳   | ۶/۶۹   | ۶/۲۲   |
| ۵۹          | ۶/۹۴        | ۶/۷۱                                    | ۶/۹۳   | ۶/۷۵   | ۶/۷۰   | ۶/۹۳   | ۶/۷۸   |
| ۶۰          | ۶/۹۴        | ۶/۶۹                                    | ۶/۹۳   | ۶/۷۰   | ۶/۶۳   | ۶/۹۳   | ۶/۷۶   |
| ۶۱          | ۷/۲۳        | ۶/۹۸                                    | ۷/۲۲   | ۷/۰۱   | ۷/۰۲   | ۷/۲۲   | ۷/۱۵   |
| ۶۳          | ۶/۹۲        | ۶/۵۹                                    | ۶/۸۲   | ۶/۶۰   | ۶/۷۲   | ۶/۹۳   | ۶/۸۵   |
| ۶۴          | ۶/۶۹        | ۶/۶۵                                    | ۶/۶۸   | ۶/۶۱   | ۶/۵۳   | ۶/۶۸   | ۶/۶۰   |
| *۶۶         | ۶/۵۲        | ۶/۹۶                                    | ۶/۵۳   | ۶/۹۶   | ۶/۰۵   | ۶/۵۱   | ۶/۴۵   |
| ۷۱          | ۷/۲۷        | ۶/۷۱                                    | ۷/۱۳   | ۶/۷۸   | ۶/۹۶   | ۷/۲۶   | ۷/۱۲   |
| ۷۲          | ۶/۵۲        | ۶/۴۱                                    | ۶/۵۱   | ۶/۵۲   | ۶/۴۲   | ۶/۵۱   | ۶/۴۸   |
| *۷۳         | ۶/۸۲        | ۶/۸۳                                    | ۶/۸۳   | ۶/۹۳   | ۶/۷۸   | ۶/۸۳   | ۶/۷۸   |
| *۷۴         | ۶/۱۲        | ۵/۹۱                                    | ۶/۱۱   | ۵/۵۵   | ۵/۷۴   | ۶/۱۱   | ۶/۱    |
| ۷۵          | ۵/۶۲        | ۵/۳۳                                    | ۵/۴۱   | ۵/۱۸   | ۵/۵۰   | ۵/۶۱   | ۵/۳۹   |
| *۷۶         | ۵/۶۲        | ۵/۳۲                                    | ۵/۶۱   | ۵/۲۳   | ۵/۳۶   | ۵/۶۱   | ۵/۳۴   |
| ۷۷          | ۵           | ۵/۶۴                                    | ۵/۲۲   | ۵/۵۰   | ۵/۶۶   | ۵/۱۱   | ۵/۵۵   |
| ۷۸          | ۵/۳۶        | ۵/۳۱                                    | ۵/۳۷   | ۵/۱۹   | ۵/۴۵   | ۵/۳۷   | ۵/۳۷   |
| ۷۹          | ۶/۱۱        | ۵/۹۴                                    | ۶/۱۰   | ۵/۸۶   | ۵/۵۱   | ۶/۱۰   | ۵/۴۷   |
| *۸۰         | ۶/۳۱        | ۶/۲۰                                    | ۶/۳۰   | ۶/۲۰   | ۶/۱۵   | ۶/۳۲   | ۶/۱۳   |
| ۸۱          | ۶/۰۸        | ۵/۹۸                                    | ۶/۰۷   | ۵/۸۶   | ۵/۹۳   | ۶/۰۷   | ۵/۸۳   |
| ۸۲          | ۶/۶۸        | ۶/۵۴                                    | ۶/۶۷   | ۶/۴۵   | ۶/۶۲   | ۶/۶۷   | ۶/۶۸   |
| ۸۳          | ۶/۱۴        | ۶/۰۲                                    | ۶/۱۳   | ۵/۹۳   | ۶/۰۳   | ۶/۱۳   | ۵/۹۲   |
| *۸۴         | ۶/۱۹        | ۶/۶۹                                    | ۶/۲۰   | ۶/۶۵   | ۶/۴۷   | ۶/۲۰   | ۵/۹    |
| ۸۵          | ۶/۵۱        | ۶/۸۲                                    | ۶/۵۰   | ۶/۷۹   | ۶/۲۵   | ۶/۵۰   | ۶/۱۸   |
| *۸۶         | ۷/۰۶        | ۷/۱۷                                    | ۷/۰۷   | ۷/۲۲   | ۶/۶۳   | ۷/۰۵   | ۶/۶۷   |
| *۸۷         | ۷/۰۹        | ۷/۲۳                                    | ۷/۰۸   | ۷/۳۱   | ۷/۲۰   | ۷/۰۸   | ۷/۱۳   |
| ۸۸          | ۷/۰۹        | ۷/۴۷                                    | ۷/۰۸   | ۷/۰۳   | ۷/۰۳   | ۷/۰۵   | ۷/۶۷   |

ادامه جدول(پ-۱)

| شماره ترکیب | مقدار تجربی | مقادیر پیش بینی شده (pIC <sub>50</sub> ) |        |        |        |        |        |
|-------------|-------------|--|--------|--------|--------|--------|--------|
|             |             | SR-MLR                                   | SR-SVM | SR-ANN | GA-MLR | GA-SVM | GA-ANN |
| ۹۰          | ۷/۷         | ۷/۲۵                                     | ۷/۶۹   | ۷/۲۷   | ۷/۵۱   | ۷/۶۹   | ۷/۶۳   |
| ۹۲          | ۷/۷۷        | ۷/۵۴                                     | ۷/۷۳   | ۷/۵۳   | ۷/۵۳   | ۷/۷۳   | ۷/۶۵   |
| *۹۴         | ۷/۳۸        | ۷/۳۹                                     | ۷/۳۹   | ۷/۳۷   | ۷/۴۴   | ۷/۳۹   | ۷/۴۸   |
| *۹۶         | ۸/۲۱        | ۸/۰۵                                     | ۸/۲۰   | ۷/۹۴   | ۸/۲۴   | ۸/۲۰   | ۸/۰۶   |
| ۹۷          | ۸/۲۸        | ۸/۲۴                                     | ۸/۲۷   | ۸/۱۲   | ۸/۴۳   | ۸/۲۷   | ۸/۱۹   |
| ۹۸          | ۷/۸۵        | ۷/۹۱                                     | ۷/۸۶   | ۷/۸۶   | ۸/۰۳   | ۷/۸۶   | ۷/۹۱   |
| ۱۰۰         | ۷/۴۱        | ۷/۵۷                                     | ۷/۴۲   | ۷/۶۰   | ۷/۴۰   | ۷/۴۰   | ۷/۴۰   |
| *۱۰۱        | ۸/۴۹        | ۷/۹۱                                     | ۸/۴۰   | ۷/۸۹   | ۸/۲۲   | ۸/۴۸   | ۷/۸۶   |
| ۱۰۲         | ۷/۰۲        | ۷/۴۳                                     | ۷/۰۵   | ۷/۵۵   | ۷/۶۲   | ۷/۰۳   | ۷/۷۴   |
| ۱۰۳         | ۴/۵۹        | ۴/۷۸                                     | ۴/۶۰   | ۴/۹۳   | ۵/۱۳   | ۴/۶    | ۴/۴۶   |

\* Validation set

جدول (پ-۱)- مقادیر پیش بینی شده pIC<sub>50</sub> برای سری تست

| شماره ترکیب | مقدار تجربی | مقادیر پیش بینی شده (pIC <sub>50</sub> ) |        |        |        |        |        |
|-------------|-------------|--|--------|--------|--------|--------|--------|
|             |             | SR-MLR                                   | SR-SVM | SR-ANN | GA-MLR | GA-SVM | GA-ANN |
| ۴           | ۴/۳۷        | ۴/۶۴                                     | ۴/۸۰   | ۴/۶۵   | ۴/۶۴   | ۴/۷۲   | ۴/۶۳   |
| ۷           | ۴/۶۸        | ۵/۶۲                                     | ۵/۴۱   | ۵/۵۱   | ۵/۱۷   | ۵/۳۱   | ۵/۵۴   |
| ۱۴          | ۵/۳۸        | ۵/۵۷                                     | ۵/۸۱   | ۵/۴۸   | ۵/۸۴   | ۵/۹۸   | ۵/۶۷   |
| ۱۶          | ۵/۱         | ۵/۳۵                                     | ۵/۲۴   | ۵/۲۷   | ۵/۴۲   | ۵/۳۴   | ۵/۵۳   |
| ۱۸          | ۴/۸         | ۵/۳۷                                     | ۵/۳۴   | ۵/۳۱   | ۵/۷۴   | ۵/۸۰   | ۵/۶۵   |
| ۲۵          | ۵/۱۹        | ۴/۰۵                                     | ۴/۶۵   | ۴/۰۸   | ۴/۲۳   | ۴/۵۸   | ۴/۴۸   |
| ۲۹          | ۴/۴۸        | ۴/۴۵                                     | ۴/۶۹   | ۴/۱۳   | ۴/۳۴   | ۴/۸۴   | ۴/۷۶   |
| ۳۳          | ۴/۹۶        | ۵/۱۱                                     | ۵/۱۵   | ۵/۱۴   | ۴/۸۲   | ۴/۵۸   | ۴/۷۸   |
| ۴۷          | ۶/۱۵        | ۶/۰۷                                     | ۵/۹۷   | ۶/۵۱   | ۵/۹۱   | ۶/۱۴   | ۶/۱۵   |
| ۴۹          | ۴/۱۳        | ۴/۳۲                                     | ۴/۳۷   | ۴/۳۵   | ۴/۴۱   | ۴/۶۳   | ۴/۴۳   |
| ۶۲          | ۶/۷۸        | ۶/۵۶                                     | ۶/۶۱   | ۶/۶۱   | ۶/۷۶   | ۶/۸۰   | ۶/۳۲   |
| ۶۵          | ۶/۶۵        | ۶/۵۹                                     | ۶/۶۲   | ۶/۵۹   | ۶/۶۴   | ۶/۲۷   | ۶/۴۱   |
| ۶۷          | ۶/۲۱        | ۷/۰۷                                     | ۶/۸۱   | ۷/۱۸   | ۶/۴۷   | ۶/۷۹   | ۶/۴۳   |
| ۶۸          | ۶/۰۲        | ۶/۴۴                                     | ۶/۵۷   | ۶/۴۶   | ۶/۴۰   | ۶/۱۹   | ۶/۳۴   |
| ۶۹          | ۵/۸۱        | ۶/۹۷                                     | +۶/۹۵  | ۷/۰۲   | ۶/۷۶   | ۷/۰۵   | ۶/۵۹   |
| ۷۰          | ۵/۵۸        | ۶/۲۹                                     | ۶/۲۷   | ۶/۳۰   | ۶/۱۲   | ۶/۱۸   | ۶/۳۲   |
| ۸۹          | ۶/۹۴        | ۷/۵۸                                     | ۷/۶۳   | ۷/۶۴   | ۷/۲۸   | ۷/۵۲   | ۷/۲۱   |
| ۹۱          | ۷/۹۶        | ۷/۴۴                                     | ۷/۵۳   | ۷/۴۱   | ۷/۵۳   | ۷/۷۶   | ۷/۸۴   |
| ۹۳          | ۷/۷         | ۷/۵۳                                     | ۷/۶۲   | ۷/۵۱   | ۷/۴۸   | ۷/۷۱   | ۷/۷۹   |
| ۹۵          | ۸/۳۹        | ۷/۸۲                                     | ۷/۹۳   | ۷/۸۱   | ۸/۰۶   | ۸/۱۲   | ۷/۹۰   |
| ۹۹          | ۷/۲۸        | ۷/۸۵                                     | ۸/۰۰   | ۷/۸۵   | ۷/۸۴   | ۷/۷۵   | ۷/۸۵   |

ادامه جدول(پ-۱)

| شماره ترکیب | مقدار تجربی | مقادیر درصد خطأ |        |        |        |        |        |
|-------------|-------------|-----------------|--------|--------|--------|--------|--------|
|             |             | SR-MLR          | SR-SVM | SR-ANN | GA-MLR | GA-SVM | GA-ANN |
| ۱           | ۴/۹۶        | -۷/۶۳           | -۰/۲۰  | ۶/۸۵   | -۷/۱۱  | -۰/۲۰  | ۶/۸۵   |
| ۲           | ۴/۷۲        | ۱/۶۳            | ۰/۲۱   | -۱/۰۶  | ۳/۳۷   | ۰/۲۱   | ۳/۶۰   |
| ۳           | ۴/۸۹        | -۷/۸۷           | -۰/۲۰  | ۲/۸۶   | -۳/۴۴  | -۰/۲۰  | ۲/۸۶   |
| ۵           | ۵/۳۹        | -۴/۲۹           | -۰/۱۹  | ۵      | ۰/۷۳   | ۰/۱۹   | -۰/۷۴  |
| *۶          | ۴/۳۵        | ۵/۲۹            | ۰/۲۳   | -۰/۶۹  | ۱۲/۸۳  | ۰/۲۳   | ۷/۸۲   |
| ۸           | ۵/۸۲        | -۳/۲۹           | -۰/۱۷  | ۴/۴۷   | ۳/۷۸   | -۰/۱۷  | ۶/۷۰   |
| ۹           | ۵/۱۵        | ۸/۱۸            | ۰/۱۹   | -۷/۷۶  | ۱/۸۱   | -۰/۱۹  | ۲/۱۴   |
| ۱۰          | ۴/۴۷        | ۲۲/۷۲           | ۱۳/۷۶  | -۰/۲۲  | ۱۹/۰۷  | ۰/۲۲   | ۲/۶۸   |
| ۱۱          | ۴/۹۶        | ۱۳/۹۰           | ۰/۲۰   | -۱۳/۷۰ | ۹/۵۹   | ۰/۲۰   | -۷/۲۶  |
| ۱۲          | ۶/۱۵        | -۱۱/۱۵          | -۶/۰۸  | ۱۲/۱۹  | -۷/۷۴  | -۰/۱۶  | ۷/۹۶   |
| *۱۳         | ۵/۴         | -۱/۱۴           | -۰/۱۹  | -۱/۱۳  | ۱/۳۶   | ۰/۱۹   | -۰/۵۶  |
| ۱۵          | ۵/۳         | ۲/۹۶            | ۰/۱۹   | -۶/۵۰  | ۳/۱۷   | ۰/۱۹   | -۲/۸۳  |
| *۱۷         | ۴/۹۲        | ۷/۵۵            | ۲/۸۸   | ۲/۳۱   | ۶/۶۳   | ۰/۱۰   | ۲/۸۴   |
| ۱۹          | ۵/۶۲        | -۱/۵۵           | -۰/۱۸  | -۳/۳۶  | ۱/۴۲   | ۰/۱۸   | -۱/۶۰  |
| ۲۰          | ۵/۳۵        | ۴/۲۷            | ۰/۱۹   | ۶/۷۰   | -۲/۲۲  | -۰/۱۹  | ۰/۱۸   |
| ۲۱          | ۵/۸۲        | -۵/۶۵           | -۲/۸۶  | ۳/۰۹   | -۱۶/۶۷ | -۰/۱۷  | ۱/۰۳   |
| ۲۲          | ۵/۸۲        | -۲/۵۶           | -۲/۲۵  | -۱۱/۵۳ | -۳/۹۸  | -۰/۱۷  | ۵/۳۲   |
| *۲۳         | ۵/۰۳        | -۱۲/۰۷          | -۲/۲۱  | ۷/۳۹   | ۳/۰۲   | ۰/۲۰   | -۱۱/۷۲ |
| *۲۴         | ۵/۸۲        | -۶/۴۲           | -۰/۱۷  | ۸/۱۳   | -۲/۴۵  | -۰/۱۷  | ۲/۰۶   |
| ۲۶          | ۴/۰۵        | -۱۲/۲۳          | -۰/۲۲  | ۳/۷۰   | -۸/۲۵  | -۰/۲۲  | ۱/۷۶   |
| ۲۷          | ۵/۱۳        | -۳/۶۷           | -۰/۱۹  | ۵/۰۳   | -۳/۴۷  | ۰/۱۹   | -۲/۱۴  |
| *۲۸         | ۴/۰۲        | -۹/۴۳           | ۰/۲۲   | -۵/۶۹  | -۸/۶۸  | -۰/۲۲  | ۰      |
| ۳۰          | ۴/۳۹        | ۷/۱۰            | ۰/۲۳   | -۲/۳۰  | ۱۲/۲۲  | ۰/۲۳   | -۱۱/۱۶ |
| ۳۱          | ۴/۷۷        | ۸/۳۸            | ۰/۲۱   | ۴/۷۰   | ۴/۰۶   | ۰/۲۱   | -۲/۹۳  |
| ۳۲          | ۵/۱۱        | -۱/۲۷           | -۰/۲۰  | ۰/۶۴   | ۴/۱۴   | ۰/۲۰   | -۱/۹۶  |
| *۳۴         | ۴/۶۶        | ۴/۱۳            | -۰/۲۱  | -۸/۶۷  | -۰/۰۹  | -۰/۲۱  | -۹/۲۲  |
| ۳۵          | ۴/۳۸        | ۱۱/۲۰           | ۰/۲۳   | -۰/۱۲  | ۱۳/۱۸  | ۰/۲۳   | -۶/۶۲  |
| ۳۶          | ۵/۱۶        | ۲/۷۰            | ۰/۱۴   | ۰      | ۴/۱۴   | ۰/۰۰   | ۱/۳۶   |
| ۳۷          | ۶/۴۳        | -۸/۹۰           | -۰/۱۶  | -۹/۸   | -۷/۹۴  | -۰/۱۶  | -۹/۵   |
| *۳۸         | ۴/۷۲        | -۱۰/۹۶          | -۰/۲۱  | -۵/۹۳  | -۶/۳۴  | -۰/۲۱  | -۱۴/۸  |
| ۳۹          | ۴/۴         | -۵/۵۰           | -۰/۲۳  | -۵/۴۵  | -۰/۶۹  | ۰/۲۳   | ۱۱/۵۹  |
| ۴۰          | ۴/۱۸        | ۳/۰۵            | ۰/۲۴   | ۶/۶۹   | ۱/۲۲   | ۰/۲۴   | ۶/۲۲   |
| ۴۱          | ۴/۸۵        | -۲/۴۷           | -۰/۲۱  | ۰/۴۱   | -۱/۳۶  | ۰/۲۱   | -۴/۵۳  |
| ۴۲          | ۵/۶۴        | -۰/۲۰           | ۰/۱۸   | ۵/۶۷   | ۶/۷۷   | ۰/۱۸   | ۳      |
| *۴۳         | ۴/۳         | ۱۰/۰۱           | ۰/۲۳   | ۱۸/۸۳  | ۴/۰۳   | ۰/۲۳   | ۴/۱۸   |
| ۴۴          | ۴/۱۹        | ۱۳/۷۲           | ۰/۲۴   | ۱۸/۱۳  | ۳/۸۳   | ۰/۲۴   | ۵/۴۸   |

ادامه جدول(ب-۱)

| شماره ترکیب | مقدار تجربی | مقادیر درصد خطأ |        |        |        |        |        |
|-------------|-------------|-----------------|--------|--------|--------|--------|--------|
|             |             | SR-MLR          | SR-SVM | SR-ANN | GA-MLR | GA-SVM | GA-ANN |
| ۴۵          | ۴/۹۶        | -۲/۲۲           | -/۲۰   | ۲/۸۲   | -۴/۴۹  | -/۲۰   | -۴     |
| *۴۶         | ۵/۲۶        | ۱/۰۹            | +/۱۹   | ۱۱/۲۶  | ۳/۰۰   | +/۱۹   | -۱/۱۴  |
| ۴۸          | ۴/۰۶        | -۰/۷۷           | +/۲۵   | ۲/۹۵   | ۲/۹۸   | +/۲۵   | ۴/۴۳   |
| ۵۰          | ۴/۷۷        | ۲/۰۷            | +/۲۱   | ۴/۶۱   | -۱/۰۴  | -۰/۲۱  | -۲/۰۹  |
| ۵۱          | ۶/۱۸        | -۹/۳۹           | -۰/۱۶  | -۵     | -۵/۵۸  | -۰/۱۶  | ۱۱/۱۶  |
| ۵۲          | ۶/۱۳        | -۲/۴۹           | -۰/۱۶  | -۳/۵۸  | -۰/۷۸  | -۰/۱۶  | ۱/۳۰   |
| ۵۳          | ۶/۲         | +/۳۱            | +/۱۶   | +/۳۲   | +/۶۳   | +/۱۶   | -۰/۳۲  |
| ۵۴          | ۶/۰۲        | ۷/۳۸            | +/۱۷   | ۷/۳۱   | ۱۰/۹۰  | +/۱۷   | -۱۲/۲۹ |
| ۵۵          | ۵/۸۷        | ۱۰/۳۱           | +/۶۳   | ۱۰     | ۱۰/۴۷  | +/۱۷   | -۱۱/۵۸ |
| ۵۶          | ۵/۰۱        | ۱۴/۸۱           | ۳/۹۹   | ۱۴/۳۳  | ۱۸/۱۴  | +/۷۳   | -۱۹/۴۱ |
| ۵۷          | ۵/۰۵        | ۱۵/۴۸           | ۳/۱۷   | ۱۴/۹۰  | ۱۴/۴۴  | +/۱۸   | ۷/۷۱   |
| ۵۸          | ۶/۷۴        | -۹/۰۶           | -۵/۳۱  | -۹     | -۷/۵۸  | -۰/۷۴  | ۲/۳    |
| ۵۹          | ۶/۹۴        | -۳/۲۷           | -۰/۱۴  | -۲/۷۳  | -۳/۴۷  | -۰/۱۴  | ۲/۳    |
| ۶۰          | ۶/۹۴        | -۳/۶۷           | -۰/۱۴  | ۳/۴۵   | -۴/۴۴  | -۰/۱۴  | ۲/۵۹   |
| ۶۱          | ۷/۲۳        | -۳/۵۰           | -۰/۱۴  | ۳/۰۴   | -۲/۸۶  | -۰/۱۴  | ۱/۱۰   |
| ۶۳          | ۶/۹۲        | -۴/۷۳           | -۱/۴۰  | ۴/۸۲   | -۲/۹۴  | +/۱۴   | ۱/۰۱   |
| ۶۴          | ۶/۶۹        | -۰/۶۳           | -۰/۱۵  | ۱/۱۹   | -۲/۴۳  | -۰/۱۵  | ۱/۳۴   |
| *۶۶         | ۶/۵۲        | ۶/۷۷            | +/۱۵   | -۶/۷۴  | -۷/۲۲  | -۰/۱۵  | ۱/۰۷   |
| ۷۱          | ۷/۲۷        | -۷/۶۷           | -۱/۸۷  | ۶/۷۴   | -۴/۳۲  | -۰/۱۴  | ۲/۰۶   |
| ۷۲          | ۶/۵۲        | -۱/۶۴           | -۰/۱۵  | +      | -۱/۵۸  | -۰/۱۵  | +/۶۱   |
| *۷۳         | ۶/۸۲        | +/۲۱            | +/۱۵   | -۱/۶۱  | +/۶۵   | +/۱۵   | +/۵۸   |
| *۷۴         | ۶/۱۲        | -۳/۴۲           | -۰/۱۶  | ۹/۳۱   | -۶/۲۸  | -۰/۱۶  | +/۳۲   |
| ۷۵          | ۵/۶۲        | -۵/۲۴           | -۳/۸۲  | ۷/۸۲   | -۲/۱۴  | -۰/۱۸  | ۴/۰۹   |
| *۷۶         | ۵/۶۲        | -۵/۴۱           | -۰/۱۸  | ۶/۹۳   | -۴/۵۷  | -۰/۱۸  | ۴/۹۸   |
| ۷۷          | ۵           | ۱۲/۸۷           | ۴/۴۵   | -۱۰    | ۱۳/۱۱  | ۲/۲۰   | -۱۱    |
| ۷۸          | ۵/۳۶        | -۰/۹۱           | +/۱۹   | ۳/۱۷   | ۱/۸۹   | +/۱۹   | -۰/۱۸  |
| ۷۹          | ۶/۱۱        | -۲/۷۴           | -۰/۱۶  | ۴/۰۹   | -۹/۹۰  | -۰/۱۶  | ۱۰/۴۷  |
| *۸۰         | ۶/۳۱        | -۱/۷۰           | -۰/۱۶  | ۱/۷۴   | -۲/۵۴  | +/۱۶   | ۲/۸۵   |
| ۸۱          | ۶/۰۸        | -۱/۶۷           | +/۱۶   | ۳/۸۱   | -۲/۴۵  | -۰/۱۸  | ۴/۱۱   |
| ۸۲          | ۶/۶۸        | ۲/۱۰            | -۰/۱۵  | ۳/۴۲   | -۰/۱۸۸ | -۰/۱۵  | ۳/۵۸   |
| ۸۳          | ۶/۱۴        | -۱/۹۱           | -۰/۱۶  | -۷/۴۳  | -۱/۸۷  | -۰/۱۶  | ۴/۶۸   |
| *۸۴         | ۶/۱۹        | ۸/۰۷            | +/۱۶   | -۴/۳۰  | ۴/۴۵   | +/۱۶   | ۵/۰۶   |
| ۸۵          | ۶/۵۱        | ۴/۷۹            | -۰/۱۵  | -۲/۲۶  | -۴/۰۴  | -۰/۱۵  | ۵/۵۲   |
| *۸۶         | ۷/۰۶        | ۱/۵۱            | +/۱۴   | ۳/۶۸   | -۶/۱۲  | -۰/۱۴  | ۶/۰۶   |
| *۸۷         | ۷/۵۹        | -۴/۷۷           | -۰/۱۳  | +/۷۹   | -۵/۱۴  | -۰/۱۳  | -۱/۰۵  |
| ۸۸          | ۷/۵۹        | -۱/۶۳           | -۰/۱۳  | +/۷۹   | -۰/۷۷  | +/۱۳   | -۱/۰۵  |

ادامه جدول(پ-۱)

| شماره ترکیب | مقدار تجربی | مقادیر درصد خطأ |        |        |        |        |        |
|-------------|-------------|-----------------|--------|--------|--------|--------|--------|
|             |             | SR-MLR          | SR-SVM | SR-ANN | GA-MLR | GA-SVM | GA-ANN |
| ۹۰          | ۷/۷         | -۵/۷۹           | -۰/۱۳  | ۵/۸۹   | -۲/۴۱  | -۰/۱۳  | +۰/۹   |
| ۹۲          | ۷/۷۲        | -۲/۳۹           | +۰/۱۳  | ۲/۴۶   | -۲/۴۹  | +۰/۱۳  | +۰/۹   |
| *۹۴         | ۷/۳۸        | +۰/۰۸           | +۰/۱۴  | -۰/۱۳۵ | +۰/۷۷  | +۰/۱۴  | -۱/۳۵  |
| *۹۶         | ۸/۲۱        | -۱/۹۲           | -۰/۱۲  | ۳/۲۸   | +۰/۴۲  | -۰/۱۲  | ۱/۱۸۲  |
| ۹۷          | ۸/۲۸        | -۰/۴۹           | -۰/۱۲  | ۱/۹۳   | ۱/۷۷   | -۰/۱۲  | ۱/۱۰۸  |
| ۹۸          | ۷/۸۵        | +۰/۷۹           | +۰/۱۳  | -۰/۱۲۷ | ۲/۲۳   | +۰/۱۳  | -۰/۷۶۴ |
| ۱۰۰         | ۷/۴۱        | ۲/۱۷            | +۰/۱۳  | -۲/۵۶  | -۰/۲۰  | -۰/۱۳  | +۰/۱۳۵ |
| *۱۰۱        | ۸/۴۹        | -۶/۸۰           | -۱/۱۰  | ۷/۰۶   | -۳/۲۱  | -۰/۱۲  | ۷/۴۲   |
| ۱۰۲         | ۷/۰۲        | ۵/۸۷            | +۰/۴۱  | -۷/۵۴  | ۸/۴۹   | +۰/۱۴  | -۱۰/۲۵ |
| ۱۰۳         | ۴/۵۹        | ۴/۱۶            | +۰/۲۲  | -۷/۴۰  | ۱۱/۶۶  | +۰/۲۲  | ۲/۱۸۳  |

ادامه جدول(پ-۱)

| شماره ترکیب | مقدار تجربی | مقادیر درصد خطأ |        |        |        |        |        |
|-------------|-------------|-----------------|--------|--------|--------|--------|--------|
|             |             | SR-MLR          | SR-SVM | SR-ANN | GA-MLR | GA-SVM | GA-ANN |
| ۴           | ۴/۳۷        | ۶/۱۶            | ۹/۹۴   | ۶/۴۵   | ۶/۱۳   | ۷/۹۸   | ۶/۰۰   |
| ۷           | ۴/۶۸        | ۲۰/۰۵           | ۱۵/۰۷  | ۱۷/۶۶  | ۱۰/۰۴  | ۱۳/۰۷  | ۱۸/۴۴  |
| ۱۴          | ۵/۳۸        | ۳/۴۶            | ۸/۰۰   | ۱/۸۴   | ۸/۴۹   | ۱۱/۱۴  | ۵/۲۲   |
| ۱۶          | ۵/۱         | ۴/۸۳            | ۲/۷۶   | ۳/۴۱   | ۶/۳۲   | ۴/۶۸   | ۸/۰۲   |
| ۱۸          | ۴/۸         | ۱۱/۸۰           | ۱۱/۲۱  | ۱۰/۶۴  | ۱۹/۶۲  | ۲۰/۸۵  | ۱۷/۶۸  |
| ۲۵          | ۵/۱۹        | -۲۱/۹۷          | -۱۰/۰۵ | -۲۱/۳۲ | -۱۸/۰۵ | -۱۱/۷۵ | -۱۳/۷۱ |
| ۲۹          | ۴/۴۸        | -۰/۶۳           | ۴/۷۶   | -۷/۷۶  | -۳/۲۰  | ۸/۱۲   | ۶/۱۷   |
| ۳۳          | ۴/۹۶        | ۳/۰۳            | ۳/۷۷   | ۳/۵۹   | -۲/۸۰  | -۷/۷۰  | -۳/۶۷  |
| ۴۷          | ۶/۱۵        | -۱/۲۴           | -۲/۹۳  | ۴/۹۱   | -۳/۹۸  | -۰/۱۷  | +۰/۰۸  |
| ۴۹          | ۴/۱۳        | ۴/۰۰            | ۵/۸۵   | ۵/۳۲   | ۶/۶۸   | ۱۲/۰۹  | ۷/۱۹   |
| ۶۲          | ۶/۷۸        | -۳/۲۶           | -۲/۰۵  | -۲/۰۲  | -۰/۲۸  | +۰/۲۷  | -۶/۸۲  |
| ۶۵          | ۶/۶۵        | -۰/۹۳           | -۰/۴۰  | -۰/۹۷  | -۰/۱۳  | -۵/۷۱  | -۳/۰۵  |
| ۶۷          | ۶/۲۱        | ۱۳/۸۷           | ۹/۶۷   | ۱۵/۶۷  | ۴/۱۳   | ۹/۴۱   | ۳/۰۰   |
| ۶۸          | ۶/۰۲        | ۶/۹۱            | ۹/۲۰   | ۷/۲۳   | ۶/۳۶   | ۲/۸۴   | ۵/۲۶   |
| ۶۹          | ۵/۸۱        | ۱۹/۹۱           | ۱۹/۵۴  | ۲۰/۸۱  | ۱۶/۳۶  | ۲۱/۴۲  | ۱۳/۳۸  |
| ۷۰          | ۵/۵۸        | ۱۲/۳۵           | ۱۲/۲۹  | ۱۲/۸۶  | ۹/۶۵   | ۱۰/۸۳  | ۱۳/۱۹  |
| ۸۹          | ۶/۹۴        | ۹/۲۶            | ۹/۹۳   | ۱۰/۰۷  | ۴/۸۸   | ۸/۳۹   | ۳/۱۳   |
| ۹۱          | ۷/۹۶        | -۶/۰۷           | -۵/۴۱  | -۶/۸۵  | -۵/۴۴  | -۲/۰۳  | -۱/۰۷  |
| ۹۳          | ۷/۷         | -۲/۲۵           | -۱/۰۰  | -۲/۴۳  | -۲/۸۰  | +۰/۰۷  | ۱/۲۱   |
| ۹۵          | ۸/۳۹        | -۶/۷۹           | -۵/۰۴  | -۶/۹۴  | -۳/۹۶  | -۳/۲۲  | -۵/۸۲  |
| ۹۹          | ۷/۲۸        | ۷/۷۸            | ۹/۸۳   | ۷/۸۵   | ۷/۶۴   | ۶/۴۵   | ۷/۸۱   |

جدول (پ-۲)- مقادیر پیش بینی شده  $pIC_{50}$  برای سری آموزش و ارزیابی\*

| شماره ترکیب | مقدار تجربی | مقادیر پیش بینی شده ( $pIC_{50}$ ) |        |        | مقادیر درصد خطأ |        |        |
|-------------|-------------|------------------------------------|--------|--------|-----------------|--------|--------|
|             |             | GA-MLR                             | GA-SVM | GA-ANN | GA-MLR          | GA-SVM | GA-ANN |
| ۱           | ۷/۸         | ۷/۷۶                               | ۷/۷۹   | ۷/۸۳   | ۵/۱۳            | ۰/۱۳   | -۰/۳۸  |
| *۳          | ۶/۵۸        | ۶/۶۵                               | ۶/۵۹   | ۷/۱۳   | -۱/۰۶           | -۰/۱۵  | -۸/۳۵  |
| *۶          | ۷/۷         | ۷/۵۸                               | ۷/۶۹   | ۷/۶۷   | ۱/۵۶            | ۰/۱۳   | ۰/۳۹   |
| ۷           | ۷/۷۴        | ۷/۶۵                               | ۷/۷۳   | ۷/۳۶   | ۱/۱۶            | ۰/۱۳   | ۴/۹۱   |
| ۸           | ۷/۸         | ۷/۵۲                               | ۷/۷۹   | ۷/۸۴   | ۳/۵۹            | ۰/۱۳   | -۰/۵۱  |
| ۹           | ۷/۸۲        | ۷/۶۳                               | ۷/۸۱   | ۷/۸۴   | ۲/۴۳            | ۰/۱۳   | -۰/۲۶  |
| *۱۱         | ۷/۳۴        | ۷/۶۴                               | ۷/۳۵   | ۷/۳۶   | -۴/۰۹           | -۰/۱۴  | -۰/۲۷  |
| ۱۲          | ۷/۸۵        | ۷/۷۸                               | ۷/۸۴   | ۷/۸۰   | ۰/۸۹            | ۰/۱۳   | ۰/۶۴   |
| ۱۳          | ۷/۸۵        | ۷/۹۱                               | ۷/۸۴   | ۷/۸۷   | -۰/۷۸           | ۰/۱۳   | -۰/۲۵  |
| ۱۵          | ۷/۴۳        | ۷/۲۷                               | ۷/۴۴   | ۷/۴۴   | ۲/۱۵            | -۰/۱۳  | -۰/۱۳  |
| ۱۶          | ۷/۳         | ۷/۱۶                               | ۷/۳۰   | ۷/۲۹   | ۱/۹۲            | *      | ۰/۱۴   |
| ۱۷          | ۷/۱۳        | ۷/۵۳                               | ۷/۱۴   | ۷/۱۳   | -۵/۶۱           | -۰/۱۴  | *      |
| *۱۸         | ۷/۸۹        | ۷/۵۵                               | ۷/۸۸   | ۷/۸۱   | ۴/۳۱            | ۰/۱۴   | ۱/۰۱   |
| ۱۹          | ۷/۸۹        | ۷/۷۴                               | ۷/۸۸   | ۷/۸۴   | ۱/۹۰            | ۰/۱۴   | ۰/۶۳   |
| ۲۰          | ۷/۲۶        | ۷/۷۸                               | ۷/۲۷   | ۷/۲۵   | -۷/۱۶           | -۰/۱۴  | ۰/۱۴   |
| *۲۲         | ۸/۱۵        | ۸/۰۱                               | ۸/۱۴   | ۷/۸۷   | ۱/۷۲            | ۰/۱۴   | ۳/۳۴   |
| ۲۴          | ۶/۸۲        | ۶/۸۸                               | ۶/۸۳   | ۶/۸۱   | -۰/۸۸           | -۰/۱۴  | ۰/۱۴   |
| ۲۶          | ۶/۵۴        | ۶/۵۸                               | ۶/۵۵   | ۶/۵۴   | -۰/۶۱           | -۰/۱۴  | *      |
| *۲۷         | ۶/۲         | ۶/۲۲                               | ۶/۲۱   | ۶/۳۷   | -۰/۴۸           | -۰/۱۶  | -۲/۷۴  |
| ۲۸          | ۷/۸۲        | ۷/۸۲                               | ۷/۸۳   | ۷/۸۱   | *               | -۰/۱۳  | ۰/۱۳   |
| ۲۹          | ۷/۴۹        | ۷/۱۵                               | ۷/۴۸   | ۷/۴۷   | ۴/۵۴            | ۰/۱۳   | ۰/۲۶   |
| *۳۰         | ۷/۰۲        | ۷/۴۱                               | ۷/۰۳   | ۷/۰۴   | ۵/۵۶            | -۰/۱۳  | -۰/۲۶  |
| ۳۱          | ۶/۹۷        | ۶/۸۰                               | ۳/۹۶   | ۶/۹۷   | ۲/۴۴            | ۰/۱۴   | *      |
| ۳۲          | ۷/۴۳        | ۷/۴۹                               | ۷/۴۴   | ۷/۴۵   | -۰/۸۱           | -۰/۱۴  | -۰/۲۷  |
| *۳۳         | ۸           | ۷/۷۵                               | ۷/۹۹   | ۷/۵۱   | ۳/۱۳            | ۰/۱۳   | ۶/۱۳   |
| ۳۴          | ۷/۰۶        | ۷/۴۳                               | ۷/۰۷   | ۷/۰۵   | -۵/۲۴           | -۰/۱۴  | ۰/۱۴   |
| ۳۵          | ۶/۴۱        | ۶/۶۳                               | ۶/۴۲   | ۶/۴۰   | -۳/۴۲           | -۰/۱۴  | ۰/۱۴   |
| ۳۶          | ۷/۳۸        | ۷/۵۳                               | ۷/۳۷   | ۷/۳۷   | -۲/۰۳           | ۰/۱۴   | ۰/۱۴   |
| ۳۸          | ۸/۰۲        | ۸/۶۴                               | ۸/۰۱   | ۸/۰۱   | -۱/۴۱           | ۰/۱۴   | ۰/۱۴   |
| ۴۰          | ۷/۷۷        | ۷/۶۲                               | ۷/۷۶   | ۷/۷۸   | ۱/۶۷            | ۰/۱۴   | -۰/۱۴  |
| ۴۱          | ۷/۲۴        | ۷/۱۲                               | ۷/۲۳   | ۷/۲۴   | ۱/۶۶            | ۰/۱۴   | *      |
| ۴۲          | ۷/۲۱        | ۷/۱۲                               | ۷/۲    | ۷/۲۰   | ۱/۲۵            | ۰/۱۴   | ۰/۱۴   |
| ۴۳          | ۷/۹۶        | ۷/۷۲                               | ۷/۹۵   | ۷/۸۶   | ۳/۰۲            | ۰/۱۴   | ۱/۲۶   |
| ۴۵          | ۷/۵۴        | ۷/۶۴                               | ۷/۵۳   | ۷/۵۳   | -۱/۳۳           | ۰/۱۴   | ۰/۱۴   |

\* validation set

جدول (پ-۲)- مقادیر پیش بینی شده  $pIC_{50}$  برای سری تست

| شماره<br>ترکیب | مقدار تجربی | مقادیر پیش بینی شده ( $pIC_{50}$ ) |        |        | مقادیر درصد خطأ |        |        |
|----------------|-------------|------------------------------------|--------|--------|-----------------|--------|--------|
|                |             | GA-MLR                             | GA-SVM | GA-ANN | GA-MLR          | GA-SVM | GA-ANN |
| ۲              | ۷/۳۵        | ۷/۴۳                               | ۷/۲۳   | ۷/۳۵   | -۱/۰۹           | ۱/۶۳   | ۰      |
| ۵              | ۶/۲۶        | ۶/۳۰                               | ۶/۳۸   | ۶/۰۰   | -۰/۶۴           | -۱/۹۲  | ۴/۱۵   |
| ۱۰             | ۸/۴         | ۸/۰۷                               | ۷/۹۸   | ۸/۰۳   | ۳/۹۳            | ۰/۲۴   | ۴/۴    |
| ۱۴             | ۷/۷۲        | ۷/۶۷                               | ۷/۶۶   | ۷/۷۹   | ۰/۶۵            | ۰/۷۸   | -۰/۹۱  |
| ۲۱             | ۷/۱۹        | ۷/۶۷                               | ۷/۶۰   | ۷/۵۶   | ۶/۶۸            | -۵/۷۰  | -۵/۱۵  |
| ۲۵             | ۶/۹۶        | ۶/۶۹                               | ۶/۶۲   | ۶/۱۲   | ۳/۸۸            | ۴/۸۸   | ۰/۱۲   |
| ۳۷             | ۶/۶۳        | ۷/۱۴                               | ۷/۲۰   | ۶/۸۶   | -۷/۶۹           | -۸/۶   | -۳/۴۷  |
| ۳۹             | ۸/۰۵        | ۷/۶۹                               | ۷/۸۴   | ۷/۸۶   | ۴/۴۷            | ۲/۶۱   | ۲/۳۶   |

## منابع

- [1] G. Melagraki, A. Afantitis, K. Makridima, H. Sarimveis and O. Igglessi-Markopoulou. (2006) "Prediction of toxicity using a novel RBF neural network training methodology" **Journal of molecular modeling**, 12, 3, pp 297-305.
- [2] B. Hemmateenejad, M.A. Safarpour, R. Miri and F. Taghavi. (2004) "Application of ab initio theory to QSAR study of 1, 4-dihydropyridine-based calcium channel blockers using GA-MLR and PC-GA-ANN procedures" **Journal of computational chemistry**, 25, 12, pp 1495-1503.
- [3] O. Deeb and B. Hemmateenejad. (2007) "ANN-QSAR Model of Drug-binding to Human Serum Albumin" **Chemical biology & drug design**, 70, 1, pp 19-29.
- [4] M. Imai, T. Shiota, K.-i. Kataoka, C.M. Tarby, W.J. Moree, T. Tsutsumi, M. Sudo, M.M. Ramirez-Weinhause, D. Comer and C.-M. Sun. (2004) "Small molecule inhibitors of the CCR2b receptor. Part 1: Discovery and optimization of homopiperazine derivatives" **Bioorganic & medicinal chemistry letters**, 14, 21, pp 5407-5411.
- [5] W.J. Moree, K.-i. Kataoka, M.M. Ramirez-Weinhause, T. Shiota, M. Imai, M. Sudo, T. Tsutsumi, N. Endo, Y. Muroga and T. Hada. (2004) "Small molecule antagonists of the CCR2b receptor. Part 2: discovery process and initial structure-activity relationships of diamine derivatives" **Bioorganic & medicinal chemistry letters**, 14, 21, pp 5413-5416.
- [6] W.J. Moree, K.-i. Kataoka, M.M. Ramirez-Weinhause, T. Shiota, M. Imai, T. Tsutsumi, M. Sudo, N. Endo, Y. Muroga and T. Hada. (2008) "Potent antagonists of the CCR2b receptor. Part 3: SAR of the (R)-3-aminopyrrolidine series" **Bioorganic & medicinal chemistry letters**, 18, 6, pp 1869-1873.
- [7] L. Saghaie, M. Shahlaei, A. Fassihi, A. Madadkar-Sobhani, M.B. Gholivand and A. Pourhossein. (2011) "QSAR Analysis for Some Diaryl-substituted Pyrazoles as CCR2 Inhibitors by GA-Stepwise MLR" **Chemical biology & drug design**, 77, 1, pp 75-85.
- [8] اشرفی م، (۱۳۸۹)، پایان نامه کارشناسی ارشد: "مطالعه‌ی کمی ساختار-فعالیت برخی از ترکیبات تیوکربامات‌ها به عنوان گروهی جدید از بازدارنده‌های غیر نوکلئوزیدی HIV" ، دانشکده شیمی، دانشگاه شاهرود.

[۹] بهرام م، خیامیان ت، عبدالهی ح، فاطمی م، قاسمی ج، کمپانی زارع م، ناصری ع، همتی نژاد ب، (۱۳۹۴) "مقدمهای بر کمومتریکس" چاپ اول، انتشارات پژوهشی نوآوران شریف، تهران، ص ۱۷۲

[۱۰] A. Afantitis, G. Melagraki, H. Sarimveis, O. Igglessi-Markopoulou and G. Kollias. (2009) "A novel QSAR model for predicting the inhibition of CXCR3 receptor by 4-N-aryl-[1, 4] diazepaneureas" **European journal of medicinal chemistry**, 44, 2, pp 877-884.

[۱۱] M. Shahlaei, A. Fassihi, L. Saghaie, E. Arkan and A. Pourhossein. (2011) "A QSAR study of some cyclobutenediones as CCR1 antagonists by artificial neural networks based on principal component analysis" **Daru: journal of Faculty of Pharmacy, Tehran University of Medical Sciences**, 19, 5, pp 376.

[۱۲] T. Asadollahi, S. Dadfarnia, A.M.H. Shabani, J.B. Ghasemi and M. Sarkhosh. (2011) "QSAR models for CXCR2 receptor antagonists based on the genetic algorithm for data preprocessing prior to application of the PLS linear regression method and design of the new compounds using in silico virtual screening" **Molecules**, 16, 3, pp 1928-1955.

[۱۳] محمدرضائی م، (۱۳۸۹)، پایان نامه کارشناسی ارشد: "مطالعه‌ی کمی ساختار-فعالیت برخی از ترکیبات سولفونانیلید به عنوان گروهی جدید از داروهای ضد سرطان و ضد HIV برخی از ترکیبات"، دانشکده شیمی، دانشگاه شاهروд.

[۱۴] W. AcreeJr and R. Meyer, Absorption and Luminescence Probes. In Encyclopedia of Analytical Chemistry: Theory and Instrumentation, in, John Wiley & Sons, Ltd. Chichester, UK, 2000

[۱۵] S. Wold. (1995) "Chemometrics; what do we mean with it, and what do we want from it?" **Chemometrics and Intelligent Laboratory Systems**, 30, 1, pp 109-115.

[۱۶] J.R. McGill and B.R. Kowalski.(1978) "Classification of mass spectra via pattern recognition" **Journal of Chemical Information and Computer Sciences**, 18, 1, pp 52-55.

- [۱۷] D.L. Massart, B. Vandeginste, S. Deming, Y. Michotte and L. Kaufman. (1988) "Chemometrics: a textbook".
- [۱۸] P.C. Jurs. (1996) "**Computer software applications in chemistry**" John Wiley & Sons.
- [۱۹] D.L. Massart, B. Vandeginste, S. Deming, Y. Michotte and L. Kaufman. (1988) "Chemometrics: a textbook".
- [۲۰] J.C. Miller and J.N. Miller. (1988) "Statistics for analytical chemistry".
- [۲۱] B. Hemmateenejad, M.A. Safarpour, R. Miri and F. Taghavi. (2004) "Application of ab initio theory to QSAR study of 1, 4-dihydropyridine-based calcium channel blockers using GA-MLR and PC-GA-ANN procedures" **Journal of computational chemistry**, 25, 12, pp 1495-1503.
- [۲۲] O. Deeb and B. Hemmateenejad. (2007) "ANN-QSAR Model of Drug-binding to Human Serum Albumin" **Chemical biology & drug design**, 70, 1, pp 19-29.
- [۲۳] H. González-Díaz, I. Bonet, C. Terán, E. De Clercq, R. Bello, M.M. García, L. Santana and E. Uriarte. (2007) "ANN-QSAR model for selection of anticancer leads from structurally heterogeneous series of compounds" **European journal of medicinal chemistry**, 42, 5, pp 580-585.
- [۲۴] M. Shahlaei, A. Fassihi and L. Saghaie. (2010) "Application of PC-ANN and PC-LS-SVM in QSAR of CCR1 antagonist compounds: a comparative study" **European journal of medicinal chemistry**, 45, 4, pp 1572-1582.
- [۲۵] M. Goodarzi, M.P. Freitas and R. Jensen. (2009) "Ant colony optimization as a feature selection method in the QSAR modeling of anti-HIV-1 activities of 3-(3, 5-dimethylbenzyl) uracil derivatives using MLR, PLS and SVM regressions" **Chemometrics and intelligent laboratory systems**, 98, 2, pp 123-129.
- [۲۶] S. Riahi, E. Pourbasheer, R. Dinarvand, M.R. Ganjali and P. Norouzi. (2008) "Exploring QSARs for Antiviral Activity of 4-Alkylamino-6-(2-hydroxyethyl)-2-methylthiopyrimidines by Support Vector Machine" **Chemical biology & drug design**, 72, 3, pp 205-216.

- [۲۷] E. Pourbasheer, S. Riahi, M.R. Ganjali and P. Norouzi. (2011) "QSAR study of C allosteric binding site of HCV NS5B polymerase inhibitors by support vector machine" **Molecular diversity**, 15, 3, pp 645-653.
- [۲۸] M.H. Fatemi and S. Gharaghani. (2007) "A novel QSAR model for prediction of apoptosis-inducing activity of 4-aryl-4-H-chromenes based on support vector machine" **Bioorganic & medicinal chemistry**, 15, 24, pp 7746-7754.
- [۲۹] M. Fernandez, J. Caballero, L. Fernandez and A. Sarai. (2011) "Genetic algorithm optimization in drug design QSAR: Bayesian-regularized genetic neural networks (BRGNN) and genetic algorithm-optimized support vectors machines (GA-SVM)" **Molecular diversity**, 15, 1, pp 269-289.
- [۳۰] Z. Cheng, Y. Zhang and W. Fu. (2010) "QSAR study of carboxylic acid derivatives as HIV-1 Integrase inhibitors" **European journal of medicinal chemistry**, 45, 9, pp 3970-3980.
- [۳۱] قرقانی، س، (۱۳۸۷)، پایان نامه کارشناسی ارشد: "مدلسازی و پیش بینی فعالیت ضد سرطانی ۴-آریل-۴-H-کرومین ها با استفاده از اصول QSAR و مدلسازی و پیش بینی ضریب برگزیدگی الکترود انتخابگر آنیون"، دانشگاه مازندران.
- [۳۲] لواین ای. ان ، اسلامپور غ، پارسافر غ، مقاری ع، نجفی ب، (۱۳۸۷) "شیمی کوانتمومی" جلد سوم، چاپ اول، انتشارات فاطمی.
- [۳۳] طاهرزاده م، (۱۳۹۳)، پایان نامه کارشناسی ارشد: "مطالعه کمی ساختار-خاصیت ضریب فعالیت در رقت بی نهایت ترکیبات آلی و آب در محیط مایع یونی ۱-بوتیل ۱-متیل پیرولیدینیوم تریسیانومتانید"، دانشکده شیمی، دانشگاه شاهروود.
- [۳۴] D.E. Goldberg. (1989) "Genetic algorithms in search, optimization, and machine learning" AddisonWesley, 1989.
- [۳۵] I. Aleksander and H. Morton. (1990) "An introduction to neural computing" 3, Chapman & Hall London.
- [۳۶] L.C. Jain and V.R. Vemuri. (1998) "Industrial applications of neural networks" 3, CRC press.

- [37] J.H. Holland. (1975) "Adaptation in natural and artificial system: an introduction with application to biology, control and artificial intelligence" **Ann Arbor, University of Michigan Press.**
- [38] C. Cortes and V. Vapnik.(1995) "Support-vector networks" **Machine learning**, 20, 3, pp 273-297.
- [39] L. Pettus and R. Wurz. (2008) "For recent reviews on the design of small molecule inhibitors for p38 MAP kinase, see" **Curr. Top. Med. Chem.**, 8, pp 1452.
- [40] L. Wang. (2005) "**Support Vector Machines: theory and applications**" 177, Springer Science & Business Media.
- [41] M. Martínez-Ramón and C. Christodoulou. (2005) "Support vector machines for antenna array processing and electromagnetics" **Synthesis Lectures on Computational Electromagnetics**, 1, 1, pp 1-120.
- [42] R. HyperChem. (2002) "7.0 for windows, Hypercube" **Inc.: Gainesvill**
- [43] <http://www.disat.unimib.it%252Fchm%252F>
- [44] SPSS for windows, The statistical package for IBMPC, SPSS Inc.,<http://www.spss.com>
- [45] M.J. Norušis. (1992) "**SPSS/PC+ professional statistics version 5.0**" SPSS, Inc.
- [46] <http://www.condor-bcm.tmc.edu./Statistics/Spss.htm>
- [47] MATLAB 7.8, the Math Work, Inc., Natick, MA, USA.
- [48] D. Sun, Z. Wang, Y. Di, J.C. Jaen, M. Labelle, J. Ma, S. Miao, A. Sudom, L. Tang and C.S. Tomooka. (2008) "Discovery and initial SAR of arylsulfonylpiperazine inhibitors of 11 $\beta$ -hydroxysteroid dehydrogenase type 1 (11 $\beta$ -HSD1)" **Bioorganic & medicinal chemistry letters**, 18, 12, pp 3513-3516.
- [49] T. Barf and M. Williams. (2002) "Recent progress in 11-beta-hydroxysteroid dehydrogenase type 1 (11-beta-HSD1) inhibitor development" **Drugs Future**, 3

## **Abstract**

In the first section, quantitative structure-activity relationship (QSAR) study was conducted on the inhibition effect ( $pIC_{50}$ ) of 103 drug compounds of homopiperazine, diamine, 3-aminopyrrolidine derivatives. Two variable selection methods of stepwise regression (SR) and genetic algorithm (GA) were applied to select the important descriptors. The three methods of multiple linear regression (MLR), artificial neural network (ANN) and support vector machines (SVM) were used for construction of methods with selected descriptors for prediction of  $pIC_{50}$  of these compounds. The performance of each model was investigated by the test set. The mean square error (MSE) and standard error of prediction (SEP) for the test sets of SR-MLR, SR-ANN, SR-SVM, GA-MLR, GA-ANN and GA-SVM were 0.328, 0.573 and 0.346, 0.588 and 0.276, 0.513 and 0.228, 0.477 and 0.225, 0.475 and 0.257, 0.532 respectively.

In the second section, quantitative structure-activity relationship (QSAR) study was conducted on the inhibition effect ( $pIC_{50}$ ) of 42 drug compounds of Arylsulfonylpiperazine derivatives. The best calculated descriptors were selected by genetic algorithm. The multiple linear regression (MLR), artificial neural network (ANN) and support vector machines (SVM) were applied construction of models to predict of the inhibition effect ( $pIC_{50}$ ) of these compounds. The performance of each model was investigated by test set. The mean squared error (MSE) and standard error of prediction (SEP) and the coefficient of determination ( $R^2$ ) very close to each other, and this reflects to this fact, that all three models have good ability to predict the  $pIC_{50}$  of the studied compounds.

**Keywords:** Inhibition effect, Stepwise Regression (SR), Genetic Algorithm (GA), Multiple Linear Regression (MLR), Artificial Neural Network (ANN), Support Vector Machines (SVM)



Shahrood University of Technology

**Faculty of Chemistry**

# **Application of different chemometrics methods to predict the activity of some drug compounds**

**SaeedNekoei**

Supervisor:

**Dr. N. Goudarzi**

Advisor:

**Dr. M. Nekoei**

September2015